

АЗӘРБАЙЧАН ССР ЕЛМЛӘР АКАДЕМИЈАСЫ
АКАДЕМИЯ НАУК АЗЕРБАЙДЖАНСКОЙ ССР

МӘРҮЗӘЛӘР ДОКЛАДЫ

ТОМ XXVII ЧИЛД

5

«ЕЛМ» НӘШРИЈАТЫ
ИЗДАТЕЛЬСТВО «ЭЛМ»
БАКЫ—1971—БАКУ

АЗӘРБАЙЧАН ССР ЕЛМЛӘР АКАДЕМИЈАСЫ
АКАДЕМИЯ НАУК АЗЕРБАЙДЖАНСКОЙ ССР

МӨ'РҮЗӘЛӘР ДОКЛАДЫ

ТОМ XXVII ЧИЛД

№ 5

„ЕЛМ“ НӘШРИЛДИ
ИЗДАТЕЛЬСТВО „ЭЛМ“
БАКЫ—1971—БАКУ

УДК 513

МАТЕМАТИКА

Р. А. ШАФИЕВ, Д. Н. КЕРИМОВА

**О НЕПРЕРЫВНОМ АНАЛОГЕ ОДНОГО КЛАССА
ИТЕРАЦИОННЫХ МЕТОДОВ**

(Представлено академиком АН Азербайджанской ССР З. И. Халыловым)

В настоящей работе для решения уравнения

$$P(x) = 0, \quad (1)$$

где $P(x)$ — нелинейный оператор из одного вещественного банахова пространства X в другое такое пространство Y , рассматривается непрерывный аналог класса итерационных методов, определяемый дифференциальным уравнением в пространстве X

$$\frac{dx}{dt} = - \left\{ I - \frac{1}{n} \Gamma_x P''(x) \Gamma_x P(x) \right\}^{-1} \Gamma_x P(x), \quad (2)$$

где $\Gamma_x = [P'(x)]^{-1}$, а n принимает натуральные значения или бесконечность, с начальным условием

$$x(0) = x_0. \quad (3)$$

При $n=2$ уравнение (2) определяет непрерывный аналог метода касательных гипербол, при $n=\infty$ — непрерывный аналог метода Ньютона—Канторовича.

Для непрерывного аналога метода Ньютона—Канторовича ($n=\infty$) полученный в работе результат (теорема 3) переходит в теорему М. К. Гавурина [1]. По-видимому, частный случай теоремы 1, когда $n=\infty$, с указанными в замечании уточнениями получен ранее Е. И. Линьковым [2].

В качестве приложения рассмотрена краевая задача для системы обыкновенных дифференциальных уравнений [3].

1. Пусть оператор $P(x)$ отображает открытый шар $D(x_0, R) = \{x : \|x - x_0\| < R\}$ пространства X в Y . Будем предполагать, если не оговорено противное, что оператор $P(x)$ дважды дифференцируемый в шаре $D(x_0, r)$ ($r < R$), причем $P'(x)$ существует в замкнутом шаре $\overline{D}(x_0, r)$, а $P''(x)$ в окрестности каждой точки из $D(x_0, r)$ удовлетворяет условию Липшица.

РЕДАКЦИОННАЯ КОЛЛЕГИЯ: Г. Б. Абдуллаев (главный редактор),
Ш. А. Азизбеков, Г. А. Алиев, В. Ю. Ахундов, В. Р. Волобуев, А. И. Гусейнов,
М. А. Дадашзаде (зам. главного редактора), М. А. Кацкая, С. Д. Мехтиев, М. А. Топ-
ибашев, Г. Г. Зейналов (ответств. секретарь).

Адрес: г. Баку, Коммунистическая, 10. Редакция «Докладов Академии наук
Азербайджанской ССР».

n72182

Центральная научная
БИБЛИОТЕКА
Академии наук Киргизской ССР

Для оператора $\Gamma_x : \bar{D}(x_0, r) \rightarrow (Y, X)$, где (Y, X) — банахово пространство линейных операторов из Y в X , определим корень n -ой степени $\Gamma_x^{\frac{1}{n}}$ как таковой дифференцируемый оператор $\Gamma_x^{\frac{n}{n}} : \bar{D}(x_0, r) \rightarrow (Y, X)$, для которого $(\Gamma_x^{\frac{n}{n}})^n = \Gamma_x$ при n конечном. При n бесконечном $\Gamma_x^{\frac{1}{n}} = I$.

Введем в рассмотрение оператор

$$F_n(x) = \Gamma_x^{\frac{1}{n}} P(x). \quad (4)$$

Легко видеть, посредством оператора (4) уравнение (2) преобразуется к виду

$$\frac{dx}{dt} = -[F'_n(x)]^{-1} F_n(x), \quad (5)$$

разумеется, при условии существования всех операторов, входящих в правые части уравнений (2) и (5).

Интегрируя уравнение (5) при начальном условии (3), получим

$$F_n(x(t)) = F_n(x_0) e^{-t}, \quad (6)$$

где $\Gamma_0 = [P' x_0]^{-1}$, $\Gamma_x^{-\frac{1}{n}} = (\Gamma_x^{\frac{n}{n}})^{-1}$.

Теорема 1. Пусть выполнены условия:

1) в замкнутом шаре $\bar{D}(x_0, r)$ существует линейный оператор и при некотором n оператор $\Gamma_x^{\frac{1}{n}}$;

2) оператор $F'_n(x_0)$ имеет линейный обратный, причем $\|[F'_n(x_0)]^{-1} F_n(x_0)\| \leq \delta_0$, и в шаре $D(x_0, r)$

$$\|I - [F'_n(x_0)]^{-1} F'_n(x)\| \leq M \|x - x_0\|; \quad (7)$$

$$3) h_0 = M\delta_0 \leq \frac{1}{2};$$

$$4) r > r_0 = h_0^{-1} (1 - \sqrt{1 - 2h_0}) \delta_0.$$

Тогда уравнение (1) имеет решение x^* , лежащее в шаре $D(x_0, r_0)$, непрерывный процесс (2)–(3) (при том же n) сходится к x^* и справедливо неравенство

$$\|x(t) - x^*\| \leq h_0^{-1} (\sqrt{1 - 2h_0} (1 - e^{-t}) - \sqrt{1 - 2h_0} \delta_0). \quad (8)$$

Доказательство. Прежде всего заметим, что для элементов x из шара $D(x_0, r_0)$ существует линейный оператор $[F'_n(x)]^{-1} = H(x) [F'_n(x_0)]^{-1}$, причем

$$\|H(x)\| = \|[F'_n(x_0)]^{-1} F'_n(x)\|^{-1} \leq (1 - M \|x - x_0\|)^{-1}. \quad (9)$$

Далее, так как $P''(x)$ удовлетворяет локальному условию Липшица, то уравнение (2) имеет в окрестности нуля решение $x(t)$. Для тех t , для которых существует $x(t)$, получим

$$\begin{aligned} \|x(t) - x_0\| &\leq \int_0^t \|x'(s)\| ds = \int_0^t \|[F'_n(x(s))]^{-1} F_n(x(s))\| ds \leq \\ &\leq \int_0^t (1 - M \|x(s) - x_0\|)^{-1} \delta_0 e^{-s} ds. \end{aligned}$$

Отсюда в силу леммы об интегральном неравенстве Бихари (см. [4])

$$\|x(t) - x_0\| \leq M^{-1} (1 - \sqrt{1 - 2h_0} (1 - e^{-t})) < r_0. \quad (10)$$

Таким образом, траектория $x(t)$ целиком лежит внутри шара $D(x_0, r_0)$. Следовательно, решение $x(t)$ уравнения (2) продолжимо на положительную полуось.

Далее, в силу (9) и (10) имеем $\|[F'_n(x_0)]^{-1} F'_n(x(t))\|^{-1} \leq [1 - 2h_0(1 - e^{-t})]^{-\frac{1}{2}}$. Существование предела $\lim_{t \rightarrow +\infty} x(t) = x^*$ и неравенство (8) следует из соотношения

$$\begin{aligned} \|x(t) - x(\tau)\| &\leq \int_\tau^t \|x'(s)\| ds \leq \int_\tau^t [1 - 2h_0(1 - e^{-s})]^{-\frac{1}{2}} \delta_0 e^{-s} ds = \\ &= M^{-1} [\sqrt{1 - 2h_0(1 - e^{-\tau})} - \sqrt{1 - 2h_0(1 - e^{-t})}]. \end{aligned}$$

Так как оператор Γ_{x^*} обратимый, то существует линейный оператор $\Gamma_{x^*}^{-\frac{1}{n}}$.

Тогда переходя в равенстве (6) (с учетом (4)) к пределу при $t \rightarrow +\infty$, убеждаемся, что $P(x^*) = 0$.

Замечание. В случае $n = \infty$ достаточно, чтобы оператор $P(x)$ был дифференцируем в открытом шаре $D(x_0, r)$ и производная $P'(x)$ удовлетворяла там локальному условию Липшица. Кроме того, оказывается лишним условие 1) теоремы.

Для метода с параметром $n = 1$ удается получить хотя и несколько грубую, но удобную для приложения теорему. Здесь, как и в случае метода с параметром $n = \infty$, существование $P'(x)$ на границе шара $D(x_0, r)$ не требуется.

Теорема 2. Пусть выполнены условия:

1) существует линейный оператор Γ_0 , причем $\|\Gamma_0 P(x_0)\| \leq \delta_0$, и в шаре $D(x_0, r)$ $\|\Gamma_0 P''(x)\| < M$;

2) $h_0 = M\delta_0 \leq h^* 0,296\dots$, где h^* — решение уравнения $1 - h + 2\ln(1 - h) = 0$;

$$3) r \geq r_0 = \left(1 - \sqrt{1 - \frac{2}{1-h_0} \ln \frac{1}{1-h_0}}\right).$$

Тогда уравнение (1) имеет решение x^* , лежащее в шаре $\bar{D}(x_0, r_0)$, непрерывный процесс (2) при $n = 1$ сходится к x^* и справедливо неравенство

$$\begin{aligned} \|x(t) - x^*\| &\leq \frac{1-h_0}{M} \left(\sqrt{1 - \frac{2}{1-h_0} \ln \frac{1-h_0 e^{-t}}{1-h_0}} - \right. \\ &\quad \left. - \sqrt{1 - \frac{2}{1-h_0} \ln \frac{1}{1-h_0}} \right). \end{aligned}$$

Доказательство этой теоремы и нижеследующей проводится по образцу доказательства теоремы 1.

Следующая теорема устанавливает зависимость радиуса шара и оценки погрешности от параметра n .

Теорема 3. Пусть выполнены условия:

1) в замкнутом шаре $\bar{D}(x_0, r)$ существует линейный оператор

Γ_x^n и при некотором n оператор $\Gamma_x^{\frac{1}{n}}$, причем $\|\Gamma_0^{\frac{1}{n}}P(x_0)\| \leq \delta_0$, и

в шаре $D(x_0, r)$ $\|\Gamma_x^{1-\frac{1}{n}}\| \leq B$, $\|\Gamma_x P''(x)\| \leq M$;

$$2) h = MB\delta_0 < n;$$

$$3) r \geq r_0 = B\delta_0 \cdot \frac{n}{h} \ln \left(1 - \frac{h}{n}\right)^{-1}.$$

Тогда уравнение (1) имеет решение x^* , лежащее в шаре $\bar{D}(x_0, r_0)$, непрерывный процесс (2)–(3) сходится к x^* и справедливо неравенство

$$\|x(t) - x^*\| \leq B\delta_0 \cdot \frac{n}{h} \ln \left(1 - \frac{h}{n} e^{-t}\right)^{-1}.$$

Относительно случая $n = \infty$ см. замечание к теореме 1.

2. Воспользуемся предельной теоремой 1 при $n = \infty$ для получения теоремы существования решения следующей системы обыкновенных дифференциальных уравнений

$$\begin{aligned} u''(x) &= f(x, u(x), u'(x), v(x)), \\ v'(x) &= g(x, u(x), u'(x), v(x)), \end{aligned} \quad (11)$$

с краевыми условиями

$$u(a) = u(b) = v(a) = 0. \quad (12)$$

Пусть $E = C_0^2[a, b] \times C_0^2[a, b]$, $E_1 = C[a, b] \times C[a, b]$ ($u(x) \in C_0^2[a, b]$ если $u(x) \in C^2[a, b]$ и $u(a) = u(b) = 0$; $v(x) \in C_0^1[a, b]$ если $v(x) \in C^1[a, b]$ и $v(a) = 0$).

Возьмем вектор-функцию $\xi_0(x) = (u_0(x), v_0(x))$ из E . В евклидовом пространстве (x, u, u', v) рассмотрим множество $\Omega(\xi_0, r)$:

$$a < x \leq b, |u - u_0(x)| < r, |u' - u'_0(x)| < r, |v - v_0(x)| < r.$$

Пусть функции $f(x, u, u', v)$ и $g(x, u, u', v)$ определены и непрерывны на $\Omega(\xi_0, r)$. Тогда наша система порождает оператор P , который действует из шара $D(\xi_0, r) = \{\xi \in E : \|\xi - \xi_0\| < r\}$ в пространство E_1 . Введем обозначения: $G(x, s)$ – функция Грина задачи ($f_0(x) = f(x, u_0(x), u'_0(x), v_0(x))$)

$$u''(x) - f_{u', 0}(x)u'(x) - f_{u, 0}(x)u(x) = \varphi(x), \quad u(a) = u(b) = 0,$$

$$L[G(x, s)] = g_{u, 0}(x)G(x, s) + g_{u', 0}(x) \frac{\partial G(x, s)}{\partial x}.$$

Теорема 4. Пусть функции $f(x, u, u', v)$ и $g(x, u, u', v)$ имеют в $\Omega(\xi_0, r)$ непрерывные частные производные по u, u', v , которые по переменным u, u', v удовлетворяют локальному условию Липшица. Пусть далее выполнены условия:

1) в области $\Omega(\xi_0, r)$ $f_u(x, u, u', v) \geq 0$;

$$2) ядро K(x, s) = \int_a^x \exp \left(\int_t^x g_{v, 0}(y) dy \right) L[G(t, s)] f_{v, 0}(s) dt$$

линейного интегрального уравнения Фредгольма II рода имеет резольвенту $R(x, s)$;

3) $\max \{ \max_x |u'_0(x) - f_0(x)|, \max_x |v'_0(x) - g_0(x)| \} \leq \delta$;

4) для $a \leq x \leq b$

$$|g_{u, 0}(x)| \leq a_0, \quad |g_{u', 0}(x)| \leq a_1, \quad |g_{v, 0}(x)| \leq a_2,$$

$$\int_a^x \exp \left(\int_t^x g_{v, 0}(y) dy \right) dt \leq a_3,$$

$$\int_a^b \left| \frac{\partial^i R(x, s)}{\partial x^i} \right| ds \leq a_4^i \quad (i = 0, 1), \quad \int_a^b \left| \frac{\partial^j G(x, s)}{\partial x^j} \right| ds \leq a_5^j \quad (j = 0, 1, 2),$$

$$|f_{v, 0}(x)| \leq a_6,$$

$$\max \{ [1 + a_3 a_6 (1 + a_4^0) (1 + a_0 a_5^0 + a_1 a_5^1)] \max (a_5^0, a_5^1, a_5^2),$$

$$(1 + a_0 a_5^0 + a_1 a_5^1) \max [a_3 (1 + a_4^0), 1 + a_2 a_3 + a_3 a_4^1] \} = B;$$

5) для $u(x) \in D(\xi_0, r)$

$$\begin{aligned} |f_u(x, u(x), u'(x), v(x)) - f_{u, 0}(x)| &\leq k_1(f_u) |u(x) - u_0(x)| + \\ &+ k_2(f_u) |u'(x) - u'_0(x)| + k_3(f_u) |v(x) - v_0(x)|. \end{aligned} \quad (13)$$

Другие производные от $f(x, u, u', v)$ и $g(x, u, u', v)$ также удовлетворяют условию типа (13) и $k_1(f_u')$, $k_1(f_v)$, $k_1(g_u)$, $k_1(g_v)$ ($i = 1, 2, 3$) соответствующие коэффициенты.

$$\max \{ \sum [k_1(f_u) + k_1(f_u') + k_1(f_v)], \sum [k_1(g_u) + k_1(g_u') + k_1(g_v)] \} = M.$$

Если числа δ , B , M таковы, что $h = MB^2\delta \leq \frac{1}{2}$ и $r \geq h^{-1}(1 - \sqrt{1 - 2h})B\delta$, то в шаре $\bar{D}(\xi_0, r)$ задача (11)–(12) имеет решение $\xi^*(x) = (u^*(x), v^*(x))$.

ЛИТЕРАТУРА

- Гавурин М. К. Нелинейные функциональные уравнения и непрерывные аналоги итеративных методов. Изв. вузов, серия матем., № 5, 1958, 18–31.
- Линьков Е. И. Итерационные методы решения операторных уравнений. Автoref. канд. дисс., М., 1966. 3. Шафиков Р. А., Керимова Д. Н. О приближенном решении одной нелинейной задачи теории фильтрации. ДАН Азерб. ССР, т. 21, № 5, 1965, 8–12. 4. Беккенбах Э., Беллман Р. Неравенства. Изд-во „Мир“, 1965. 5. Канторович Л. В., Акилов Г. П. Функциональный анализ в нормированных пространствах. Физматгиз, 1959.

Институт математики
и механики

Поступило 27.1.1970

Мәгаләдә $P(x) = 0$ тәнлијинин һәлли үчүн бир синиф кәсиlmәz үсуллара баһымышдыр. Бу үсуллар Банах фәзасында ашағыдақы диференциал тәнликлә:

$$\left\{ \frac{dx}{dt} = - \left\{ I - \frac{1}{n} \Gamma_x P''(x) \Gamma_x P(x) \right\}^{-1} \Gamma_x P(x), \right.$$

$$x(0) = x_0$$

$$\Gamma_x = [P'(x)]^{-1}, \quad n = \overline{1, \infty},$$

тә'жин олунур.

В. Р. ИБРАГИМОВ

ПРИМЕНЕНИЕ ОДНОГО ЧИСЛЕННОГО МЕТОДА К РЕШЕНИЮ ДИФФЕРЕНЦИАЛЬНЫХ УРАВНЕНИЙ ВЫСШИХ ПОРЯДКОВ

(Представлено академиком АН Азербайджанской ССР А. И. Гусейновым)

Рассмотрим следующую задачу Коши:

$$\left. \begin{array}{l} x^{(n)} = f(t, x, x', \dots, x^{(n-1)}), \\ x_{(0)}^{(i)} = x_0^{(i)} \quad (i = \overline{0, n-1}) \end{array} \right\}, \quad (1)$$

где

$$f(t, x, x', \dots, x^{(n-1)}) \quad (0 \leq t \leq T; -\infty < x^{(i)} < +\infty; i = \overline{0, n-1})$$

непрерывная дифференцируемая функция по всем аргументам.

В [1] дан численный метод для решения задачи (1). Кроме того, там было указано, что результаты работы Prusty Sarbeshwar и Deekshatulu B. [2], полученные другим методом, являются частным случаем результатов этой работы, если в [1] положить $n = 2$; $a_1 = 1$; $a_2 = 0$.

Заметим, что результаты в недавно вышедшей работе одного из вышеуказанных авторов [3] также являются частным случаем [1], если в ней положить $a_1 = 0$; $a_2 = 1$; $a_3 = \dots = a_n = 0$.

Ниже, видоизменяя один частный случай ($a_1 = 0$; $a_2 = 1$; $a_3 = \dots = a_n = 0$) метода работы [1], дается формула для решения задачи (1), являющейся более точной, чем формулы, данные в работах [1]—[3].

1. Задачу (1) заменим эквивалентной задачей

$$\left. \begin{array}{l} x^{(n)} - x^{(n-2)} = F(t, x, x', \dots, x^{(n-1)}), \\ x_{(0)}^{(i)} = x_0^{(i)} \quad (i = \overline{0, n-1}) \end{array} \right\}, \quad (2)$$

где

$$F(t, x, x', \dots, x^{(n-1)}) = f(t, x, x', \dots, x^{(n-1)}) - x^{(n-1)}$$

Разобьем сегмент $[0, T]$ на n -равных частей с точками

$$0 = t_0 < t_1 < \dots < t_n = T \quad (t_{i+1} - t_i = h).$$

Известно, что решение задачи (2) на каждом сегменте $[t_i, t_{i+1}]$ имеет вид:

$$x(t) = C_1 + C_2(t - t_1) + C_3(t - t_1)^2 + \dots + C_{n-2}(t - t_1)^{n-3} + \\ + C_{n-1}e^{(t-t_1)} + C_n e^{-(t-t_1)} + \frac{1}{\delta} \sum_{k=1}^{n-2} \hat{\alpha}_k \int_{t_1}^t (t - t_1)^{k-1} F(\xi, x(\xi), \dots, x^{(n-1)}(\xi)) d\xi + \\ + \frac{\hat{\alpha}_{n-1}}{\delta} \int_{t_1}^t F(\xi, x(\xi), \dots, x^{(n-1)}(\xi)) e^{(-\xi)} d\xi + \\ + \frac{\hat{\alpha}_n}{\delta} \int_{t_1}^t F(\xi, x(\xi), \dots, x^{(n-1)}(\xi)) e^{-(t-\xi)} d\xi,$$

1где

$$\delta = \begin{vmatrix} 1 & (t-t_1) & \dots & (t-t_1)^{n-3} & 1 & (-1)^0 \\ 0 & 1 & \dots & (n-3)(t-t_1)^{n-4} & 1 & (-1)' \\ \dots & \dots & \dots & \dots & \dots & \dots \\ \dots & \dots & \dots & \dots & \dots & \dots \\ 0 & 0 & & 0 & & 1 & (-1)^{n-1} \end{vmatrix}$$

.а C_1 — является решением неоднородной линейной системы:

$$\begin{aligned}
 C_1 + 0 + 0 + \dots + 0 + C_{n-1} + C_n &= x_0 \\
 0 + 1! C_2 + 0 + \dots + 0 + C_{n-1} (-1)' C_n &= x'_0 \\
 0 + 0 + 2! C_3 + \dots + 0 + C_{n-1} + (-1)^2 C_n &= x''_0 \\
 &\vdots \quad \vdots \\
 0 + 0 + 0 \dots + (n-3)! C_{n-2} + C_{n-1} + (-1)^{n-3} C_n &= x^{(n-3)}_0 \\
 C_{n-1} + (-1)^{n-2} C_n &= x^{(n-2)}_0 \\
 C_{n-1} + (-1)^{n-1} C_n &= x^{(n-1)}_0 \tag{3}
 \end{aligned}$$

Учитывая, что $[t_i, t_{i+1}]$ достаточно мало (при достаточно больших n),
положим

$$x(t) = C_1 + C_2(t - t_1) + \dots + C_{n-2}(t - t_1)^{n-3} + C_{n-1}e^{(t-t_1)} + C_n e^{-(t-t_1)} + \\ + \frac{\bar{F}}{\hat{o}} \left[\sum_{k=1}^{n-2} \hat{o}_k (t - t_1)^k + \hat{o}_{n-1} (e^{(t-t_1)} - 1) + \hat{o}_n (1 - e^{-(t-t_1)}) \right], \quad (4)$$

где

$$\bar{F}_{1+\frac{1}{n+1}} = F(t_{1+\frac{1}{n+1}}, \bar{x}_{1+\frac{1}{n+1}}, \dots, \bar{x}_{1+\frac{n-1}{n+1}}^{(n-1)}).$$

Если в формуле (4) возьмем $t = t_{l+1}$, тогда получим

$$\bar{x}_{l+1} = C_1 + C_2 h + C_3 h^2 + \dots + C_{n-2} h^{n-3} + C_{n-1} e^h + C_n e^{-h} + \\ + \frac{\bar{F}_{l+\frac{1}{n+1}}}{\delta} \left[\sum_{k=1}^{n-2} \delta_k h^k + \delta_{n-1} (e^h - 1) + \delta_n (1 - e^{-h}) \right]. \quad (5)$$

$\bar{F}_{\frac{t+1}{2}}$ вычисляется по следующим формулам:

$$\bar{F}_{1+\frac{1}{n+1}} = \bar{F}_1 + \frac{h}{n+1} \left. \frac{d\bar{F}}{dt} \right|_{t=t_1} + O(h^2) \approx \bar{F}_1 + \frac{h}{n+1} \left. \frac{d\bar{F}}{dt} \right|_{t=t_1}$$

ИЛИ

$$\bar{E}_{1+\frac{1}{n+1}} \approx \bar{F}_1 + \frac{h}{n+1} \left\{ \frac{\partial \bar{F}}{\partial t} \Big|_{t=t_1} + \sum_{j=0}^{n-2} \frac{\partial \bar{F}}{\partial x^{(j)}} \Big|_{t=t_1} x^{(j+1)} + \frac{\partial \bar{F}}{\partial x^{(n-1)}} \Big|_{t=t_1} f_1 \right\}. \quad (6)$$

Для вычисления $\bar{x}'_{i+1}, \dots, \bar{x}_{i+1}^{(n-1)}$ дифференцируем равенства (4) $(n-1)$ раз и положим $t = t_{i+1}$; тогда имеем:

$$\bar{x}_{l+1}' = C_2 + 2C_3 h + \dots + (n-3) C_{n-2} h^{n-4} + C_{n-1} e^h - C_n e^{-h} + \\ + \frac{\bar{F}_{l+\frac{1}{n+1}}}{\delta} \left[\sum_{k=1}^{n-2} k \delta_k h^{k-1} + \delta_{n-1} e^h + \delta_n e^{-h} \right] \quad (7)$$

$$\bar{x}_{i+1}^{(n-1)} = C_{n-1}e^h + (-1)^{n-1}C_n e^{-h} + \frac{\bar{F}_{i+\frac{1}{n}}}{\delta} (\delta_{n-1}e^h + \delta_n(-1)^{n-2}e^{-h})$$

Формулы (5)–(7) есть рабочие формулы для численного решения задачи (1).

2. Оценим погрешность указанного метода. Имеем

$$\begin{aligned}
 \bar{x}_{l+1} &= C_1 + C_2 h + C_3 h^2 + \dots + C_{n-2} h^{n-3} + C_{n-1} e^h + C_n e^{-h} + \\
 &+ \frac{\bar{F}_{l+\frac{1}{n}}}{\delta} \left[\sum_{k=1}^{n-2} \hat{d}_k h^k + \hat{d}_{n-1} (e^h - 1) + \hat{d}_n (1 - e^{-h}) \right] = \\
 &= \bar{x}_l + \bar{x}'_l h + \bar{x}''_l \frac{h^2}{2!} + \dots + \bar{x}_l^{(n-1)} \frac{h^{n-1}}{(n-1)!} + (C_{n-1} + (-1)^n C_n) \frac{h^n}{n!} + \\
 &+ (C_{n-1} + (-1)^{n+1} C_n) \frac{h^{n+1}}{(n+1)!} + \frac{\bar{F}_{l+\frac{1}{n}}}{\delta} \left\{ h \left[1 + (-1)^{n+1} + 2 \frac{\hat{d}_1}{\delta} \right] + \right. \\
 &+ h^2 \left[\frac{1}{2!} (1 + (-1)^{n-2} + 2 \frac{\hat{d}_2}{\delta}) \right] + \dots + \frac{h^{n-1}}{(n-1)!} (1 + (-1)^{2n-1}) + \\
 &\left. + \frac{h^n}{n!} (1 + (-1)^{2n}) + \frac{h^{n+1}}{(n+1)!} (1 + (-1)^{2n+1}) \right\} + O(h^{n+2})
 \end{aligned}$$

Если $\mu = 2k$, $\hat{a}_1 \equiv \hat{a}_2 \equiv \dots \equiv \hat{a}_{2k-3} \equiv 0$.

$$\text{Если } n = 2k+1 \quad \hat{\delta}_3 = \hat{\delta}_4 = \dots = \hat{\delta}_{2k-2} = 0,$$

Учитывая значение δ_k , имеем

$$\bar{x}_{l+1} = \bar{x}_l + \bar{x}'_l h + \dots + \bar{x}_l^{(n-1)} \frac{h^{n-1}}{(n-1)!} + (C_{n-1} + (-1)^n C_n) \frac{h_n}{n!} + \\ + (C_{n-1} + (-1)^{n+1} C_n) \frac{h^{n+1}}{(n+1)!} + \frac{\bar{F}_{l+\frac{1}{n+1}}}{n!} h^n + O(h^{n+2}),$$

используя формулы

$$\bar{F}_{\frac{i+1}{n+1}} = \bar{x}_i^{(n)} - \bar{x}_i^{(n-2)} + \frac{h}{n+1} (\bar{x}_i^{(n+1)} - \bar{x}_i^{(n-1)}) + O(h^2)$$

и учитывая

$$C_{n-1} + (-1)^n C_n = x_0^{(n-2)}$$

$$C_{n-1} + (-1)^{n+1} C_n = x_0^{(n-1)},$$

получим

$$\bar{x}_{i+1} = \bar{x}_i + \bar{x}'_i h + \bar{x}_i \frac{h^2}{2!} + \dots + \bar{x}_i^{(n+1)} \frac{h^{n+1}}{(n+1)!} + O(h^{n+2}),$$

так как

$$\bar{x}_0^{(i)} = x_0^{(i)} \quad (i = \overline{0, n+1}).$$

Известно, что

$$x_{i+1} = x_i + x'_i h + x_i \frac{h^2}{2!} + \dots + x_i^{(n+1)} \frac{h^{n+1}}{(n+1)!} + O(h^{n+2}),$$

то из (7) и (8) имеем

$$x_{i+1} - \bar{x}_{i+1} = O(h^{n+2}).$$

Таким образом, полученная здесь погрешность лучше, чем погрешность, полученная в работе [1]—[3].

В заключение, пользуясь случаем, выражаю свою признательность проф. Я. Д. Мамедову за предложенную тему и советы.

ЛИТЕРАТУРА

1. Ибрагимов В. Р. Об одном численном методе для решения дифференциальных уравнений высших порядков. Уч. зап. АГУ, № 1, 1969.
2. Rusty Sarbeshwar, Deekshatulu V. L. Some solutions to non-linear systems. "Control", 1967, 11, № 107, 227—231.
3. Rusty Sarbeshwar. A general approach for solving higher order non-linear systems by delta method. "Indian J. Pure and Appl. Phys.", 1967, 5, № 12, 589—591.

Азгосуниверситет им. Кирова

Поступило 30.VII.1969

В. Р. Ибраимов

Бир әдәди үсулун јүксәк тәртибли дифференциал тәнликләрия һәlliнә тәтбиғи

ХУЛАСӘ

Мәгаләдә

$$\begin{cases} x^{(n)} = f(t, x, x', \dots, x^{(n-1)}), \\ x_0^{(i)} = x_0^{(v)} \quad (i = \overline{0, n-1}) \end{cases}$$

мәсәләнин һәlli үчүн әдәди үсул верилмишdir. Бу үсул мә'лум үсулларла мүгајисә олунмуш вә үсулун хәтасы гијметләндирilmишdir.

АЗЭРБАЙЧАН ССР ЕЛМЛӘР АКАДЕМИЯСЫНЫН МӘРҮЗӘЛӘРИ

ДОКЛАДЫ АКАДЕМИИ НАУК АЗЕРБАЙДЖАНСКОЙ ССР

ТОМ XXVII

№ 5

1971

УДК 621.373

ТЕХНИКА

В. П. ДЬЯКОНОВ, Д. Г. АЛИ-ЗАДЕ

ЛОКАЛИЗАЦИЯ ТОКА ПРИ ЛАВИННОМ УМНОЖЕНИИ НОСИТЕЛЕЙ В $p-n$ -ПЕРЕХОДАХ ПОЛУПРОВОДНИКОВЫХ ПРИБОРОВ

(Представлено академиком АН Азербайджанской ССР Г. Б. Абдуллаевым)

1. ВВЕДЕНИЕ

Режим лавинного умножения носителей в $p-n$ -переходе является рабочим для широкого класса перспективных электронных приборов: лавинно пролетных СВЧ диодов, лавинных транзисторов, диодов, триисторов, лавинных фотодиодов и др. [1, 2]. В ряде работ, например [3, 4], показано, что лавинному режиму присущи эффекты локализации тока в отдельных дефектных участках перехода с пониженным напряжением пробоя. Это делает важным детальный анализ данных эффектов.

В настоящей работе рассмотрение ограничено анализом локальных эффектов в $p-n$ -переходе, вызываемых только процессом лавинного умножения носителей. Можно полагать, что полученные при этом результаты будут полезны при оценке степени влияния локальных эффектов на работоспособность различных полупроводниковых приборов, что необходимо для их правильного конструирования и обеспечения высокой надежности.

2. ОБЩИЕ СВОЙСТВА $p-n$ ПЕРЕХОДА ПРИ ЛАВИННОМ ПРОБОЕ

Различные дефекты перехода обычно приводят к снижению напряжения лавинного пробоя в дефектных участках перехода $U_{m\delta}$ по сравнению с напряжением лавинного пробоя в бездефектных участках U_m , определим степень дефектности δ как:

$$\delta = \frac{U_m - U_{m\delta}}{U_m}. \quad (1)$$

Оценим δ для некоторых типов дефектов. Если дефект обусловлен неодинаковым удельным сопротивлением ρ полупроводника в различных участках перехода, то для нахождения δ можно использовать эмпирическую зависимость:

$$U_m = B\rho^k, \quad (2)$$

где значения констант B и K для различных типов переходов приведены в [5], из (1) и (2):

$$\delta = 1 - (\rho_0/\rho)^k, \quad (3)$$

Величина δ для статистических флюктуаций концентрации примесей в полупроводнике определена в [1], для резкого перехода

$$\delta = \sqrt{\frac{eE_{\max}}{4\epsilon U_m^2}}, \quad (4)$$

а для плавного

$$\delta = 0.4 \sqrt{\frac{e}{12\epsilon a U_m}}, \quad (5)$$

где E_{\max} — критическая напряженность поля в $p-n$ -переходе при которой развивается интенсивная ударная ионизация носителей;

a — расстояние, на котором концентрация диффузанта спадает в e раз.

Можно показать, что дефектность перехода приводит к проявлению неравномерности ширины перехода W_m при напряжении $U = U_m$. Используя зависимости U_m от W_m [1], справедливые для резкого и плавного переходов:

$$U_m = 0.5 E_{\max} W_m \quad (6)$$

$$U_m = 2/3 E_{\max} W_m \quad (7)$$

получим:

$$\delta = \frac{W_m - W_{m\text{д}}}{W_m} = \frac{\Delta W_m}{W_m}, \quad (8)$$

где $W_{m\text{д}}$ — ширина перехода в дефектном месте.

Таким образом, оценка дефектности с помощью величины δ достаточно обща для различных типов дефектов. Степень умножения носителей оценивается отношением числа носителей одного знака, выходящего из $p-n$ -перехода при наличии в нем ударной ионизации n к числу первоначально введенных носителей n_0 , по Миллеру:

$$M = \frac{n}{n_0} = \frac{1}{1 - (U/U_m)^n}, \quad (9)$$

где значения константы n даны в [5]. Для дальнейших примеров полагаем $n = 3$, что справедливо для германевых $P^+ - n$ -переходов. Структура дефектного перехода показана на рис. 1a.

Рис. 1a — структура дефектного перехода; б — зависимость напряженности поля от расстояния.

Пример дан для случая резкого несимметричного перехода. Зависимость напряженности поля E в переходе от расстояния по оси X для такого перехода дана на рис. 1, б. Ударная ионизация развивается не по всей ширине перехода, а в основном в тех участках, где напряженность

поля $E = E_{\max}$, остальная часть перехода выполняет роль сопротивления, величина которого по постоянному току падает с увеличением числа носителей, поступающих из области эффективного умножения. Этим объясняется рост тока через $p-n$ -переход при наличии ударной ионизации. В [1] показано, что дифференциальное сопротивление $p-n$ -перехода при лавинном пробое и большом M можно считать постоянным и равным:

$$R_0 = \sum_{v_i} \eta_i \frac{(W_i)^2 \mu}{2\epsilon v_i S}, \quad (10)$$

где η_i — коэффициент, характеризующий степень локализации умножения в запорном слое перехода,

v_i — дрейфовая скорость носителей,

S — площадь перехода,

ϵ — диэлектрическая проницаемость полупроводника.

Наличие сопротивления запорного слоя играет существенную роль в ограничении локальных эффектов в дефектном переходе.

3. ВОЛЬТАМПЕРНАЯ ХАРАКТЕРИСТИКА $p-n$ -ПЕРЕХОДА ПРИ ЛАВИННОМ ПРОБОЕ

В. а. х. $p-n$ -перехода можно определить как зависимость напряжения на переходе от протекающего через него тока вне зависимости от того, какими начальными причинами этот ток обусловлен. Из (9) и (10) можно получить обобщенное выражение для $p-n$ -перехода при лавинном пробое:

$$U = U_m \sqrt{1 - I_0/I} + IR_0. \quad (11)$$

Первый член (11) — падение напряжения на той части запорного слоя, в которой развивается ударная ионизация, а второй — падение напряжения на остальной части запорного слоя от протекающего через переход тока. Покажем общность (11) для некоторых типов полупроводниковых приборов.

1. В обычных диодах ток I_0 обусловлен термогенерацией носителей в p - и n -слоях перехода и равен:

$$I_0 = I_s = qS \left(\frac{D_p p_n}{L_p} + \frac{D_n n_p}{L_n} \right), \quad (12)$$

тогда:

$$U = U_m \sqrt{1 - I_s/I} + IR_0. \quad (13)$$

2. В лавинно-пролетных диодах и кремниевых стабилитронах пробой имеет резко выраженный характер и $I \gg I_s$, в этом случае из (13):

$$U = U_m + IR_0. \quad (14)$$

3. В транзисторах, в частности в лавинных, число носителей, вводимых в $p-n$ -переход, определяется инжекцией их со стороны близко расположенного эмиттера. В этом случае:

$$I_0 = \alpha (I_s) I_s + I_{ko} \quad (15)$$

$$U = U_m \sqrt{1 - \frac{\alpha (I_s + I_{ko})}{I}} + IR_0. \quad (16)$$

Уравнение (16) описывает в. а. х. лавинного транзистора [6]. Аналогично можно получить выражения для в. а. х. диодиста, тиристора, и др. приборов.

4. АНАЛИЗ ТОКОРАСПРЕДЕЛЕНИЯ В ДЕФЕКТНОМ ПЕРЕХОДЕ ПРИ ЛАВИННОМ ПРОБОЕ

В настоящем разделе нас прежде всего будет интересовать максимальная степень локализации тока в дефектных местах перехода. При этом величина δ полагается не большей 0,1, т. к. в противном случае переход нельзя считать качественным для большинства реальных применений. В этом случае можно принять следующие допущения:

1. Неоднородность перехода по ширине достаточно мала. При $\delta \ll 0,1$ из (3) $\Delta W_m/W_m \ll 0,1$.

2. Входящий в $p-n$ -переход поток носителей по плотности равномерно распределен по всему сечению перехода. Это предположение необходимо для исключения иных причин локализации тока, помимо лавинного умножения.

3. Растеканием носителей от дефектных участков перехода к бездефектным можно пренебречь. Это предположение оправдывается тем, что растекание способствует уменьшению степени локализации тока.

При сделанных допущениях дефектный переход можно разбить на m участков с площадью S/m , меньшей площади наименьшего дефекта, и длиной W_m каждый ($W_m \gg \Delta W_m$), каждый участок можно охарактеризовать напряжением лавинного пробоя $U_{m1} \div U_{mm}$, дифференциальным сопротивлением при развитом пробое mR_o и начальным током I_0/m . При этом бездефектные участки имеют напряжение лавинного пробоя, близкое к U_m .

Полный ток I через $p-n$ -переход и его составляющие в различных участках перехода можно определить из выражений, следующих из (11):

$$I = I_1 + I_2 + \dots + I_k + I_e + I_m \quad (17)$$

$$\left. \begin{aligned} U &= U_{m1} \sqrt[1]{1 - I_0/mI_1 + I_1 m R_o} \\ U &= U_{m2} \sqrt[1]{1 - I_0/mI_2 + I_2 m R_o} \\ &\dots \dots \dots \dots \\ U &= U_{mk} \sqrt[1]{1 - I_0/mI_k + I_k m R_o} \\ U &= U_{me} \sqrt[1]{1 - I_0/mI_e + I_e m R_o} \\ U &= U_{mm} \sqrt[1]{1 - I_0/mI_m + I_m m R_o} \end{aligned} \right\} \quad (18)$$

Степень локализации тока в дефектном K -участке можно оценить отношением тока I_k в нем к току I_e в бездефектном e -участке:

$$k = I_k/I_e > 1. \quad (19)$$

Наиболее наглядным является графическое решение уравнений (17, 18). Это решение иллюстрируется рис. 2, а, на котором построены в. а. х. дефектного и бездефектного участков перехода. Задаваясь различными напряжениями, можно найти соответствующие токи I_k и I_e , а затем определить отношение I_k/I_e . Зависимость $k = f(U)$ показана на рис. 2, б. Легко видеть, что в общем случае эта зависимость имеет максимум, свидетельствующий о том, что степень локализации лавинного тока падает при $U > U_m$ и всегда конечна.

Целесообразно рассмотреть два частных случая, для которых легко получить аналитические выражения. Так, если $U < U_m$, часто можно пренебречь падением напряжения на mR_o . Тогда из (18):

$$k = \frac{1 - (U/U_m)^n}{1 - \left(\frac{U/U_m - 1 + \delta}{1 - \delta} \right)^n}. \quad (20)$$

При $U > U_m$ через переход протекает большой ток и $I \gg I_o$, в этом случае:

$$k = \frac{U/U_m - 1 + \delta}{U/U_m - 1} = 1 + \frac{\delta}{U/U_m - 1}. \quad (21)$$

Обобщенные зависимости (20) и (21) показаны на рис. 3 для $n=3$ и различных значений δ . Они позволяют оценить крайнюю степень локализации тока в $p-n$ -переходе при лавинном пробое для указанных

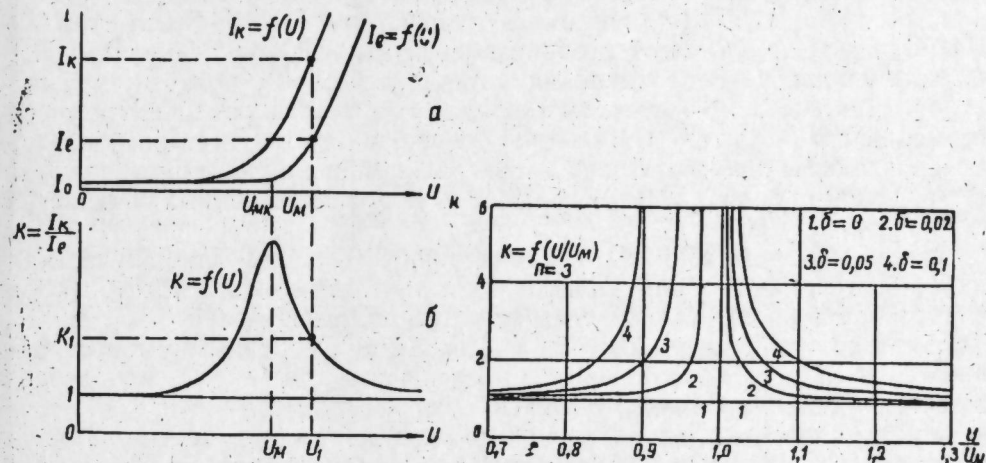


Рис. 2. а—в. а. х. дефектного и бездефектного участков перехода; б—зависимость степени локализации тока от напряжения.

Рис. 3. Обобщенные зависимости.

выше случаев: $U < U_m$ и $U > U_m$. При $U \rightarrow U_m$ выражения (20) и (21) дают $k \rightarrow \infty$. В общем случае (см. рис. 2, б) это не имеет места и из-за наличия сопротивления R_o и растекания тока K всегда имеет конечное значение даже при $U = U_m$.

Представляет интерес оценка критического значения тока I_{kp} , при котором зависимость $k = f(U/U_m)$ имеет максимум. Этот ток соответствует тому моменту, когда падение напряжения на дефектном участке перехода становится равным U_m и пробой распространяется на остальные участки перехода. Для I_{kp} можно записать:

$$I_{kp} \approx \frac{U_{mk} - U_m}{R_o S / S_1} = \frac{\delta S_1 U_m}{S R_o}, \quad (22)$$

где S_1 — площадь дефектного участка перехода.

Ток I_{kp} уменьшается с уменьшением относительной площади дефектов. Следовательно, переходы с малой площадью дефектов обладают меньшей неоднородностью пробоя. Рассчитанные по (22) значения I_{kp} при $S_1/S = 0,05$ и $\delta = 0,05$ по порядку величины хорошо совпадают со значениями минимального тока стабилизации кремниевых стабилитронов. Так, для стабилитрона Д810, имеющего $U_m = 10$ в и $R_o = 10$ ом, имеем $I_{kp} = 2,5$ ма, что близко к минимальному току стабилизации 3–5 ма.

72/82

5. ОБСУЖДЕНИЕ РЕЗУЛЬТАТОВ

Представляет интерес количественная оценка степени локализации лавинного тока в реальных переходах. Эта оценка требует значения величины δ , которая известна для некоторых типов дефектов. Так, по данным [1], величина δ для кремниевых сплавных переходов составляет $0,14/U_m$, а для германиевых $0,075/U_m$. Для диффузионных переходов соответственно δ равно $0,027/U_m$ и $0,02/U_m$. Другая причина микрофлюктуаций концентрации примесей описана в [8]. Она дает $\delta = 0,2 - 0,3/U_m$. Таким образом, для переходов с $U_m > 50$ в микрофлюктуации концентрации примесей не могут служить причиной опасных локальных эффектов.

Исследование лавинных свойств коллекторного перехода транзисторов показало, что во многих приборах разброс U_m не превышает $\pm 10\%$ для 80 приборов из 100, например, транзисторы МП20—МП21, П414Б, П415Б, П416Б и др. Этот разброс вызван относительно большим разбросом удельного сопротивления материала базовой области транзисторов. Так, для диффузионно-сплавных транзисторов используется германий с ρ от 0,7 до 1,0 $\text{ом} \cdot \text{см}$. Однако очевидно, что разброс ρ у материала базы одного образца значительно меньше указанных данных. По-видимому, величина δ для реальных доброкачественных переходов не превышает 0,05—0,1.

Следует ожидать, что локальные процессы в дефектных участках переходов должны быть причиной возникновения заметных шумов токораспределения. Такие шумы обнаружены экспериментально в [9]. Характерно наличие максимума у зависимости уровня шумов от напряжения на переходе. Максимум наблюдается при $U \approx U_m$ и подтверждает наличие максимума у зависимости $k = f(U/U_m)$.

Проделанный анализ позволяет по известной в. а. х. того или иного прибора оценить степень локализации лавинного тока в различных областях в. а. х. Рассмотрим некоторые примеры, задаваясь допустимой степенью локализации тока $k < 2$ и $\delta = 0,05$. Тогда из рис. 3 находим, что область повышенной локализации с $k \geq 2$ лежит в интервале от 0,9 до 1,05 U_m . На рис. 4 показана в. а. х. диода с заштрихованной областью повышенной локализации тока.

На рис. 4 показана в. а. х. диода с областью повышенной локализации за счет лавинного умножения; область 1 типична для нормальной работы, а область 2—для работы в лавинном режиме (например, в кремниевом стабилитроне или лавинно-пролетном диоде).

Более специфична такая оценка для лавинных транзисторов. На рис. 5, а показана в. а. х. лавинного транзистора в схеме с общим эмиттером при различных значениях базового тока управления I_g [6]. Легко видеть, что в зону повышенной локализации

попадает малый участок в. а. х., лежащий в области малых токов. Участки отрицательного сопротивления и область больших токов лежат вне области повышенной локализации. Это обстоятельство объясняет возможность получения от лавинных транзисторов мощных импульсов напряжения и тока [2, 7], свидетельствует о высокой надежности лавинных транзисторов в указанной схеме включения.

Худшими характеристиками обладает схема включения с общей базой в. а. х. которая показана на рис. 5 б. В этом случае степень

локализации возрастает с ростом тока, что создает весьма неблагоприятные условия для надежной работы приборов в лавинной области.

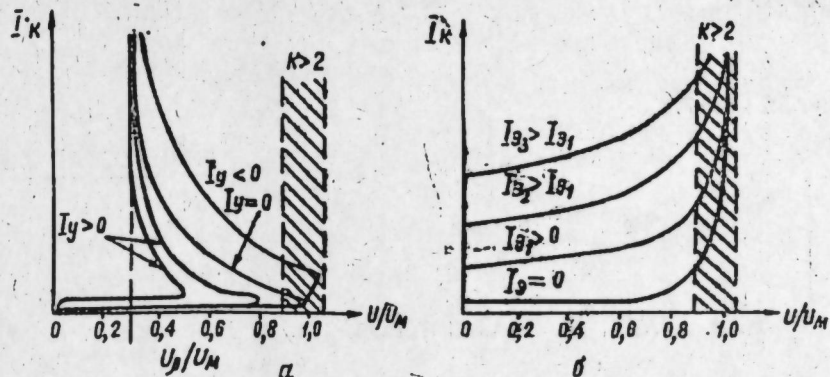


Рис. 5. В. а. х. лавинного транзистора в схеме с общим эмиттером при различных значениях тока (а), в схеме с общей базой (б).

Из рассмотренного ясно, что во многих случаях локальные эффекты, обусловленные лавинным умножением носителей, играют второстепенную роль и надежность приборов, использующих лавинный режим как полезный, может быть достаточно высокой. Основные факторы, снижающие надежность таких приборов, по-видимому, те же, что и у обычных приборов [3].

ЛИТЕРАТУРА

1. Тагер А. С., Вальд-Перлов В. М. Лавинно-пролетные диоды и их применение в технике СВЧ. "Сов. радио", 1968.
2. Али-заде Г. А., Дьяконов В. П., Али-заде Д. Г. Возможности и перспективы применения лавинных транзисторов. "Радиотехника", т. 24, № 5, 1969.
3. Ройзин Н. М. Физические проблемы надежности транзисторов. В сб. "Полупроводниковые приборы и их применение", вып. 10, 1963, стр. 47.
4. Пикиулук В. Г., Шац С. Я. Лавинные свойства промышленных сплавных маломощных транзисторов. "Радиотехника", т. 20, 1965, стр. 52.
5. Красильников А. В., Трутко А. Ф. Методы расчета транзисторов. "Энергия", М., 1964.
6. Дьяконов В. П. Вольтамперная характеристика транзисторов в лавинном режиме. "Радиотехника и электроника", т. XIII, № 5, 1968, стр. 941.
7. Дьяконов В. П. Транзисторный генератор прямоугольных наносекундных импульсов регулируемой длительности. Приборы и техника эксперимента, № 5, 1968, стр. 101.
8. Goetzberger A., Mc Donald B., Haitz R. H., Scarlett R. M. Avalanche effect in silicon p-n-junction. I. Appl. Phys., 1963, v. 34, № 6, p. 1591.
9. Mc. Кау. Avalanche breakdown in si. Phys. Rev., 1954, v. 94, № 4, p. 887.

Поступило 11.VI 1970

АЗИНЕФТЕХИМ

В. П. Дяконов, Ч. Н. Элизадэ

Жарымкечиричи чиңазларын $p-n$ кечидинде јүкдашыјычыларын ахыншәкилли артмасы заманы чәрәjanын локализә едиlmәsi

ХУЛАСӘ

Мәгаләдә јүкдашыјычыларын әкс истигамәтдә ишләjәn $p-n$ кечиддә ахыншәкилли артмасы заманы чәрәjanын локализә едиlmәsi мәсәләсіндән бәhc олунмушдур.

Аjdынлашмышдыр ки, јүкдашыјычыларын ахыншәкилли артмасы илә бағлы олан локализасија эффекти чох ваҳт иккичи дәрәчәли рол ојнаjыр вә hәmin ахын режиминде ишләjәn чиңазларын е'тибарлылығы кифајет гәдәр бөjүк ола биләр.

ФИЗИЧЕСКАЯ ХИМИЯ

М. И. АГАЕВ, Ш. М. АЛЕКПЕРОВА, М. И. ЗАРГАРОВА

ФИЗИКО-ХИМИЧЕСКОЕ ИССЛЕДОВАНИЕ СИСТЕМ
 $\text{Ag}_2\text{X}-\text{Cu}_2\text{X}$ [X=S, Se]

(Представлено академиком АН Азербайджанской ССР Г. Б. Абдуллаевым)

Изучению систем $\text{Ag}_2\text{X}-\text{Cu}_2\text{X}$ посвящено немного работ. Юрле [1], изучая рентгенографическую систему $\text{Ag}_2\text{S}-\text{Cu}_2\text{S}$, нашел индивидуальные фазы составов $\text{Ag}_{1.55}\text{Cu}_{0.45}\text{S}$, $\text{Ag}_{1.2}\text{Cu}_{0.8}\text{S}$ и $\text{Ag}_{0.93}\text{Cu}_{1.07}\text{S}$ и определил температурные интервалы существования отдельных модификаций всех этих тройных соединений. Вернер [2], изучая систему $\text{Cu}_2\text{S}-\text{Ag}_2\text{S}$, определил области твердых растворов и механической смеси и отметил, что разрывы гомогенности при температуре 300°C занимают довольно узкий интервал температур. Рентгеноструктурным, химическим и минералогическим методами Грейвер [3] при электролизе медных анодов установил образование ряда вторичных халькогенидов Ag_2Se , Ag_2Te и AgCuSe .

В природе также встречается минерал AgCuSe — эвкаирит [4]. Приведенные экспериментальные данные не согласуются с результатами работы [5], исследованной всего двумя методами и только при высоких температурах. Системы при комнатной температуре не изучались. Авторы указывают на образование непрерывного ряда твердых растворов в системах $\text{Cu}_2\text{X}-\text{Ag}_2\text{X}$ [X=S, Se, Te].

В настоящей работе системы $\text{Cu}_2\text{S}-\text{Ag}_2\text{S}$ и $\text{Cu}_2\text{Se}-\text{Ag}_2\text{Se}$ изучены методами термического, рентгенофазового анализа и измерением зависимости электропроводности и термоэдс от состава.

Сплавы для исследования изготавливались из заранее синтезированных монохалькогенидов серебра и меди. Исходными материалами для получения соединений служили серебро 99,999% чистоты, сера и селен марок В-4 и медь в. ч. Изготовлено по 21 сплаву каждой системы, сплавление проводилось в откаченных до 10^{-4} мм рт. столба запаянных ампулах при температуре 1200°C в течение 20 ч. Охлаждение проводилось со скоростью $10^\circ/\text{ч}$. Термограммы регистрировались прибором НТР-62 М, рентгенофазовый анализ проводился на УРС-50И. Результаты термического анализа систем представлены на рис. (1, a, б) в виде диаграммы состояния. Кривая ликвидус (рис. 1, a) имеет минимум, соответствующий составу 55 мол. % Ag_2S и температуре 590°C . Это эвтектическая точка системы. В интервале концентраций от 52 до 30 мол. % Ag_2S на диаграмме наблюдается изотермическая горизонталь,

соответствующая температуре перитектики -630°C . В точке перитектики происходит реакция образования тройного соединения $\text{Ж} + \text{Cu}_2\text{S} \rightleftharpoons \text{CuAgS}$.

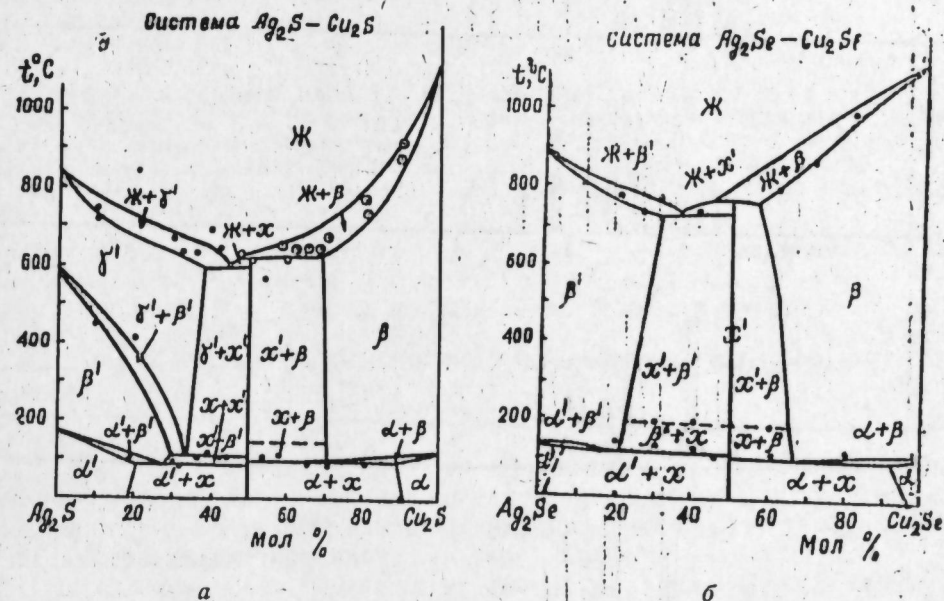


Рис. 1.

Растворимость при температуре 590°C наблюдается в пределах от 100 до 62 мол. % Ag_2S , а со стороны Cu_2S до 30 мол. % Ag_2S .

Имеющиеся на термограммах остановки в пределах концентраций 30—65 мол. % Ag_2S и при 140°C , по всей вероятности, соответствуют переходу тройного соединения из одной модификации в другую. В связи с наличием полиморфных превращений у исходных компонентов, в данной системе имеют место эвтектоидные процессы при 30, 110 и 100°C . В связи с этим области гомогенности значительно сужаются при комнатной температуре. Аналогичное химическое взаимодействие обнаружено и при изучении системы $\text{Cu}_2\text{Se}-\text{Ag}_2\text{Se}$ (рис. 1, б).

Точка эвтектики соответствует составу 64 мол. % Ag_2Se и температуре 730°C , перитектика — 56 мол. % Ag_2Se и температуре 760°C . На термограммах вблизи тройного соединения AgCuSe отмечены эндотермические эффекты при температуре 190°C , по всей вероятности, соответствующие, как и в предыдущей системе, модификационному переходу этого соединения.

Штрихрентгенограммы (рис. 2, а, б) иллюстрируют фазовый состав соединений. Наиболее интенсивные линии на штрихдиаграммах от CuAgS и CuAgSe не обнаруживаются линий, характерных для Cu_2S , Ag_2S и Cu_2Se , Ag_2Se , что также выявляет индивидуальность полученных фаз.

Зависимость электропроводности от состава (рис. 3) соответствует диаграмме состояния $\text{Ag}_2\text{Se}-\text{Cu}_2\text{Se}$.

Резкий перелом кривой электропроводности в сингулярной точке свидетельствует о существовании тройного соединения, соответствующего составу 50 мол. %.

Пикиметрическим методом определена плотность тройных соединений $\text{CuAgS}=6.4 \text{ г}/\text{см}^3$, $\text{CuAgSe}=7.5 \text{ г}/\text{см}^3$. При комнатной температуре для CuAgSe измерены термоэдс $\alpha = 66,96 \text{ мкв}/\text{град}$, $\sigma = 2,36 \times 10^3 \text{ ом}^{-1} \text{ см}^{-1}$, коэффициент Холла $R = 1,17 \text{ см}^3/\text{к}$, концентрация

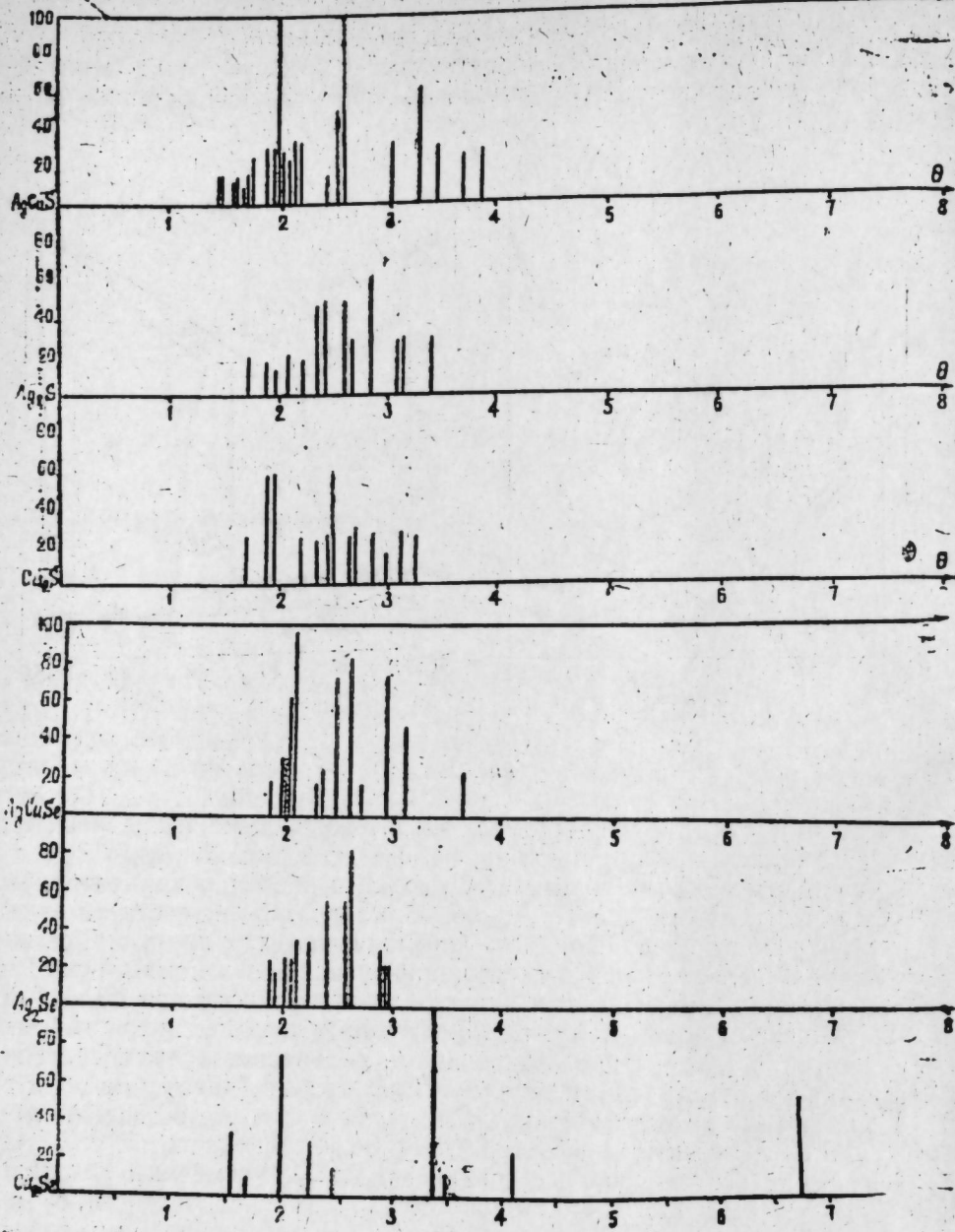


Рис. 2.

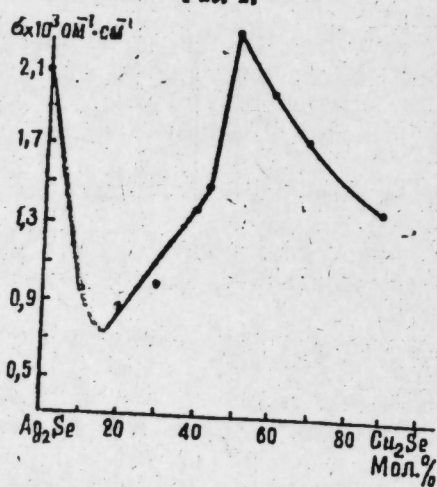


Рис. 3.

носителей $n = 8,6 \cdot 10^{18} \text{ см}^{-3}$ и подвижность носителей $\mu = 2760 \text{ см}^2/\text{сек}$. Таким образом, диаграммы состояния систем $\text{Cu}_2\text{X}-\text{Ag}_2\text{X}$, штрихдиаграммы, а также экстремумы на кривых физическое свойство—состав, относящиеся к составу 50 мол.% Ag_2X , дают основание предположить образование новых тройных соединений CuAgX ($\text{X}=\text{S}, \text{Se}$).

ЛИТЕРАТУРА

1. Jurle. Acta chem. scand. 12, №7, 1427—1436, 1958.
2. Werner A. Z. Physik Chem., 1, 47, 267, 1965.
3. Грейвер Т. Н. Новые направления в технологии извлечения селена и теллура. Автореф. докт. дисс., Л., 1969.
4. Earley J. W. The American mineralogist vol.—35, 5—6, 1950, vol. 5, part. 2.
5. Менделевич А. Ю., Крестовников А. И., Глазов В. М. Жур. физ. химии, т. X, III, № 12, стр. 3067, 1969.

Институт физики

Поступило 11. IX 1970

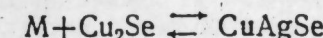
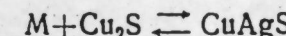
М. И. Агаев, Ш. М. Эләкбәрова, М. И. Зәркәрова

$\text{Cu}_2\text{S}\text{Ag}_2\text{S}$, $\text{Cu}_2\text{Se}-\text{Ag}_2\text{Se}$ системләринин физики-химјэви тәдгиги

ХУЛАСЭ

$\text{Cu}_2\text{X}-\text{Ag}_2\text{X}$ системләринин аз өјрәнилмәси илә әлагәдар олараг, бу тәдгигатда һәмин системләр дифференциал-термики, рентгенфаза, микрогуруулуш методлары илә арашдырылыш вә отаг температурunda електрик хассәләри өлчүлмүшдүр.

Нәтичәләрә көрә, јени үчгат бирләшмәләрин (CuAgS , CuAgSe) алынмасы мүәjjән едилшишdir. Перитетики реаксија ашағыдақы тәнликләрә уйғун кедир:



Физики хассәләрин тәркибдән асылылығы әјриси вә штрихдиаграммалар јени фазаларын әмәлә кәлмәсина әлавә сүбүтдүр. CuAgSe бирләшмәси үчүн α (термо еhr), σ (электриккечирмә), R (Холл әмсалы), p (јүкдашыјычыларын концентрасијасы) вә μ (јүрүклүк) өлчүлмүшдүр.

ОРГАНИЧЕСКАЯ ХИМИЯ

Академик А. М. КУЛИЕВ, С. Б. БИЛАЛОВ, З. Э. АЛИЕВ, С. М. АГАЕВА

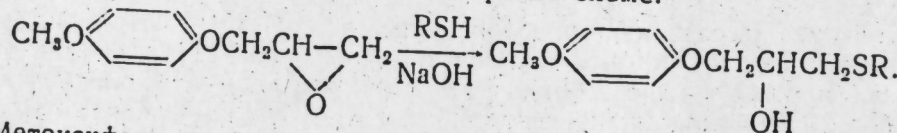
ВЗАИМОДЕЙСТВИЕ *n*-МЕТОКСИФЕНИЛОВОГО ЭФИРА ГЛИЦИДОЛА С МЕРКАПТАНАМИ

Серусодержащие органические соединения применяются в качестве присадок к топливам, маслам, а также к полимерным материалам [1—4].

Настоящее исследование посвящено синтезу ряда оксисульфидов с целью изучения возможности использования их в качестве присадок к топливам.

Известно, что размыкание оксиранового цикла тиолами в присутствии щелочи идет согласно правилу Красусского [5, 6].

Синтез оксисульфидов нами осуществлялся взаимодействием *n*-метоксифенилового эфира глицидола с различными меркаптанами в присутствии водного раствора едкого натра по схеме:



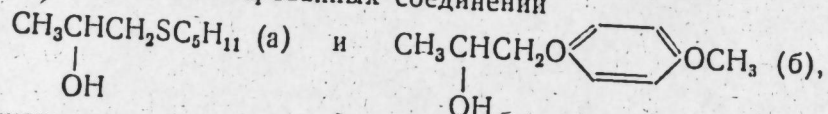
n-Метоксифениловый эфир глицидола получен нами по методике, описанной ранее [7].

В ИК-спектрах синтезированных оксисульфидов (I—IX), снятых на приборе UR-10 и ИК-14 с призмой NaCl, LiF, найдены частоты 825 cm^{-1} , характерные для 1,4 замещенного бензола (рис. 1) [8].

Характерная полоса поглощения в области частот 3440—3450 cm^{-1} соответствует наличию OH-группы [9].

При съемке ИК-спектров соединений (I—IX) в растворе CCl_4 ($C=0,005 \text{ M}$, $d=2 \text{ см}$, призма LiF) возникновение полос в областях 3513—3522 и 3585—3589 cm^{-1} обусловлено внутримолекулярной водородной связью типа OH...S и OH...O, в области 3627—3629 cm^{-1} — валентными колебаниями вторичной OH-группы, не участвующей в образовании водородной связи (рис. 1, пунктиром).

Правильность отнесения была подтверждена снятием ИК-спектров растворов двух синтезированных соединений



содержащих такие функциональные группы, которые имеют лишь один центр для образования H-связи.

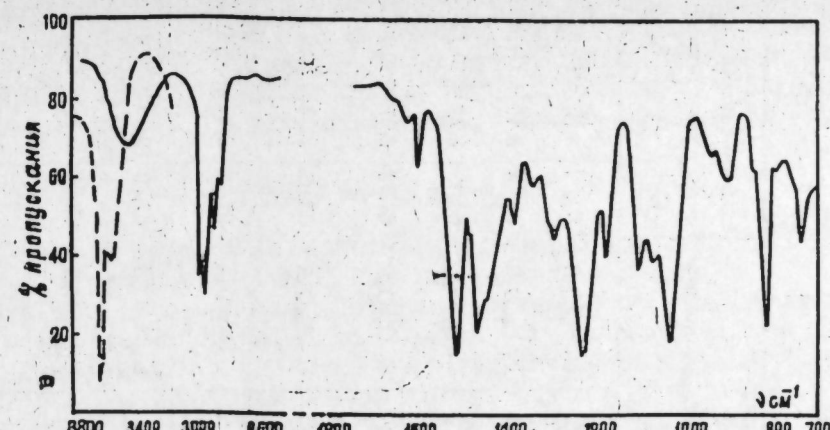
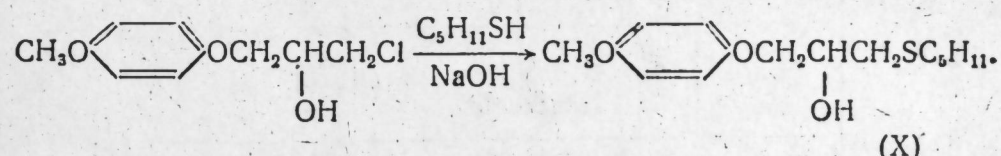


Рис. 1. ИК-спектры 1-амилтио-3-(*n*-метоксифенилокси)пропанола-2 и 1-амилтио-3-(*n*-метоксифенилокси)пропанола-2 в растворе CCl_4 (пунктиром) снятие на приборе UR-10.

Полосы около 3519 cm^{-1} в соединении (а) и около 3587 cm^{-1} в соединении (б) относятся к валентному колебанию связанный OH-группы, протон которой образует внутримолекулярную водородную связь с атомами серы и кислорода. Одновременно обнаруживается полоса поглощения в области 3627—3629 cm^{-1} , характеризующая свободную вторичную OH-группу.

Строение оксисульфидов (I—IX) было доказано встречным синтезом и данными ИК-спектроскопии на примере 1-амилтио-3-(*n*-метоксифенилокси)пропанола-2.

1-Амилтио-3-(*n*-метоксифенилокси)пропанол-2 (II), был получен взаимодействием 1-хлор-3-(*n*-метоксифенилокси)пропанола-2 с амилмеркаптаном в присутствии щелочи по следующей схеме:



Физико-химические свойства и ИК-спектры препаратов (II) и (X) оказались идентичными (рис. 2). Чистота полученных оксисульфидов

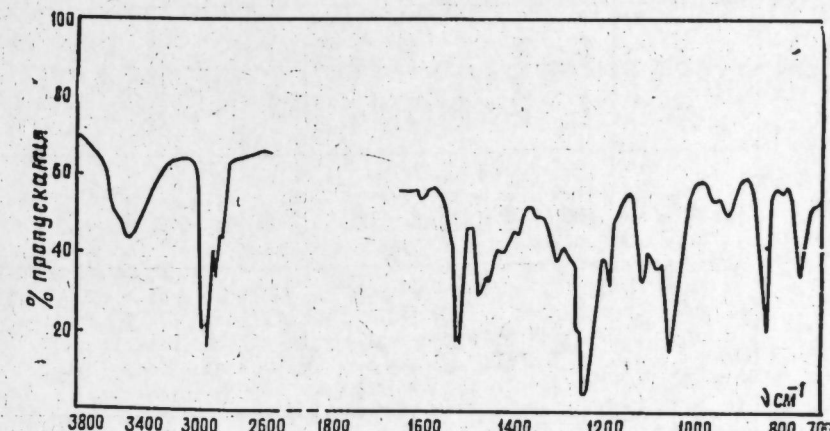


Рис. 2. ИК-спектр 1-амилтио-3-(*n*-метоксифенилокси)пропанола-2, полученного встречным синтезом (снят на приборе UR-10).

Физико-химические константы и элементарный состав 1-алкил- и 1-арилто-3-(*n*-метоксифенилокси)-2-пропанолов



№ н/п	R	Выход, %	Т _{кип.} (P м.м.) т. пл.	d ₄ ²⁰	n _D ²⁰	MR _D	Найдено, %			Формула	Вычислено, %		
							нали- дено	вычис- лено	С		C	H	S
I	C ₄ H ₉	92,5	172—173 (1,2)	1,1052	1,5370	76,29	61,92	62,08	8,29 8,38	C ₁₄ H ₂₂ O ₃ S	62,22	8,15	11,85
II	C ₅ H ₁₁	91,5	182—183 (0,8)	1,0838	1,5325	81,26	80,67	63,54 8,67	10,98 11,05	C ₁₅ H ₂₄ O ₃ S	63,38	8,45	11,26
III	C ₆ H ₁₃	87,2	194—196 (0,9)	1,0705	1,5280	85,71	85,29	64,14 64,27	8,79 8,93	C ₁₆ H ₂₆ O ₃ S	64,42	8,72	10,73
IV	C ₇ H ₁₅	86,5	203—205 (0,4); 39—39,5	—	—	—	—	65,03 65,60	9,49 9,23	C ₁₇ H ₂₈ O ₃ S	65,38	8,97	10,25
V	C ₈ H ₁₇	85,8	216—218 (1) 41—42	—	—	—	—	66,47 66,62	9,59 9,46	C ₁₈ H ₃₀ O ₃ S	66,25	9,20	9,81
VI	C ₉ H ₁₉	85,2	226—228 (0,9); 47—48	—	—	—	—	67,50 67,37	9,49 9,62	C ₁₉ H ₃₂ O ₃ S	67,05	9,41	9,41
VII	C ₁₀ H ₂₁	80,2	232—235 (0,7); 52—53	—	—	—	—	67,41 67,93	9,47 9,35	C ₂₀ H ₃₄ O ₃ S	67,79	9,60	9,04
VIII	C ₆ H ₆	86,2	210—212 (1,2)	1,1872	1,5955	83,05	82,89	66,53 66,44	6,49 6,37	C ₁₀ H ₁₆ O ₃ S	66,20	6,20	11,08
IX	C ₆ H ₆ —CH ₃	85,5	220—222 (0,7); 64—65	—	—	—	—	67,47 67,30	6,25 6,33	C ₁₁ H ₂₀ O ₃ S	67,10	6,57	10,52

подтверждена снятием газожидкостной хроматограммы на хроматографе "Цвет-4-67", температура колонки 200°C, размеры колонки 100 × 0,3 см. Стационарная фаза—5%-ный анион L и 5%-ная изофталевая кислота, газ-носитель—гелий, чистота—99,9%.

ЭКСПЕРИМЕНТАЛЬНАЯ ЧАСТЬ

1-Амилио-3-(*n*-метоксифенилокси)пропанол-2 (II). В колбу загружали 6,24 г (0,06 г·мол) амилмеркаптана и 2,4 г NaOH в виде 20%-ного водного раствора. Реакционную смесь охлаждали до комнатной температуры и прибавляли 9 г (0,05 г·мол) *n*-метоксифенилового эфира глицидола в 15 мл диоксана (разогрев до 45°). Продолжительность реакции при температуре 25—30° 1 ч, а при 70—75—2 ч. Охлажденную реакционную смесь промывали теплой водой, экстрагировали эфиром, сушили над Na₂SO₄. Затем отгоняли растворитель. После двукратной вакуумной перегонки выделено 13 г (91,5% от теории) 1-амилио-3-(*n*-метоксифенилокси)пропанола-2 (II). Аналогичным способом синтезировали оксисульфиды (I—IX).

Физико-химические свойства полученных соединений приведены в таблице.

Встречный синтез 1-амилио-3-(*n*-метоксифенилокси)пропанола-2. К 7,3 г (0,07 г·мол) амилмеркаптана при перемешивании добавляли 2,8 г 20%-ного водного раствора NaOH и после охлаждения до комнатной температуры по каплям приливали 15,2 г (0,07 г·мол) 1-хлор-3-(*n*-метоксифенилокси)пропанола-2 (разогрев до 55°C). Реакцию продолжали 2 ч при температуре 70°. После обычной обработки реакционной массы и вакуумной перегонки получили 17 г (85,3% от теории) 1-амилио-3-(*n*-метоксифенилокси)пропанола-2 (X). T_{кпп} 179—181° (0,8 мм), d₄²⁰ 1,0821, n_D²⁰ 1,5322, MR_D 81,35; выч. 80,75. Найд., %: C 63,11, 63,49; H 8,13, 8,27; S 11,59, 11,43. C₁₅H₂₄O₃S. Выч., %: C 63,38; H 8,45; S 11,26.

Выводы

1. Синтезировано и охарактеризовано 19 новых, ранее не описанных в литературе оксисульфидов.

2. Установлено, что меркаптаны присоединяются к *n*-метоксифениловому эфиру глицидола в присутствии водного раствора едкого натра по правилу Красусского.

3. В синтезированных соединениях доказано наличие внутримолекулярной связи типа OH...S и OH...O.

ЛИТЕРАТУРА

- Пат. США 3 102 798, 3 09.1963; РЖХим 12П206П, 1965.
- Исагулинц В. И., Фаворская Н. А. Присадки к маслам и топливам, 94, 1961.
- Чертов Я. Б., Большаков Г. Ф., Гулин Е. И. Топлива для реактивных двигателей. Недра, 1964.
- Пат. США 3 240 705, 15 03.1966; РЖХим 17П232П, 1967.
- Зайцева Г. И., Альбикская В. М. ЖОРХ, 7, 1151, 1968; ЖОРХ, 11, 1910, 1968; ЖОРХ, 4, 612, 1969.
- Атавин А. С., Шостаковский М. Ф., Вяльых Е. П., Трофимов Б. А., Калабин Г. А. ЖОХ, 10, 2289, 1969.
- Билалов С. Б., Алиев З. Э., Агаева С. М., Ибрагимов Н. Ю. ЖОРХ, № 4, 1971.
- Наканиси К. Инфракрасные спектры и строение органич. соединений. ИЛ, 1965.
- Атавин А. С., Трофимов Б. А., Вяльых Е. П., Голованова Н. И. ЖОРХ, 5, 842, 1969.

Э. М. Гулиев, С. Б. Билалов, З. Е. Элиев, С. М. Агаева

Глидсидолун *n*-метоксифенилефириинин меркаптанлары тә'сири

ХУЛАСЭ

Әдәбијатда мә'лум олмаған 9 йени оксисулфид синтез вә характе-
ризә едилмишdir.

Мүәҗжән олунмушdur ки, меркаптанлар глидсидолун *n*-метоксифе-
нил ефиринә натриум гәләвисинин суда мәһлүлүнүн иштиракы илә
Красуски гајдасы илә бирләшир.

Синтез едилмиш бирләшмәләрдә OH илә S вә OH-ла O арасындакы
дахили һидрокен әлагәси сүбүт едилмишdir.

АЗЭРБАЙЧАН ССР ЕЛМЛӘР АКАДЕМИЈАСЫНЫН МӘ'РҮЗӘЛӘРИ

ДОКЛАДЫ АКАДЕМИИ НАУК АЗЕРБАЙДЖАНСКОЙ ССР

ТОМ XXVII

№ 5

1971

УДК 543. 70 : 546, 24

АНАЛИТИЧЕСКАЯ ХИМИЯ

И. К. ГУСЕЙНОВ, И. Л. БАГБАНЛЫ, С. И. БАГБАНЛЫ,
Н. Х. РУСТАМОВ

ЯНУС ЗЕЛЕНЫЙ КАК РЕАГЕНТ ДЛЯ ЭКСТРАКЦИОННО-
ФОТОМЕТРИЧЕСКОГО ОПРЕДЕЛЕНИЯ ТЕЛЛУРА

(Представлено академиком АН Азербайджанской ССР Г. Б. Шахтахтинским)

Наиболее распространенные методы фотометрического определения теллура основаны на образовании окрашенных золей. В щелочной среде четырехвалентный теллур сильно поглощает в ультрафиолетовой области спектра, на основании чего разработан спектрофотометрический метод его определения [1].

Для определения следовых количеств редких элементов широко применяются основные органические красители, обладающие наряду с чувствительностью также достаточной избирательностью. А. И. Бусевым, Н. Л. Бабенко [2] изучено взаимодействие хлоридных и бромидных комплексов теллура с производными пиразолона. Образующиеся соединения количественно экстрагируются дихлорэтаном, окрашивая последний в желтый цвет.

А. И. Иванковой, И. А. Блюм для экстракционно-фотометрического определения микрограммовых количеств теллура предложены ксантоценовые красители [3].

Наши исследования показали, что бромидный комплекс теллура, взаимодействуя с основным красителем—янусом зеленым, образует окрашенное в сине-голубой цвет комплексное соединение, экстрагирующееся смесью бензола с ацетоном (1 : 2). В настоящей работе рассматриваются некоторые результаты изучения взаимодействия теллура (IV) с основным красителем—янусом зеленым.

Светопоглощение бензольно-ацетонного экстракта янусового соединения теллура измерялось на спектрофотометре СФ-4А. Максимальное светопоглощение экстракта теллура с янусом зеленым наблюдается при $\lambda=652 \text{ нм}$, бензольно-ацетонного раствора хлоридной соли януса зеленого—при $\lambda=658 \text{ нм}$, а его водного раствора — при $\lambda=597,2 \text{ нм}$. Таким образом, максимум светопоглощения бензольно-ацетонного экстракта комплексного соединения теллура и януса зеленого близки между собой (рис. 1).

Изучение условий комплексообразования теллура с янусом зеленым в среде бромистоводородной кислоты показывает, что максималь-

ное извлечение бромтеллуратянусового комплекса протекает при 1,4 μ концентрации HBr (экстрагентом служила смесь бензола с ацетоном 1:2). С увеличением концентрации кислоты интенсивность окраски экстракта уменьшается. При объеме органической фазы 6 мл и водной—5 мл, содержащей 5—35 мкг теллура, последний извлекается удовлетворительно. Окраска бензольно-ацетонного экстракта устойчива в течение 1 ч. 0,5 мл 0,6%-ного водного раствора януса зеленого достаточно для связывания 35 мкг теллура в комплекс.

Соотношение компонентов в составе бромидно-янусового комплексного соединения теллура установлено методами сдвига равновесия и прямой линии Асмусса [4]. Готовили серию растворов, в которых содержание теллура оставалось постоянным, равным $3,9 \cdot 10^{-4}$ м/л, а концентрацию януса зеленого варьировали в широких пределах. Объем водной фазы составлял 5 мл. Полученное окрашенное соединение теллура экстрагировали 6 мл смеси бензола с ацетоном (1:2) и измеряли оптическую плотность экстрактов на спектрофотометре СФ-4А по отношению к холостому опыту. Кривые, построенные на основании полученных данных, представлены на рис. 2, из которого видно,

что оптическая плотность экстрактов на спектрофотометре СФ-4А по отношению к холостому опыту. Кривые, построенные на основании полученных данных, представлены на рис. 2, из которого видно,

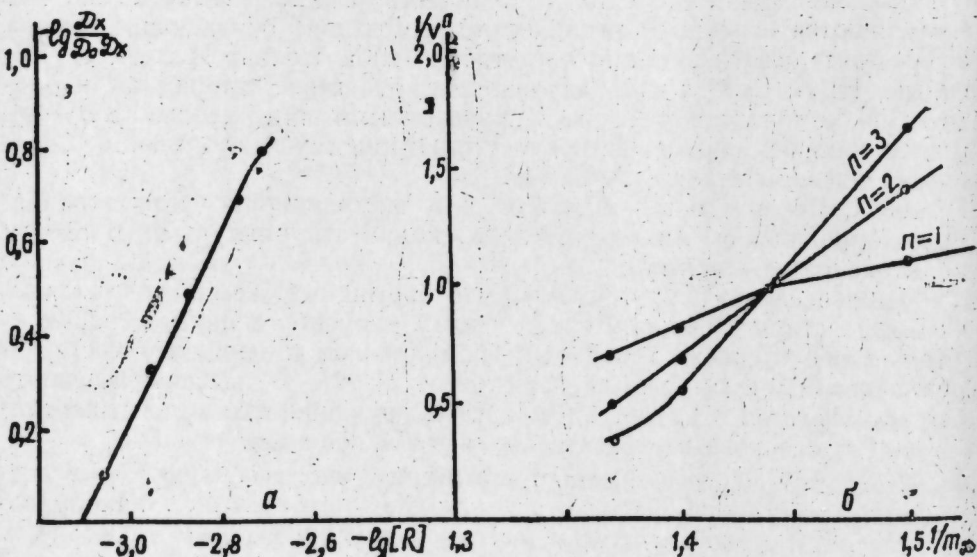
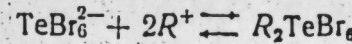


Рис. 1. Светопоглощение бензольно-ацетонного (1:2) экстракта соединения теллура (1) и януса зеленого (2).

что соотношение теллура и януса зеленого в составе комплекса равно 1:2.

Реакцию образования и экстрагирования янусового комплексного соединения теллура можно представить уравнением реакции:



водной фаза органическая фаза.

где R^+ —катион основного красителя—януса зеленого.

Применив закон действия масс к указанному равновесию, получим

$$K_{\text{ex}} = \frac{[R_2\text{TeBr}_6]}{[\text{TeBr}_6^{2-}][R^+]^2} \quad (1)$$

При логарифмировании уравнения (1), получим:

$$\lg K_{\text{ex}} = \lg \frac{D}{D_0 - D} - 2\lg [R], \text{ по которому была}$$

вычислена константа экстракции. Данные для вычисления $\lg K_{\text{ex}}$ приведены в табл. 1.

Таблица 1

Данные для вычисления $\lg K_{\text{ex}} (D_0 = 0,208)$

№ пп	Взято Te, M·0	D	$\lg \frac{D}{D_0 - D}$	$-\lg [R]$	$\lg K_{\text{ex}}$
1	2,34	0,123	0,160	-3,05	6,76
2	2,34	0,142	0,333	-2,95	6,24
3	2,34	0,162	0,547	-2,87	6,298
4	2,34	0,18	0,808	-2,75	6,31
5	2,34	0,169	1,345	-2,65	6,65

Ср. 6,45

Вычислены некоторые физико-химические константы комплекса. Молярный коэффициент погашения и константа образования определены по [4]. Молярный коэффициент погашения ϵ_k , вычисленный

по формуле $\epsilon_k = \frac{1}{l} \left[\frac{D'' [(C''_R)^n - (C'_R)^n]}{C_m [(C''_R)^n - \frac{D''}{D'} (C'_R)^n]} \right]$, равен $1,2 \cdot 10^4$.

Константа образования β_k комплекса, вычисленная по формуле,

$$\beta_k = \frac{C_k}{(C_m - C_k) C_R^n}, \text{ равна } 3,05 \cdot 10^7.$$

На основе данной реакции разработан экстракционно-фотометрический метод определения микрограммовых количеств теллура.

Для построения калибровочного графика в чистые сухие пробирки берут стандартный раствор, содержащий 5—35 мкг теллура, добавляют в каждую пробирку по 1 мл~8 м HBr, 0,5 мл 0,6%-ного водного раствора януса зеленого и объем доводят дистиллированной водой до 5 мл. Затем добавляют 6 мл смеси бензола с ацетоном (1:2), встраивают в течение 15 сек и переносят в делительную воронку. После расслаивания органическую фазу отделяют от водной и, используя кювету толщиной поглащающего слоя 0,3 см, измеряют оптическую плотность экстрактов на фотоколориметре ФЭК-56 при длине волны $\lambda=610$ нм, применяя экстракт холостого опыта в качестве

раствора сравнения. Калибровочный график представлен на рис. 3. Предложенным методом теллур был определен в растворе чистых солей, результаты которых приведены в табл. 2.

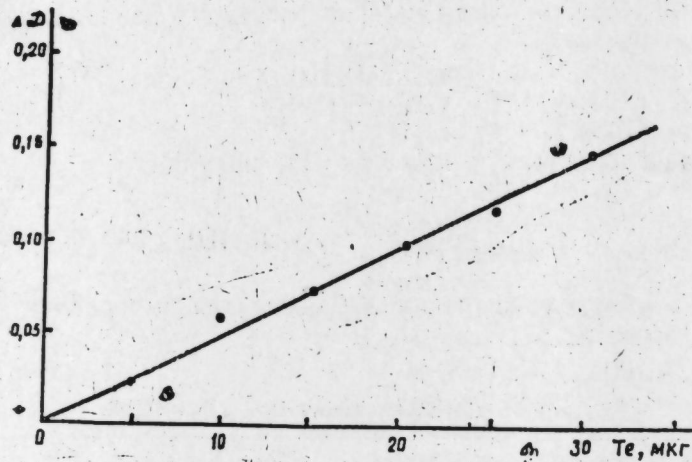


Рис. 3. Калибровочный график для определения теллура с янусом зеленым.

Таблица а2

Определение теллура в растворе чистых солей ($n = 3$; $a = 0.95$)

№ пп	Взято, Te, мкг	Найдено Te, мкг	S^2	S_x	$S_{\bar{x}}$	$\epsilon_{0,95}$	$\epsilon_{0,95} \cdot 100$	
							a	
1	5,0	4,8; 4,9; 5,2	0,03	0,173	0,10	0,318		6,36
2	10,0	10,3; 10,3; 10,2	0,0086	0,093	0,054	0,171		1,71
3	12,6	12,8; 12,6; 13,0	0,04	0,2	0,114	0,362		2,9
4	15,0	14,7; 15,0; 15,0	0,03	0,173	0,10	0,318		2,1
5	20,0	20,5; 20,5; 20,0	0,115	0,34	0,195	0,62		3,1
6	25,0	24,5; 25,0; 25,2	0,13	0,365	0,207	0,658		2,63
7	37,8	28,2; 27,5; 28,0	0,13	0,365	0,207	0,658		2,3
8	30,0	30,4; 30,2; 30,2	0,0186	0,136	0,078	0,248		0,83
9	35,0	34,6; 34,5; 35,0	0,07	0,264	0,15	0,477		1,36

Выводы

1. Установлено, что при определенных условиях TeBr_6^{2-} с янусом зеленым образует окрашенное в сине-голубой цвет комплексное соединение, экстрагирующееся смесью бензола с ацетоном (1 : 2).
 2. Молярное соотношение TeBr_6^{2-} и красителя в составе комплексного соединения, определенное методами сдвига равновесия и прямой линии Асмуса, равно 1 : 2.
 3. Молярный коэффициент погашения комплекса $\epsilon_k = 1,2 \cdot 10^4$, константа экстракции $\lg K_{\text{ex}} = 6,45$ и условная константа образования $\beta_k = 3,05 \cdot 10^7$.
 4. Разработан экстракционно-фотометрический метод определения теллура; в пределах 5–35 мкг теллура в объеме 5 мл водной фазы окраска экстракта подчиняется закону колориметрии.

ЛИТЕРАТУРА

1. Колориметрические (фотометрические) методы определения металлов. ИЛ, 1965, стр. 368. 2. Бусев А. И., Бабенко Н. Л.: Ж. аналит. хим., 8, 1963. 3. Иванкова А. И., Блюм И. А. Зав. лаб., 4, 1961. 4. Бабко А. К. Физико-химический анализ комплексных соединений в растворах. Киев, Изд. АН УССР, 1955. 5. Astmz E. Leit. Analyt Chemie, 178, 2, 104, 1960.

Институт неорганической и физической химии

Поступило 2. II 1970

И. Г. Һүсейнов, И. Л. Бағбанлы, С. И. Бағбанлы, Н. Х. Рустэмов

Теллурин экстраксијалы фотометрик тә'јининде јанус јашылынын тәтбиғи

ХУЛАСЭ

Һексабромтеллурат иону— TeBr_6^{2-} мүәјжән шәраитдә һанус җашылы әсаси бојасы илә рәңкли комплекс бирләшмә әмәлә кәтирир. Комплекс бирләшмә ацетон—бензол 2:1 гарышығында һәлл олараг екstractы көймүтүл—абы рәңкә бојаýыр ки, бу да теллуру фотометрик тә'жин етмәjә имкан верир.

Комплексин тәркибдә TeBr_6^{2-} -нин јануса нисбәти 1:2 кимидир. Комплекс бирләшмәнин молјар удма әмсалы $E_k = 1,2 \cdot 10^4$, әмәләкәлмә сабити $\beta_k = 3,05 \cdot 10^7$, екстраксија сабити $\lg K_{\text{ex}} = 6,45$ -дир. Теллурин гатылығы 5–35 $\mu\text{г}/5 \text{ мл}$ -и тәшкил етдиңдә екстрактын рәнки колориметрик гануна табе олур.

ТЕХНОЛОГИЯ
НЕОРГАНИЧЕСКИХ ВЕЩЕСТВ

Академик Р. Г. ИСМАЙЛОВ, Я. И. РУСТАМОВ, Р. А. СУЛТАНОВ,
К. П. РАЙГОРОДЕЦКИЙ, В. И. ЦЫПКИНА

КОНДИЦИОНИРОВАНИЕ ГРАНУЛИРОВАННОГО
СУПЕРФОСФАТА ПУТЕМ ОТДУВКИ ФТОРА
ВОЗДУХОМ

Получаемые в настоящее время из апатитового концентрата суперфосфаты содержат 1,0–1,5% вес. примеси в виде различных фтористых соединений (1).

В работах [1, 2] указывается, что степень выделения фтора при камерном разложении фосфатного сырья составляет 35–42% от общего содержания его в природном фосфате, а остальная часть (58–65%) переходит в товарный продукт как в виде неразложившегося фторапатита, так и четырехфтористого кремния и кремнефтористоводородной кислоты. Последняя при действии температуры подвергается процессу расщепления по нижеследующей реакции на фтористый водород и четырехфтористый кремний (!) с последующей отдувкой их



Исследование показало, что в процессе сушки гранул суперфосфата лишь часть фтора отдувается с горячими дымовыми газами, так как образовавшиеся фторсодержащие газы по реакции (1), адсорбируясь в микропорах гранул, главным образом препятствуют протеканию процесса их отдувки. Следовательно, основная часть активного фтора остается в составе сухого продукта, и при загрузке его в крафт-мешки последние подвергаются разрушению под действием выделяющегося фтора [3].

С целью обеспечения сохранности тары кондиционирование гранулированного суперфосфата предусматривает следующие операции—охлаждение продукта, омасливание его и нанесение на омасленную поверхность опудривающего компонента для связывания выделяющегося фтора [3].

Следует отметить, что вышеуказанный процесс является весьма трудоемким и малоэффективным, а стало быть разработка нового способа кондиционирования гранулированного суперфосфата является одной из важнейших задач производства и представляет неоспоримый практический и теоретический интерес.

В связи с этим нами разработан эффективный метод кондиционирования гранулированного суперфосфата путем отдувки химически активного фтора горячим воздухом и показана принципиальная возможность определения отдуваемого фтора в товарном суперфосфате.

Сущность разработанной методологии сводится к следующему.

Согласно рис. 1 после определения содержания общего количества фтора* в исходном суперфосфате определенное количество его загружается в стеклянный аппарат (2), где подачей воздуха через ротаметр (1), производится отдувка фтора в "кипящем" слое при 150–160°C.

Полученные при этом результаты приведены в табл. 1.

В целях проверки надежности полученных результатов было определено содержание фтора также и в отходящих газах. Эти результаты для пробы № 1 приведены в табл. 2.

Из анализа данных табл. 1 и 2 следует, что обработка гранулированного суперфосфата горячим воздухом является эффективным методом отдувки активного фтора, причем разработанная нами методология для определения максимально возможного от

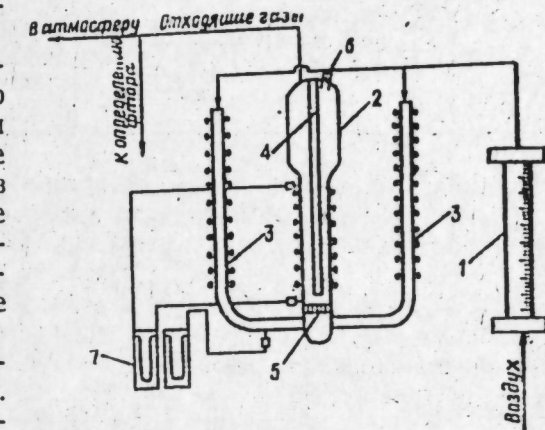


Рис. 1. Схема установки процесса отдувки фтора из гранулированного суперфосфата в «кипящем» слое.

1—ротаметр; 2—аппарат для отдувки фтора; 3—воздухонагреватели; 4—трубка для термопары; 5—воздухораспределительная решетка; 6—воронка для загрузки материала; 7—U-образные дифманометры для замера перепада давлений.

Таблица 1

№ пробы	Показатели до обработки				Показатели после обработки				Степень отдувки, %	
	Содержание влаги, % вес.	Содержание усвояемого P ₂ O ₅ , % вес.	Общее содержание фтора в товарном продукте, % вес.	Общее содержание фтора в пересчете на сухое вещество, % вес.	Содержание влаги, % вес.	Содержание усвояемого P ₂ O ₅ , % вес.	Общее содержание фтора в товарном продукте, % вес.	Общее содержание фтора в пересчете на сухое вещество, % вес.		
1	2,50	19,60	1,26	1,29	1,08	19,65	0,68	0,69	0,60	46,5
2	2,65	19,50	1,19	1,22	1,15	19,60	0,62	0,63	0,59	48,4
3	2,40	19,80	1,18	1,21	1,12	19,84	0,59	0,60	0,61	50,0
Средняя величина	2,52	19,65	1,21	1,24	1,12	19,72	0,63	0,64	0,60	48,4

* Определение производилось по методике, описанной в работе [6].

дуемого количества его с успехом может быть применена в условиях, близких к промышленным.

Таблица 2

Вес пробы, г	Количество отдуваемого фтора*, г	Результаты анализа отходящих газов			
		Время отбора пробы (средний) газа, мин	Количество подаваемого воздуха, м ³	Содержание фтора в отходящих газах г/м ³	Количество фтора, уходящего с отходящими газами, г
400,0	2,40	0—10	1,70	0,65	1,10
		10—20	1,75	0,41	0,72
		20—30	1,80	0,28	0,50
		30—40	1,90	Следы	—
		40—50	1,60	Отсутствует	—
		50—60	2,00	Отсутствует	—
Итого	400,0	2,40	—	—	2,32

* Вычислено согласно табл. 1.

Учитывая то обстоятельство, что отдувка активного фтора из гранулированного суперфосфата производится в условиях "кипящего" слоя, определение газодинамической характеристики изучаемого процесса является весьма важной задачей и представляет определенный интерес с точки зрения технологии.

В связи с этим нами подробно изучена газодинамическая характеристика указанного процесса при $\frac{H}{D} = 2,5$ и определен гранулометрический состав исходного материала, приведенного в табл. 3.

Таблица 3

Фракции материала по размерам гранул, мм	Содержание фракции, % вес.	Примечание
0—1	0,8	
1—2	21,0	Насыпной вес исходного материала $C_0=1010 \text{ кг}/\text{м}^3$
2—4	74,0	
4—10	4,2	Средняя концентрация материала в "кипящем" слое $C_{ck}=810,0 \text{ кг}/\text{м}^3$
Итого:	100,0	

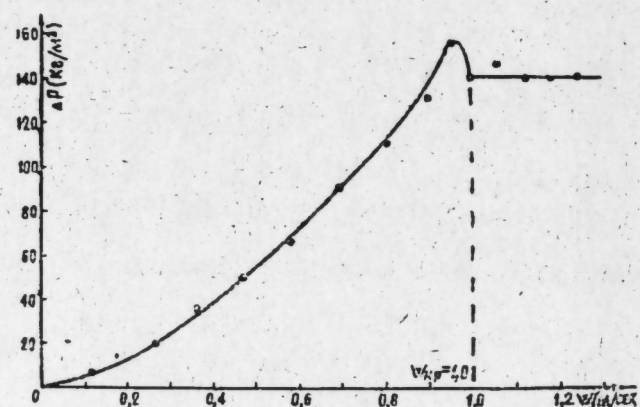


Рис. 2. Изменение сопротивления в зависимости от линейной скорости воздуха и свободном сечении аппарата.

Из анализа экспериментальных данных, полученных при изучении газодинамической характеристики процесса (рис. 2) следует, что критическая скорость "кипения" соответствует $W_{kp} = 1,0 \text{ м/сек}$, причем дальнейшее увеличение скорости газового потока, как видно из рис. 2, не приводит к изменению сопротивления слоя ΔP . Последнее обстоятельство, как известно, является характерной чертой "кипящего" слоя [5].

Выводы

1. Разработан эффективный способ кондиционирования гранулированного суперфосфата путем отдувки активного фтора горячим воздухом и предложена методология для определения максимально возможного отдуваемого количества фтора.
 2. Изучена газодинамическая характеристика „кипящего“ слоя гранулированного суперфосфата и установлено, что критическая скорость „кипения“ соответствует $W_{kp} = 1,0 \text{ м/сек.}$

ЛИТЕРАТУРА

1. Бруцкус Е. Б., Южная Е. В. Суперфосфат. Изд. „Химия“, М., 1969. 2. Чапелевецкий М. Л., Бруцкус Е. Б. Суперфосфат. Физико-химические основы производства. Госхимиздат, 1958. 3. Производство фосфорных и комплексных удобрений. НИУИФ, вып. 2, 1967. 4. Касаткин А. Г. Основные процессы и аппараты химической технологии. Госхимиздат, 1961. 5. Алиев В. С., Рустамов М. И. Пряников Е. И. Современное состояние и пути интенсификации процесса катализического крекинга. Азгисиздат, стр. 33, Баку, 1966. 6. Кельман Ф. Н., Бруцкус Е. Б., Ошерович Р. Х. Методы анализа при контроле производства серных и фосфорных удобрений. Госхимиздат, 1963.

ИНХП

Поступило 6. IV 1970

Р. Н. Исмаилов, Ж. И. Рустэмов, Р. А. Султанов, К. П. Рајгородески,
В. И. Сылкина

хава васитәсилә флору говмагла дәнәвәр супер-
фосфаты кондисијәе кәтирумәк

ХҮЛАСЭ

Мәгаләдә исти һава васитәсилә „гајнар“ лајда дәнәвәр суперфосфатда актив шәкилдә олан флорлу бирләшмәләри говмагдан вә максимал говула билән флорун мигдарыны тә'жин етмәк үсуулундан бәһс олуңур.

Тәрүбәләrin тәһлили көстәрир ки, актив флору говмагла дәнәвәр суперфосфаты кондисијә кәтирмәк мүмкүндүр. Бурада дәнәвәр суперфосфатын „гајнар“ лајынын газодинамик хүсусијәтләри дә өјрәнилмишdir.

Академик С. Д. МЕХТИЕВ, Т. М. КУРБАНОВ, Э. Т. СУЛЕЙМАНОВА,
С. М. Р. МУСАЕВ

ПОЛУЧЕНИЕ β -ОКСИПРОПИОФЕНОНА КОНДЕНСАЦИЕЙ АЦЕТОФЕНОНА С ФОРМАЛЬДЕГИДОМ

β -оксипропиофенон является ценным промежуточным соединением органического синтеза и может быть использован, в частности, для производства на его основе коричного спирта и его производных, фенилвинилкетона и т. д. Основным препятствием на пути широкого применения является отсутствие эффективного метода его получения.

Одним из таких методов может быть конденсация ацетофенона с формальдегидом.

Однако имеющиеся в мировой литературе работы по конденсации ацетофенона с формальдегидом описывают протекание указанной реакции в щелочной среде — в присутствии едких щелочей или карбонатов щелочных металлов с образованием сложной смеси продуктов конденсации — ди- и trimетилольных производных ацетофенона, диметоксибензопропанов и др. [1—4], а также соответствующего 1,5-дикетона [5].

Что касается монометилольного производного ацетофенона β -оксипропиофенона, то в литературе отсутствует описание эффективного и доступного способа его получения.

Лишь в [4] описано получение β -оксипропиофенона конденсацией 3M ацетофенона с 10M формальдегида и 5M параформа в присутствии серной кислоты при температуре 90°C и продолжительности опыта 7 ч с выходом 25%.

Авторы [4] наблюдали образование β -оксипропиофенона в смеси с другими сложными продуктами конденсации при взаимодействии ацетофенона с формальдегидом в присутствии карбоната калия.

В японских патентах [6] описано получение β -оксипропиофенона diazotированием 5-амино-6-фенил-диоксана-1,3 с последующим превращением его в коричный спирт.

Однако из-за низких выходов целевого продукта и трудности выделения его из сложной смеси продуктов реакции описанные методы могут иметь лишь препартическое значение и не пригодны для широкого использования в производстве β -оксипропиофенона.

Нами разработан способ получения β -оксипропиофенона конденсацией ацетофенона с формальдегидом с применением в качестве

катализатора ортофосфорной кислоты в среде уксусной кислоты с выходом целевого продукта до 50—60% от теор. [7].

Широкие перспективы применения β -оксипропиофенона, наличие больших ресурсов исходного сырья — ацетофенона и формальдегида, одностадийность и избирательность, простота технологического оформления являются вескими предпосылками для осуществления производства β -оксипропиофенона указанным способом в крупном масштабе.

ЭКСПЕРИМЕНТАЛЬНАЯ ЧАСТЬ

Смесь реагирующих веществ — ацетофенона и формальдегида, а также растворителя — уксусной кислоты и катализатора ортофосфорной кислоты ($d_4^{15}=1,8$) в определенном соотношении перемешивали в трехгорлой колбе, снабженной термометром, механической мешалкой и обратным холодильником при температуре опыта. По окончании опыта реакционную смесь, охлажденную до комнатной температуры, выливали в делительную воронку с ледяной водой, органические компоненты смеси экстрагировали бензолом. Бензольный экстракт, промытый водой до нейтральной реакции и высушенный сульфатом натрия, подвергали разгонке сперва атмосферной, с отгонкой растворителя — бензола, затем вакуумной с выделением целевого продукта реакции.

В результате ряда проведенных опытов изучено влияние различных параметров (молярного соотношения реагирующих компонентов, количества катализатора, температуры и продолжительности опыта) на выход целевого продукта реакции. Максимальный выход β -оксипропиофенона достигнут при взаимодействии 30 г ацетофенона и 15 г параформа в присутствии 27 г ортофосфорной кислоты и 30 мл уксусной кислоты при температуре 100°C в течение 4 ч.

Разгонкой обработанного вышеуказанным способом продукта реакции выделено 9,2 г непрореагированного ацетофенона, 23,4 г (61,8% от теоретического на взятый и 75% на прореагировавший ацетофенон) β -оксипропиофенона. Повторно перегнанный β -оксипропиофенон обладал следующими физико-химическими свойствами: темп. кип. 150—152°/3 мм, $d_4^{20}=1,1520$, $n_D^{20}=1,5450$, молекулярный вес — 157,03 (выч. 150), $M_{RD}=41,17$ (выч. 41,72), содержание C (%) — 71,40 (выч. 72,0), H (%) — 6,64 (выч. 6,66), O(%) — 21,96 (выч. 21,34).

Спектрофотометрическое исследование синтезированного соединения на ИКС-22 подтверждает наличие в молекуле его монозамещенного бензольного кольца (частоты 1608, 1580, 1456, 690 cm^{-1}); карбонильной группы ароматического кетона (1680, 1275 cm^{-1}) и первичной гидроксильной группы (3580 и 1030 cm^{-1}) [8].

Выводы

Разработан способ получения β -оксипропиофенона конденсацией ацетофенона с формальдегидом с применением в качестве катализатора ортофосфорной кислоты в среде уксусной кислоты и установлены оптимальные условия синтеза его предложенным способом с выходом 61,8% от теоретического на взятый и 75,3% на прореагировавший ацетофенон.

ЛИТЕРАТУРА

- Marie V., Tollens B. Ber., 36, 1351 1903.
- Schöfer, Tollens B. Ber., 39, 2181, 1906.
- Fuson R. C. Ross W. E. Mc. Keever C. H. J. am. chem. Soc., 60, 2935, 1938.
- Rec. trav. chim., 74, № 8—9, 1085—1099, 1955, 76, № 3, 213—220, 1957.

5. Тиличенко М. Н. Жур. общей химии, 25, № 13, 2503—2509, 1955. 6. Японские патенты кл. 16C53, № 17 716 от 29.9 1961, № 19261 от 13.01 1961 г. 7. Мехтиев С. Д., Курбанов Т. М., Мусаев М. Р., Сулейманова Э. Т. Авт. свид. СССР, по заявке № 1430155 от 23.4 1970. 8. Наканиси К. Инфракрасные спектры и строение органических соединений. Изд. «Мир», 1965.

Институт нефтехимических процессов

Поступило 17. XI 1970

С. Ч. Меңдиев, Т. М. Гурбанов, Е. Т. Сүлејманова, М. Р. Мусаев

β-Оксипропиофенонун асетоферонун формалдеиндә конденсләшмәсендән алынмасы

ХУЛАСӘ

Мәгаләдә үзви синтез үчүн гијмәтли хаммал олан β-оксипропиофенонун алынмасындан өтрут еффектив үсул тапмаг мәгсәди илә апарылыш тәдгигаттарын нәтичәси верилмишdir.

Мүәллән едилмишdir ки, асетоферонун формалдеиндә 1:2 нисбәттән ортофосфат туршусу иштиракы илә сиркә туршусу мүһиттәндә 100° температурда 4 saat әрзиндә конденсләшмәси нәтичәсindә реакция кирмиш асетоферона көрә 75,3% чыхымла β-оксипропиофенон алмаг мүмкүндүр.

АЗЭРБАЙЧАН ССР ЕЛМЛӘР АКАДЕМИЯСЫНЫН МӘРҮЗӘЛӘРИ

ДОКЛАДЫ АКАДЕМИИ НАУК АЗЕРБАЙДЖАНСКОЙ ССР

ТОМ XXVII

№ 5

1971

УДК 549.761.34 : 553.689.2

ГЕОЛОГИЯ

П. С. ГАВРИЛЮК, А. Д. КЕРИМОВ, А. А. МАГРИБИ

**ОСОБЕННОСТИ ХИМИЗМА БАРИТА
БАШКИШЛАГСКОГО МЕСТОРОЖДЕНИЯ (МАЛЫЙ КАВКАЗ)**

(Представлено академиком АН Азербайджанской ССР Ш. А. Азизбековым)

Изучение химического состава барита и установление определенных закономерностей в изменении его химизма по простиранию, вкrest простирания и особенно на глубину баритовых жил является одним из важных факторов в оценке промышленных перспектив баритовых месторождений. Однако этому важному вопросу до сего времени не уделялось должного внимания. Химизм барита в отличие от других жильных минералов (кварц, кальцит, флюорит и др.) гидротермального генезиса изучен очень слабо.

Вопросы химизма барита месторождений Азербайджана рассматривались с различной степенью детальности в работах Г. Х. Эфендиева [11, 12], Г. И. Керимова [2, 3], А. Д. Керимова [5], Г. И. Керимова и Г. Х. Эфендиева [4].

Указанными работами ограничиваются сведения о химическом составе барита. Обобщающие данные по химизму баритовых руд Башкишлагского месторождения в свете новых представлений, полученных в результате разведки месторождения в последние годы, отсутствуют. В связи с этим мы сочли необходимым направить наши исследования на выяснение поведения барита и постоянно сопутствующих ему примесей (SiO_2 , CaO , Fe_2O_3) как по простиранию, так и вкrest простирания и по падению жил для оценки качества руд Башкишлагского месторождения—основной базы баритового сырья в Азербайджане.

С этой целью мы произвели обобщение всех произведенных (за незначительным исключением) химических анализов барита. Всего мы располагаем результатами 732 анализов на BaSO_4 , 396— SiO_2 , 215— CaO , 184— Fe_2O_3 . Кроме этого, произведено 36 полных спектральных анализов барита по определению в нем элементов-примесей. Результаты всех анализов обработаны с применением соответствующих статистических и графических методов и сведены в вариационную диаграмму, таблицу и графики, составленные как по отдельным жилам, так и по месторождению в целом.

На вариационной диаграмме (рис. 1), составленной по данным всего указанного количества анализов и характеризующей изменение содержания в барите основных компонентов (BaSO_4 , SiO_2 , CaO , Fe_2O_3)

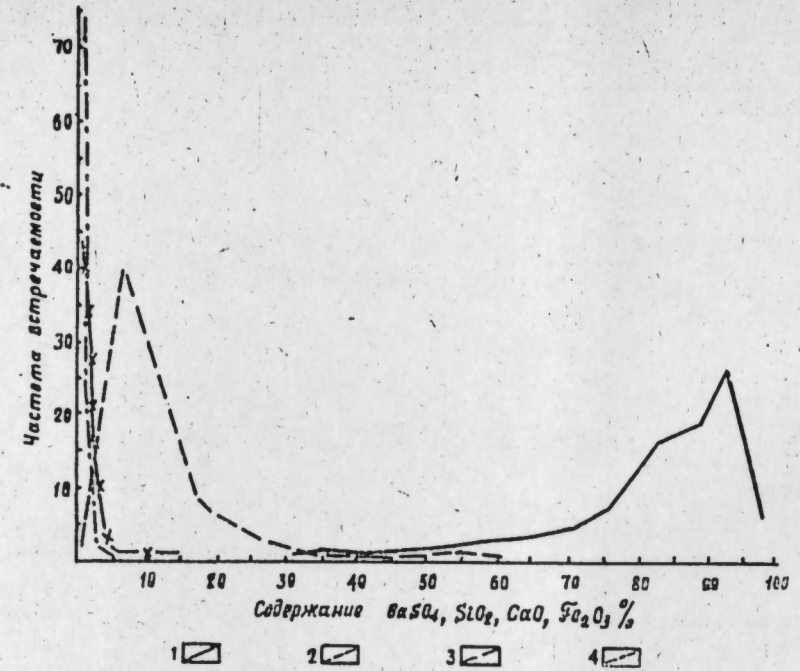


Рис. 1. Вариационная диаграмма барита: 1— BaSO_4 ; 2— SiO_2 ; 3— CaO ; 4— Fe_2O_3 .

по месторождению, видно, что они образуют два резко разграниченных участка, один из которых примыкает непосредственно к начальной ординате (0–20%) и содержит почти все количество анализов SiO_2 , CaO и Fe_2O_3 , а второй, образуемый основной массой анализов BaSO_4 , примыкает к правой стороне диаграммы. Кривая BaSO_4 показывает, что содержание его варьирует от 32–35 до 97%, а падающее количество анализов приходится на отрезок кривой, ограниченной ординатами со значением BaSO_4 около 80–95%.

Кривая кремнезема показывает, что максимальное содержание его достигает в единичных случаях 60–61%, а минимальное—менее 1%. Основная масса анализов образует один узел с содержанием SiO_2 от 1 до 20%. Содержание CaO в барите колеблется от 0 до 5–6%, редко до 10–15%. Основное количество анализов (42%) показывает содержание от 0 до 5%. Окись железа в барите не превышает 5,5%, немало анализов, где содержание ее опускается до сотых долей процента и даже до нуля.

Из характера поведения вариационных кривых следует, что количественные соотношения BaSO_4 , с одной стороны, SiO_2 , CaO и Fe_2O_3 , с другой, находятся в обратной пропорциональной зависимости.

Средние содержания основных компонентов в баритовой руде по отдельным жилам и месторождению в целом характеризуются таблицей.

Изменение химического состава по простиранию жил показано на графике (рис. 2), составленном по жилам с наибольшей разведанной протяженностью (2, 18, 45, 47) на наиболее глубоких разведенных горизонтах. Пробы отобраны через интервал в основном 3 м, редко 6 м и более. Как видно из графика, на кривых не выделяется закономерной связи с интервалами, отвечающими определенным условиям отложения барита. Но вместе с тем эти кривые достаточно полно характеризуют качество баритовой руды для отдельных жил.

Содержание основных компонентов в баритовой руде

№ жилы	Содержание				Удельный вес
	BaSO_4	SiO_2	CaO	Fe_2O_3	
1	85,3	9,30	1,73	2,50	4,1
2	86,3	8,42	2,21	0,32	4,18
3	86,6	6,82	1,40	0,76	4,16
4	85,1	7,87	1,14	4,03	4,15
5	58,7	31,32	2,24	1,75	3,33
6	77,0	14,09	2,89	2,45	3,90
9–9a	89,9	7,44	0,82	0,36	4,20
10	67,3	19,08	11,00	0,75	3,83
11	78,2	14,20	2,55	1,06	3,96
12	79,2	12,67	1,82	2,57	3,96
13	82,0	13,07	1,79	1,92	4,03
14	73,5	19,82	2,06	0,45	3,85
15	93,2	3,69	1,20	—	4,33
18–18a	82,4	11,76	0,78	0,98	3,95
19	91,5	4,29	0,61	0,31	4,23
20	87,2	8,47	1,15	0,21	4,20
21	85,4	3,83	2,27	0,73	4,05
23	95,0	2,69	0,86	—	4,50
25	82,1	4,30	0,39	—	4,26
26	96,4	3,04	—	—	4,40
29	94,5	2,53	—	—	4,34
30	77,7	4,75	15,63	1,05	3,93
31	82,9	10,86	1,73	0,18	4,15
32	79,1	14,48	1,36	0,80	3,81
33	87,5	7,55	1,12	0,21	4,16
35	89,9	5,92	1,77	0,27	4,15
45	89,5	4,99	1,12	0,62	4,18
47–47a–476	91,4	3,10	1,52	0,48	4,24
48	88,7	3,85	2,72	0,52	4,11
50	81,6	12,36	1,47	1,21	4,00
51	81,1	10,18	5,39	0,87	3,93
По месторождению	85,0	9,25	2,40	0,90	4,07

Кривая содержания SiO_2 , как основного элемента-примеси, составленная в качестве примера по простиранию жилы 2, также не характеризует определенной закономерности в изменении его содержания

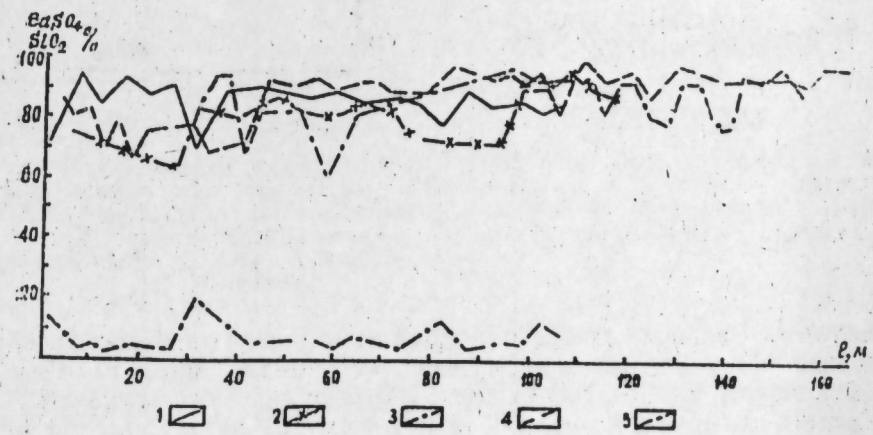


Рис. 2. График изменения химического состава барита по простиранию жил. Кривые содержания: 1, 2, 3, 4 — BaSO_4 по жилам соответственно 2, 18, 45, 47; 5 — SiO_2 по жиле 2.

по простиранию. Распределение SiO_2 тесно связано с изменением содержания BaSO_4 , с которым он, как отмечалось выше, находится в обратной пропорциональной зависимости.

Изменение химического состава барита вкрест простирации жил происходит по определенной четко выраженной закономерности, заключающейся в уменьшении содержания BaSO_4 от центра жил к зальбандам, где уменьшению BaSO_4 , особенно в висячем боку, соответствует увеличение содержания SiO_2 и CaO (рис. 3). Это объясняется наложением указанных компонентов в процессе образования жил, что подтверждается данными минерографического и термометрического изучения барита, кварца и кальцита.

Большое значение для оценки месторождения имеет определение глубины выдержанности химического состава барита и закономерности изменения его по падению жил.

Обработка результатов химанализов показывает, что содержание в барите основных компонентов на отдельных горизонтах не зависит от глубины, хотя в отдельных выработках в единичных случаях и отмечается превышение содержания SiO_2 над BaSO_4 , которое отнюдь не выражает общее закономерное понижение последнего с глубиной. По тем же жилам на более низких горизонтах мы имеем высокое содержание BaSO_4 . В качестве примера можно привести жилы 2, 18, 45, 47 (рис. 4), разведанные до глубин соответственно 62, 57, 83, 170 м.

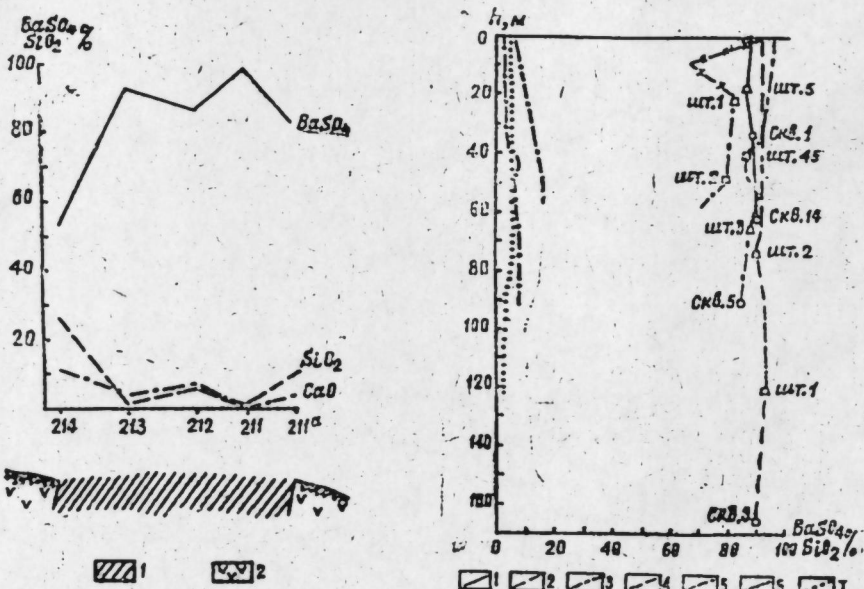


Рис. 3. График изменения химического состава барита вкрест простирации жилы 47 (мощность 0,7 м): 1—баритовая жила; 2—вмещающие породы.

ческих отметках, сравнительно выше и оно подвержено меньшим колебаниям как по простиранию, так и по падению, чем в жилах на более высоких отметках. Так, жила 5, характеризующаяся наименее низким содержанием BaSO_4 (58,7), расположена гипсометрически выше жилы 2 на 450 м. Однако последняя, разведенная на глубину до 60 м, по качеству барита (87,5) значительно превышает жилу 5 и по своему значению в общем балансе запасов по месторождению не уступает ей. Аналогичная картина наблюдается и по другим жилам.

Из приведенного можно заключить, что жилы, расположенные на более низких гипсометрических отметках характеризуются более высоким и более устойчивым содержанием BaSO_4 . Однако при решении этого вопроса следует учитывать не только гипсометрию баритовых жил, как это делалось некоторыми исследователями баритовых месторождений Азербайджана. Существенное влияние на химический состав барита имеют и структурно-геологические условия. Изменение химического состава на глубину следует рассматривать в тесной связи с возможной глубиной источника растворов и глубиной образования трещин или, по В. И. Смирнову [9], с вертикальным размахом баритового оруденения. Приведенные данные свидетельствуют о том, что вертикальный размах рудоотложения превышает указанные цифры разности отметок выходов отдельных жил и составляет более 500 м.

Характерным для барита является постоянное присутствие в его составе изоморфной примеси стронция, содержание которого по данным спектроскопии 1% и более (рис. 5), при этом анализ имеющихся данных показывает отсутствие зависимости содержания стронция от

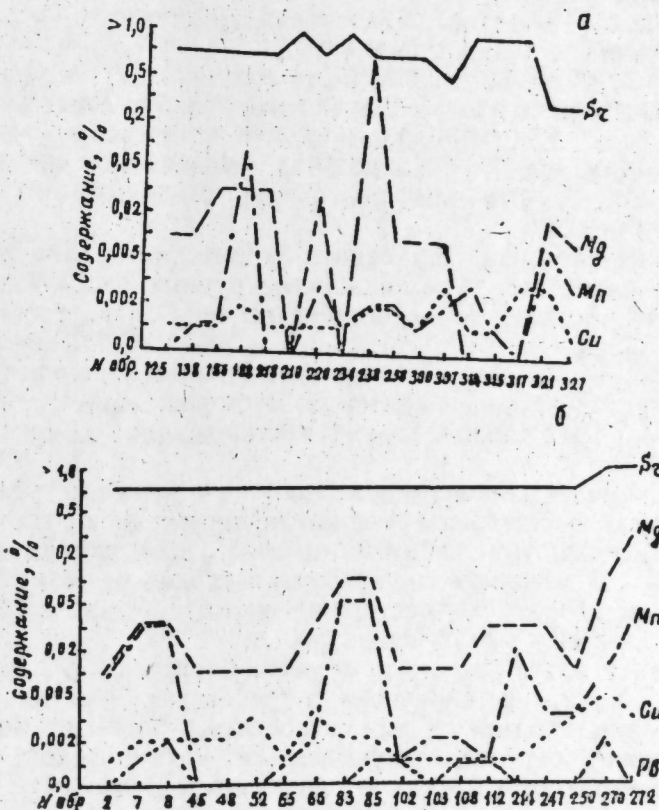


Рис. 4. График изменения химического состава барита по падению жил. Кривые содержания: 1, 2, 3, 4— BaSO_4 по жилам соответственно 2, 18, 45, 47; 5, 6, 7— SiO_2 по жилам соответственно 18, 45 и 47.

на которых не наблюдается определенной тенденции в распределении основных компонентов в их составе. Некоторые жилы (2, 47 и др.) характеризуются довольно выдержанным химическим составом.

Касаясь изменения состава баритовых руд на глубину по месторождению в целом, следует отметить, что относительные превышения выходов жил на поверхность составляют 300—450 м. Среднее содержание BaSO_4 по жилам, расположенным на более низких гипсометри-

текстурных особенностей барита. По содержанию стронция бариты Башкишлагского месторождения являются наиболее богатыми по сравнению с другими месторождениями Азербайджана, в которых по Г. Х. Эфендиеву [12] он содержится в сотых долях процента.

Баритовые руды почти стерильны (по результатам спектроскопии) от цинка, а свинец присутствует в единичных пробах из полиметаллически-баритовых жил в количестве 0—0,002%. Химически содержание этих элементов не превышает 0,01%. Медь наблюдается во всех проанализированных спектроскопических пробах содержанием от 0 до 0,003% (рис. 5), что подтверждается и химическими анализами.

Определенный геохимический интерес представляет наличие ртути в баритах. В некоторых баритовых месторождениях Азербайджана (Човдар, Каракешин, Тонашен) ртуть была установлена впервые Г. Х. Эфендиевым [12], на Башкишлагском месторождении она устанавливается впервые нами. Характерно, что ртуть отмечается только в баритах из жилы 47 полиметаллически-баритового состава, где содержание ее в пределах $8 \cdot 10^{-5}$ — $2 \cdot 10^{-4}\%$, тогда как в собственно баритовых жилах она не обнаружена ни в одной из 31 проанализированной химически пробе. Полученные результаты показывают, что содержание ртути в баритах Башкишлагского месторождения незначительное, но несколько превышает количество в баритах из других месторождений Азербайджана. Вместе с тем оно превышает содержания ртути в баритах из месторождений СССР, установленного А. А. Сауковым [7, 8] в пределах $1 \cdot 10^{-5}$ — $1,9 \cdot 10^{-2}\%$.

Кроме этого, в составе барита из всех жил спектроскопически почти всегда устанавливается марганец и магний.

Таким образом, в результате изучения химического состава барита можно прийти к следующим выводам.

1. Баритовые руды Башкишлагского месторождения являются мономинеральными с примесью небольшого количества SiO_2 , CaO и Fe_2O_3 . Содержание BaSO_4 85,0% с максимумом 97% и минимумом 32—35%, SiO_2 от 0 до 20%, очень редко до 30% и более при среднем значении 9,25%, CaO —2,40% при колебаниях от 0 до 5—6%, редко до 10—15%, Fe_2O_3 —0,9%.

2. По химическому составу бариты Башкишлага аналогичны мономинеральным баритовым рудам наиболее крупных эксплуатирующихся месторождений Грузии (Чордское, Кударское, Болнишское), в которых содержание BaSO_4 —81—90%, SiO_2 —1—13,5%, CaO —0,14—3%, редко 12—14%, Fe_2O_3 —до 2,13%. Приведенные данные опровергают мнение некоторых исследователей баритовых месторождений Азербайджана, относивших бариты Башкишлагского месторождения к баритам низкого качества.

3. На Башкишлагском месторождении не происходит резкого изменения химического состава барита как по простиранию, так и по падению жил. Разведочными работами по отдельным жилам достигнуты горизонты на 170 м ниже верхней линии выходов без изменения химического состава барита. По месторождению отсутствие такого изменения устанавливается на глубину до 500 м.

4. Сравнивая качественные показатели баритовых руд Башкишлагского месторождения с техническими требованиями различных отраслей промышленности можно констатировать, что барит этого месторождения может с успехом применяться в химической, резиновой, бумажной, стекольной и других отраслях промышленности. В качестве присадочного материала он может использоваться в нефтедобывающей промышленности. Основным же потребителем его может быть буровая техника.

ЛИТЕРАТУРА

1. Вачиадзе Н. Д., Горбунов С. С. Баритовые месторождения Грузинской, Азербайджанской и Армянской ССР. В кн.: «Геология СССР», т. X, ч. II, Госгеолиздат, 1914.
2. Керимов Г. И. Бариты Азербайджанской ССР. Рукопись, фонд АЗИИ, 1947.
3. Керимов Г. И. К характеристике баритовых месторождений Азербайджана. Труды Ин-та геологии АН Азерб. ССР, т. XIV, 1954.
4. Керимов Г. И., Эфендиев Г. Х. Бариты. Геология Азербайджана, т. V, 1957.
5. Керимов А. Д. Сводный геологический отчет по Башкишлагскому месторождению барита за 1941—1952 гг. Рукопись, фонд Азгеолупротивления, 1952.
6. Керимов А. Д. Бариты Азербайджана и вопросы их использования в промышленности. Журнал ЗТП, 1963.
7. Сауков А. А. Ртуть в баритах. «ДАН СССР», т. 22, № 5, 1939.
8. Сауков А. А. Геохимия ртути. Труды Ин-та геологических наук АН СССР, № 17, 1947.
9. Смирнов В. И. Генезис эндогенных рудных месторождений. Изд. «Недра», 1968.
10. Шахов Ф. Н. Геология жильных месторождений. Изд. «Наука», 1964.
11. Эфендиев Г. Х. О химической характеристике баритовых месторождений Азербайджана. Изв. АзФАН СССР, № 4, 1944.
12. Эфендиев Г. Х. Гидротермальный рудный комплекс СВ части Малого Кавказа. Изд. АН Азерб. ССР, 1957.

Институт геологии

Поступило 29.V 1970

П. С. Гаврилук, Э. Д. Керимов, Э. А. Магриби

Башгышлаг јатағы баритинин кимјәви ҳүсусијәтләри
(Кичик Гафгаз)

ХУЛАСӘ

Баритин нефт вә кимја сәнајесинә гијмәтли хаммал кими ишләдилмәсинаң бахмајараг, онун кимјәви ҳүсусијәтләри Азәрбајҹан барит јатаглары үзәре зәниф өјрәнилмишdir.

Сәнаје әһәмијәтли еһтијата малик олан Башгышлаг барит јатагындан көтүрүлмүш күлли мигдар нүмнәләрин кимјәви анализи мүәллифләр тәрафында чәмләшдирilmиш, статистик груплашдырылмыш, кимјәви ҳүсусијәтләrinә көрә тәдгиг едилән баритин һәм дамарларын узанма истигаматинде, һәм дә дәренилликдә јүксәк кејфијәтли олдуғу мүәлләшдирilmишdir.

НЕФТ КЕОЛОГИЯСЫ

Р. А. МАММОДОВ

КЭНЗЭДАФ—ХЭРЭЗИРЭ АНТИКЛИНАЛ ЗОНА БОЈУ
МЭҮСҮЛДАР ГАТЫН VII ҺОРИЗОНТУНДА
(„Фасилэ“ ЛАЙДЭСТЭСИ) НЕФТ ВЭ ГАЗЫН ЖАТМА ШЭРАИТИ
ВЭ ПАЛЛАНМАСЫ (БАКЫ АРХИПЕЛАГЫ)

(Азэрбајҹан ССР ЕА академики Ш. Н. Маммадов төгдим иттишдир)

Кэнзэдаф—Хэрэзирэ антиклинал хэтти бојунда нефт вэ газ жатағы Сэнкәчал-дәнис, Зәнил вэ Хэрэзирэ адалары структурларынын шимал-шәрг ганадына аид олуб, узунуна кечән позғунлуг хэтти истигамәтинде фасиләсиз енинә атылмаларла беш әсас блока бөлүнүр.

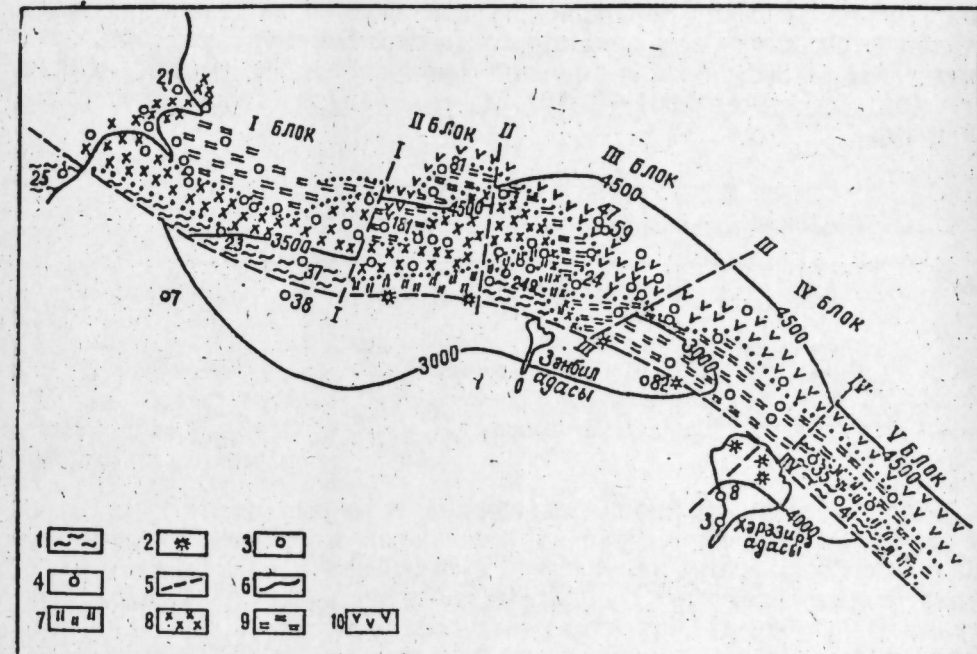
Биринчи блок Сэнкәчал-дәнис гарышығынын шимал-шәрг һиссәсүни тутуб, шималдан Кэнзэдағын саһил хэтти, чәнуб-шәргдән енинә атылма (I—I) илә, гәрбдән исә антиклинал зона боју бүтүн гарышыгларын тағындандын кечән бојуна (узунуна) позғунлугун өзүнә аид олан һиссәси илә һудудланыр. Бу блокда VII һоризонтун нефти 3500—4700 м дәринлижи әһатэ едир. Блокда нефтин сыхлығы 0,863-дән 0,878-ә гәдәр дәјишишәрәк, орта һесабла 0,867-јә бәрабәрdir. Бурада нефтин сыхлығына көрә һудудлары 0,861—0,870 вэ 0,871—0,880 олмаг үзрә ики зонаја ажырылыш. Нисбәтән ағыр нефтә малик олан зона блокун нефту тәмас хэтти бојунда, аз сыхлыглы зона исә даһа јүксәк һиссәдә йөрләшири.

Структурин биринчи блока аид эн јүксәк саһәсүндә 3000—3500 м дәринликдә сәнаје әһәмијәтли тәмиз газ жатыр ки, бу да гарышыглығын тағындакы газ „папагыны“ тәшкүл едир. Һазырда 23 вэ 37 нөмрәли гујулар һәмин газ „папагын“дан јүксәк дебитлә истиスマр олунур. Бу газ „папагынын“ давамы антиклинал хәтт үзәриндә йөрләшән түрү саһәсүнә—Кэнзэдаф брахиантклинал галхымына дөгүр узаныр ки, бурадакы 25 вэ 14 нөмрәли гујуларын VII һоризонтдан газ вермәләри буны бир даһа сүбүт едир.

Икинчи блок Сэнкәчал-дәнис структурунун чәнуб-шәрг гуртара-чагыны әһатэ едир. Бурада сыхлығы 0,856—0,882 арасында дәјишишән нефт 2800—5000 м дәринликдә жатыр. Бу блокда нефтин орта сыхлығы 0,868-дир. Блок I—I вэ II—II енинә атылмалар арасындакы саһени тутур. Бурада да нисбәтән јүксәк сыхлыглы нефт структурин блока аид олан һипсометрик дәрин һиссәсүндә—нефт вэ сујун тәмас хэтти бојунда йөрләшири. 81 вэ 181 нөмрәли буругларда исә нефтин

ағырлашмасына сәбәб бу гујуларда лај сујунун нефтлә бәрабәр гујудибинә сүзүлмәсидир. Су илә тәмас хэтти бојунда нефтин сыхлығынын артмасына тә'сир едән әсас амил лај суларыдыр. Белә ки, сулардакы кимҗәви үнсүрләр раст кәлдиктәри нефти оксидләшдирир вэ иәтичәдә, тәмас хэтти бојунда даһа ағыр нефтә тәсадүф олунур. Лакин гејд етмәк лазымдыр ки, 81 вэ 181 нөмрәли гујулар нефтин жатмасына көрә даһа кичик сыхлыглы зонада йөрләшмәлийдир. Һәмин гујуларда јүксәк хүсуси чәкили нефтин көрүнмәси, һудудлары 0,871—0,880 олан зонаны I—I ат ылма истигамәтинде блокун тачына дөгүрә әјмишдир. Бу көстәрир ки, су-нефт тәмасы блокун тағына дөгүрә вахтындан чох тез һәрәкәт әтмәјә башламышдыр. Бу, һәр шејдән әввәл, адыны чәкдијимиз гујулардан даһа чох маје алымасы илә изаһ едилә биләр. Экәр истиスマрын сүр'ети әввәлки кими сахланыларса, икинчи блок чох тез сулаша биләр. Бу блокда нефтин сыхлығына көрә дөрд зона ажырылыш: 0,851—0,860; 0,861—0,870; 0,871—0,880; 0,881—0,890.

Сәнкәчал-дәнис структуруну тәшкүл едән бу ики блок бир-бириңдән әсаслы сурәтдә фәргләнир. Бу, һәр шејдән әввәл, икинчи блокда газ „папагынын“ олмамасы вэ нисбәтән даһа ағыр нефтин йөрләшмәси илә изаһ едилүр (шәкил).



Сәнкәчал-дәнис-Зәнил вэ Хэрэзирэ адалары антиклинал зонасында нефт вэ газын сыхлығы көрә пајланмасы хәритәси.

1—газ «папагы»; 2—паљыг вулканы; 3—нефт гујулары; 4—газ гујулары; 5—текто-ник позғунлуглар; 6—VII һоризонтун таванына көрә структур; 7—0,851—0,860; 8—0,861—0,870, 9—0,871—0,880; 10—0,881—0,890.

Үчүнчү вэ дөрдүнчү блоклар әввәлкиләри давамы олуб, Зәнил гарышығында йөрләшири. Бу блокларда (III вэ IV) даһа бөյүк сыхлыға малик олан нефт жатыр.

Үчүнчү блок II—II вэ III—III енинә атылмалар арасындакы саһени тутаралг структурин даһа чох һиссәсүни әһатэ едир. Бурада нефт 2200—4500 м дәринликдә жатарал, тағдан ганада дөгүрә лајын һипсо-

метрик дәрнелији истигамәтиндә мұхтәлиф сыйхлығы - 0,851—0,860; 0,861—0,870; 0,871—0,880; 0,881—0,890 олмаг үзәрә дәрд зонаја айрылышы. Эн ағыр нефт дөрдүнчү зонаны тәшкіл едиб нефт-су тәмас хәтти бојунда Јерләшәрәк, икинчи блокдакы јұксек сыйхлығы нефтин давамы олуб, өзүндән сопракы блоку да кечир вә Хәрәзири (өзү дә дахил олғағла) брахиантиклинал гырышығына ғәдәр узаныр. Бу зона (сыйхлығы 0,881—0,890) антиклинал хәтт (Кәнзәдағ—Сәнкәчал—дәнис—Зәнбил вә Хәрәзири адалары) истигамәтиндә узанараг икинчи блокун шимал һүлудуна (I—I атылма хәтти) ғәдәр давам едир. Һәмми зонада нефтин сыйхлығының јұксек олмасы тәмас суларының жаҳынлығы илә изаһ едилір ки, буну блокда Јерләшән 59 вә 47 нөмрәли гүјуларын лај сују вермәси тәсдиг едир.

Үчүнчү блокда газ „папағы“ 2200—3600 м дәрнликдә жатараг блокун ән јұксек һиссәсіни тутур.

Дөрдүнчү блок нефт сыйхлығына көрә ики зонаја айрылышы: 0,871—0,880 вә 0,881—0,898. Биринчи зона блок даһа кениш саһә кәсб едир. Икинчи зона исә һисбәтән аз саһә тураға, структурун шәрг гана-дынын даһа ашағы (дәрин) һиссәсіндә Јерләшир. Бу блокун нефти 2200—4300 м дәрнлијиндә жатыр.

Нефтин орта сыйхлығы 0,864-ү тәшкіл едән вә ахырынчы сајылан бешинчи блок Хәрәзири адасты структурунда—антиклинал зонаның ән чох јүкләндіри саһәдә Јерләшир. Бурада нефтин пајланмасына көрә мұхтәлиф сыйхлығы ики зона айрылмышдыр. Биринчи зона (орта сыйхлығы 0,851—0,860), блокда әй кичик һиссәни тәшкіл едәрек икинчи зона (орта сыйхлығы 0,861—0,870) илә газ „папағы“ арасында саһәни тутур.

1-ЧИ ЧӘДВӘЛ

Гырышыгар	Блоклар	Жатма дәрнлији, м-лә	Нефтин орта сыйхлығы
Хәрәзири адасты	V	2900—4300	0,864
Зәнбил адасты	III IV	2200—4300 2200—4500	0,877 0,877
Сәнкәчал-дәнис	II I	2800—5000 3500—4700	0,868 0,867

1-ЧИ ЧӘДВӘЛДӘН ВӘ ШӘКИЛДӘН КӨРҮНДҮҮ КИМИ, ТӘДГИГ ЕТДИЈИМИЗ РЕКИОНДА Зәнбил структурудан башлајараг Кәнзәдағ гырышығына ғәдәр нефтин сыйхлығы ганунауғын сурәтдә антиклинал зонаның јұксекдә Јерләшән тектоник блокларындан ашағыдакы блоклара доғру азалыр [1] ки, бу да Мәңсүлдар гата нефтин миграция (сызма) етмәси вахтына там уйғын қөлир. Белә ки, карбоидрокенләрин миграциясының әзвәлки дөврү илә әлагәдар олан блокларда нефтин сыйхлығы даһа бөјүкдүр. Миграцияның сопракы мәріләләрі илә бағыт олан блокларда исә сыйхлығ азалыр. Тәдгиг етдијими兹 зонада VII горизонта жатан нефтин сыйхлығының چәнуб-шәргдән шимал-гәрб истигамәтиндә фасиләсіз олараг бир блокдан дикәринә дөғру азалмасы мәніз буунула әлагәдардыр.

1-ЧИ ЧӘДВӘЛДӘН КӨРҮНДҮҮ КИМИ, Хәрәзири структуруда Јерләшән V блокдакы нефтин сыйхлығы даһа кичикдир. Жухарыда гејд етдик ки, چәнуб-шәргдән шимал-гәрб истигамәтиндә ганунауғын олараг нефтин сыйхлығы фасиләсіз сурәтдә тәдричән азалыр. Онда бәс илә үчүн V блокда жатан нефтин орта сыйхлығы 0,864 олуб, көстәрилән истигамәтдәкі ганунауғынугдан кәнара чыхыр? Бу исә, илк иөвбә-

дә, арасықасылмәдән چәнуб-шәргдән, даһа дөгрүсү, депрессия саһәләрніндән (чөкәкликләрдән) һазырда да нефтин вә газын миграциясы (сызмасы) илә әлагәдардыр.

Нефт вә газын сыйхлыға көрә пајланмасы хәритәсіндән (шәкил) көрүнүр ки, нефт-су тәмас хәтти Кәнзәдағ—Хәрәзири антиклинал зонасы боју узанараг бојуна (узуунуна) кечән кеоложи позғунлуға паралел узаныр. Лакин бу паралеллик 24, 81 вә 181 нөмрәли гүјуларын йөрләшири рајонда позулур (әжилир).

Гејд етмәк лазымдыр ки, бүтүн блокларын шимал-гәрб һүдүдүнүн жарыда адның чәкдијимиз бојуна позғунлуғ тәшкіл едир ки, бунунда үзәриндә һәм кеоложи кечмишдә, һәм дә инди фәалијәтдә олан чохлу палчыг вулканы Јерләшир. Бу вулканларының экспедицияның өзөнін Жухары (үст) Жура вә Орта плиосен чөкүнтуләрилә әлагәдар [2] олдуғундан, мұхтәлиф кеоложи дөврләрдә антиклинал зонада әмәлә кәлмиш вә формалашмайш нефт вә газ жатагларына (шәкил, 2-чи чәдвәл) өзүнүн мәнфи тә'сирини көстәрмишdir. Белә ки, Сәнкәчал-дәнис, Зәнбил вә Хәрәзири гырышыларының палчыг вулканлары олан блокларында газ „папағы“ жохтур. Һәмми блокларда газ „папағы“ның итмәсінә сәбәб олан палчыг вулканлары, еїни заманда, орада жатан нефтин сыйхлығына да өзүнүн мәнфи тә'сирини көстәрмиш вә ағырлашдырышдыр.

2-ЧИ ЧӘДВӘЛ

Структурлар	Блоклар	Палчыг вулканларының сајы (әдәднесабы илә)	Газ „папағы“
Хәрәзири	V	—	+
Зәнбил	IV III	3 —	—
Сәнкәчал-дәнис	II I	2 —	—

Бу ганунауғынундеги бүтүн антиклинал зона боју мүшәнидә олунур. Бу да, биңчә, тәдгигат апардығымыз зонада палчыг вулканларының мүәжжән кеоложи дөврләрдә формалашмайш нефт вә газ жатагларына мәнфи тә'сирини сүбүт едир.

ӘДӘБИЙЛАТ

1. Махмудов Р. А. Биңгәди, Чахнаглар вә Сулутепә жатагларында Гырмәккүйләттәнде нефтин пајланмасы нағында. „Азәрбајҹан ССР ЕА Хәбәрләри“, № 1, 1968. 2. Путкарадзе А. Л. Бакы архипелагы. Азәрнәшр, 1958 (рус дилинде). Кеолокија институту

Алынмышдыр 24.XI 1970

Р. А. Махмудов

Условия залегания нефти и газа в горизонте VII (св. „перерыва“) продуктивной толщи антиклинальной линии Кянизадаг—о. Булла (Бакинский архипелаг)

РЕЗЮМЕ

Нефтегазоносная залежь в горизонте VII (св. „перерыва“) антиклинальной линии Кянизадаг—о. Булла, приуроченная к северо-восточным крыльям поднятой Сангачалы-море—о. Дуванный—о. Булла, образует непрерывную полосу вдоль границы продольного тектони-

ческого нарушения этого горизонта, разделенную сбросами на пять тектонических блоков.

Зоны нефти с наименьшей плотностью во всех блоках располагаются в более повышенной части структуры, относительно тяжелая нефть — в приконтурной части залежи.

Установлено, что в пределах всей рассматриваемой нами полосы от структуры Дуванный до поднятия Кянназадаг происходит закономерное уменьшение плотности нефти по направлению от структурно-повышенных тектонических блоков к более низкозалегающим, и это находится в полном соответствии с временем миграции нефти в продуктивную толщу.

Установлено, что в исследуемой зоне в блоках, где имеются выходы грязевых вулканов, отсутствуют газовые шапки и здесь залегает нефть наибольшей плотности.

АЗЭРБАЙЧАН ССР ЕЛМЛЭР АКАДЕМИЯСЫНЫН МЭРҮЗЭЛЭРИ

ДОКЛАДЫ АКАДЕМИИ НАУК АЗЕРБАЙДЖАНСКОЙ ССР

Том XXVII

№ 5

1971

УДК (551.763.333) 35 (479.24)

СТРАТИГРАФИЯ

М. М. ЗЕЙНАЛОВ, Р. А. ГАМБАШИДЗЕ, А. М. ГУРБАНОВ

О ЛИТОФАЦИАЛЬНЫХ ОСОБЕННОСТЯХ И СТРАТИГРАФИИ
КАМПАН-ДАТСКИХ ОТЛОЖЕНИЙ ВОСТОЧНОЙ ЧАСТИ
ВАНДАМСКОЙ СКЛАДЧАТОЙ ЗОНЫ (р-н с. Диаллы)

(Преоставлено академиком АН Азербайджанской ССР А. А. Ализаде)

Кахетино-Вандамская складчатая зона протягивается от меридиана г. Шемахи на востоке до р. Мазымчай на западе в сторону территории Грузии по южному склону Б. Кавказа, свод которого сложен туфогенными отложениями байосского яруса. Выходы этих туфогенных пород фиксируются в районах Исмайллов, Куткашена, Варташена, Шеки, Кахи, Загатал и Белокан.

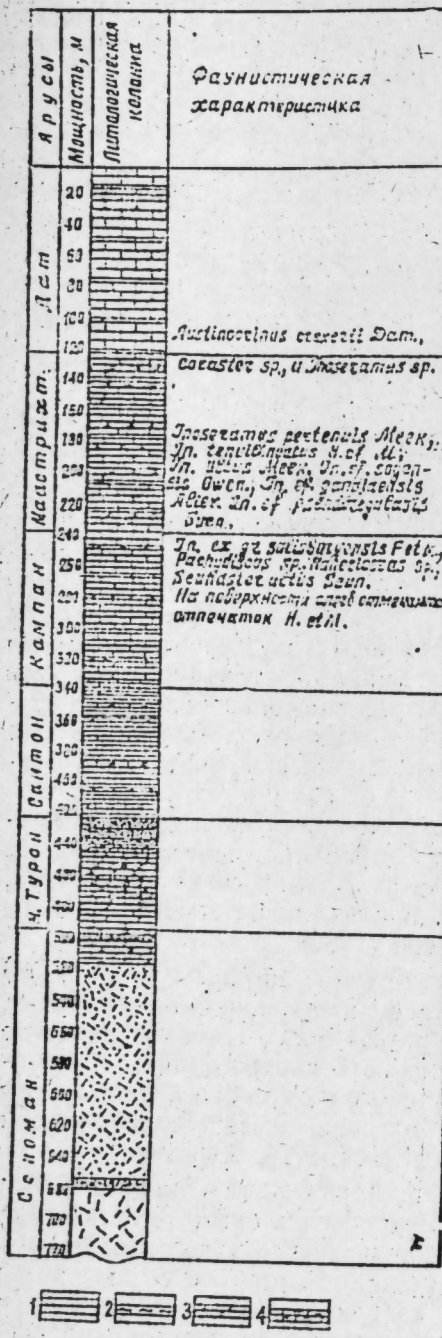
Первые сведения о расчленении верхнемеловых отложений приводятся в монографии Э. Ш. Шихалибейли (1956). Относительно полные данные по этому вопросу даются в отчетах Б. М. Исаева (1959, 1961, 1962), в отчете лаборатории региональной геологии АзНИИ ДН за 1968 г. и в монографии М. М. Зейналова (1969).

Послойные разрезы этих отложений нами описаны (1965—1969) в районе с. Диаллы и в соседних с ним районах. Описываемые отложения в пределах исследуемого района имеют более широкое развитие по сравнению с западными районами южного склона Большого Кавказа. Отложения кампанского, маастрихтского и датского ярусов имеют ограниченное распространение по рр. Азратчай и Талстанчай и нами изучены по руслам этих рек, а также восточнее р. Азратчай.

Отложения кампанского яруса по р. Азратчай (с. Диаллы) представлены серыми, светло-серыми, сильно трещиноватыми известняками, с редкими прослойками песчаников, песчанистых известняков и серых глин. По р. Талстанчай отложения этого яруса выражены также в аналогичной литофации. Однако глины более карбонатные, и наблюдается увеличение как мощности, так и числа пластов мергеля. Анализ фациальной изменчивости этих разрезов позволяет прийти к выводу о том, что в направлении с востока на запад число и мощность карбонатных пород кампанского яруса увеличивается. Мощность 100—110 м.

Отложения маастрихтского яруса по рр. Азратчай (с. Диаллы) и Талстанчай представлены чередованием серых, светло-серых, зелено-вато-серых, пелитоморфных сильно трещиноватых известняков и пес-

чников, имеются очень редкие сантиметровые прослои серых, зеленовато-серых жирных (на ощупь) глин. Число и мощность пластов карбонатных пород маастрихтского яруса с востока на запад увеличивается, а общая мощность заметно уменьшается. Мощность 115 м.



1—глины; 2—аргиллиты; 3—мергели;
4—глинистые мергели; 5—песчаники;
6—известники; 7—доломиты; 8—туфопесчаники.

Nodellum velascoense (Cushm.), *Haplophragmoides* sp., *Bolivinita exigua* Gl.,

Gumbelina crinita Glaess., *Globigerina compressa* Pl., *Gl. bulloides* (Orb.), *Gl. triloculinoides* Pl.

Летом 1968 г. мы в третий раз послойно изучали верхнемеловой разрез в районе с. Диаллы по р. Азратчай и собрали большое количество фауны, определением которой занимался один из авторов этой статьи Р. А. Гамбашидзе, принимавший участие также и в сборе.

В этом разрезе зеленовато-желтого цвета глины типа отбеливающих (эоцен) с пластами конгломерата в основании ложатся на отложения верхнего мела. Исходящий разрез последних таков:

1. Тонкослоистые крупные, слегка песчанистые известняки мощностью 10 м.

2. Тонко- и среднеслоистые, мягкие, белые марающие руку мелоподобные известняки с обломками стеблей криноидей и морских ежей мощностью 15—20 м. Породы содержат *Austinocrinus crekerti* Dam., *Coraster* sp., *Inoceramus*. Далее породы залегают почти вертикально.

3. Зеленовато-серого, местами белого цвета слойстые слегка песчанистые известняки, содержащие большое число ископаемых. Из них определены: *Inoceramus pertenuis* Meek, *In. tenuilineatus* H. et M., *In. altus* Meek, *In. cf. sagensis* Owen, *In. cf. gandjaensis* Alliev., *In. cf. pseudoregularis* Sorn., *In. ex gr. salisburgensis* F. et K., *Rhabdammina* sp., *Hanericeras* sp., *Seunaster altus* Sezn.

4. Толстослоистые белого цвета известняки мощностью 5—8 м. На поверхности слоя сохранился отпечаток H. et M.

Далее отложения верхнего мела перекрыты наносами.

Описанный разрез охватывает верхнюю часть сенона и, возможно, определенную часть датского яруса.

Встреченный в третьей пачке *Inoceramus pertenuis* Meek, был описан в Северной Америке, где он встречен в верхних горизонтах серии *Fox Hills group*, что примерно соответствует маастрихтскому ярусу Западной Европы (Меек, 1876). В Крыму и на Северном Кавказе этот вид в основном характерен для верхнего кампана, хотя иногда и заходит в нижний маастрихт (С. А. Добров, М. М. Павлова, 1959).

Inoceramus tenuilineatus H. et M. был описан в кампане Северной Америки (серия *Fort Pierre group*). На этом же уровне встречен он в Грузии (А. Л. Цагарели, 1954) и на Малом Кавказе (В. П. Ренгартен, 1959).

Inoceramus altus Meek описан из кампана Северной Америки (*Fort Pierre group*). Он известен также в кампанском ярусе Прикурицкой зоны Малого Кавказа (В. П. Ренгартен, 1959).

Inoceramus sagensis Owen был описан из верхнего сенона Северной Америки (Н. Owen, 1852), на Северном Кавказе он встречен в нижнем маастрихте Южного Дагестана (р. Рубасчай) и в верхнем кампане Крыма (С. А. Добров, М. М. Павлова, 1959).

Inoceramus gandjaensis Alliev был описан из известняков кампана г. Киликдага в бассейне р. Гянджачай (М. М. Алиев, 1956), позже этот вид был отмечен также в маастрихте Болгарии (Й. Йолкичев, 1962).

На Малом Кавказе *Seunaster altus* Sezn известен в отложениях маастрихта (В. П. Ренгартен, 1959).

Таким образом из перечисленных ископаемых 3 вида являются верхнесенонским (*Inoceramus pertenuis* Meek, *In. cf. sagensis* Owen и *Seunaster altus* Sezn), а остальные являются характерными для кампанского яруса различных стран.

Стратиграфическое распространение фауны пачки 3 указывает на возможность отнесения этих пород к кампанскому ярусу. Нижележащая пачка 4 характерной фауны не содержит, но наличие отпечатков типа *Inoceramus tenuilinaetus* Meek и ее стратиграфическое положение указывают на кампанийский возраст данной пачки.

Более сложен, на наш взгляд, вопрос датировки пачки 2. Она недно охарактеризована фауной. Вместе с другими неопределыми до вида формами в пачке содержится морская лилия—*Austinocrinus ceskerti* Dam. Этот вид является характерным для маастрихта Западной Европы, Северного Кавказа и Копетдага (Н. Пославская, М. М. Москвин, 1959), на Малом Кавказе он приводится из отложений кампана (В. П. Ренгартен, 1959). Вместе с лилией в этой пачке оказались sp. p. *Inoceramus* sp. Первый род распространен в кампандате, второй же выше маастрихта не поднимается. Таким образом, фауна пачки 2 датирует породы верхним сеноном, но стратиграфическое положение этой фауны в разрезе более склоняет нас считать ее маастрихтской.

ЛИТЕРАТУРА

1. Алиев М. М. О новом виде иноциерата. ДАН Азерб. ССР*, т. XVII, № 7, 1956.
2. Доброполов С. А., Павлова М. М. Иноциераты. Атлас верхнемеловой фауны Северного Кавказа и Крыма, 1959.
3. Зейналов М. М. Верхнемеловые отложения Азербайджана и перспективы их нефтегазоносности. Азернефтр, 1969.
4. Шихалиев Э. Ш. Геологическое строение и развитие Азербайджанской части южного склона Большого Кавказа. Изд-во АН Азерб. ССР, Баку, 1956.
5. Пославская Н. А., Москвин М. М. Иглокожие. Атлас верхнемеловой фауны Северного Кавказа и Крыма, М., 1959.
6. Ренгартен В. П. Стратиграфия меловых отложений Малого Кавказа. Региональная стратиграфия СССР, т. 6, 1959.
7. Цагарели А. Л. Верхний мел Грузии. Тр. Ин-та геол. и минер. АН Груз. ССР, № 5, 1951.
8. Meek F. A-report on the Invertebrate Cretaceous and Tertiary Fossils of the Missouri Country. Report of U. S. Geol. Surv., vol. IX, 1876.
9. Owen H. Report of a geological Survey of Wisconsin, Iowa and Minnesota, 1852.
10. Йолкичев И. Маастрихтски иноциераты в Българии. Трудовое въерху, Геология на България, сер. палеонт., кн. IV, 1962.

АзНИИПИнефть

Поступило 8. VI 1970

М. М. Зейналов, Р. А. Гамбашидзе, Э. М. Гурбанов

Вэндам гырышыглы зонасынын шэргиң иссесинде
(Диаллы кәнді әтрафында) кампан-дат чөкүнтүләринин
литофасијал хүсусијети вә стратиграфијасы

ХУЛАСӘ

Бөյүк Гафгазын чәнуб Іамачында Уст Тәбашир чөкүнтүләринин айры-айры мәртәбә вә лајдәстәләринә бөлүнмөси таңбында илк мә'лүмләр Н. Ш. Шыхәлибәевинин әсеринде [4], М. Б. Исаевин иллик несабатында (1959, 1961, 1962), АзНЧЕТИ-нин несабатында (1968) вә еләчә дә М. М. Зейналовун әсеринде [3] верилмишdir Лакин буна бахмајарал, йухарыда көстәрилән саһәдә бу чөкүнтүләрин там бөлкүсү апарылмамышды.

1965—1969-чу илләрдә Уст Тәбашир чөкүнтүләринин айры-айры мәртәбләрә бөлүнмәснин дәгигләшdirмәк үчүн биң Диаллы кәнді әтрафында вә она гоншу саһәләрдә һәмни чөкүнтүләрин кәсилишини өүрәндик. Кәсилишләрдән көтүрдүймүз иүмүнәләрдә Д. Э. Ағаларов-вә Н. Ж. Мәммәдованын Уст Тәбашир чөкүнтүләри үчүн характер олан

микрофауна формаларыны тә'жи итмәсі бу чөкүнтүләрин даңа дәгиг мәртәбләрә бөлүнмәснинде биң көмек етди. Бундан әlavә, 1968-чи илдә Диаллы кәнді әтрафында Кампан—Дат чөкүнтүләрини өүрәнді. Җимиз в ман бу кәсилишдән чохлу фауна топламышдыг. Онлары Р. А. Гамбашидзе тәдгиг етмишdir. Бу тәдгигатын нәтичәләрини Бөйүк Гафгазын гоншу рајонлары, еләчә дә бир сыра өлкәләрдә өүрәнилмиш формаларла тутушдурааг Диаллы кәнді әтрафында Кампан, Маастрихт вә Дат мәртәбләрини аյырды.

А. А. РАДЖАБОВА

**НЕМАТОЦИДНАЯ АКТИВНОСТЬ ТРИХОТЕЦИНА И
МОДИФИКАЦИЯ МЕТОДА ИСПЫТАНИЯ ЭТОЙ АКТИВНОСТИ
С ИСПОЛЬЗОВАНИЕМ ЕГО В КАЧЕСТВЕ СТАНДАРТА**

(Представлено академиком АН Азербайджанской ССР М. К. Ганиевым)

В последние годы в литературе появился ряд косвенных и прямых доказательств того, что хищные грибы являются продуцентами биологически активных веществ, вероятно, в ряде случаев, имеющих отношение к их способности к хищничеству.

В частности, изучение их антибиотической активности показало наличие в их культурной жидкости веществ с фитотоксической, антибактериальной, фунгицидной и антинематодной активностью (Сопрунов, 1958; Сидорова, 1967, Мехтиева, 1969, Хо-Ван-Кыу, 1968, Olthof, Estey, 1963).

Данные, полученные при сравнительном изучении хищных грибов и других гифомицетов указывают на значительное сходство некоторых продуктов метаболизма у рода *Arthrobotrys* и *Trichothecium roseum* Link. В частности, *A. oligospora* Fres. и *A. longispora* Preuss оказались способными выделять трихотецин (Сидорова, 1967).

Исходя из того, что антибиотический спектр трихотецина мог и не ограничиваться грибами, мы провели исследование его на нематоцидную активность по отношению к уксусной угрице—*Anguillula aceti*.

В основу разрабатываемого метода был положен способ испытания нематоцидов, предложенный Гуськовой (Гуськова, 1967). Принцип предлагаемого здесь метода состоит в использовании непосредственного контакта тест-организма с раствором нематоцида в водной среде.

В качестве тест-организма была взята месячная культура уксусной угрцы—*Anguillula aceti*, легко поддерживаемой в лабораторных условиях культивирования на сусле 5° с добавкой 3% спирта.

На предметное стекло капилляром наносилось определенное количество (10–20 шт.) отмытых от сусла уксусных угрец. Остаток воды отсасывался и к угрецам добавлялся 0,1 мл спиртового раствора трихотецина (в 5%-ном этаноле) заданной концентрации. Исходный раствор трихотецина готовился в 96° этаноле (10 мкг/мл) и разбавлялся водой 20 раз.

Последующие его разведения готовились на 5%-ном этаноле. Кон- тролем растворителя служил 5%-ный этанол.

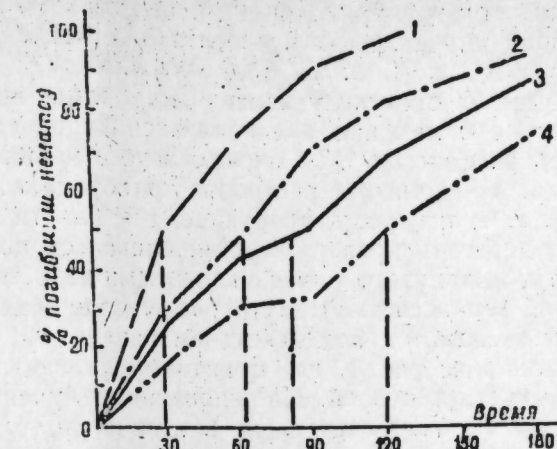


Рис. 1. Динамика гибели нематод при различных концентрациях трихотецина: 1—концентрация 500 мкг/мл; 2—250; 3—концентрация 125; 4—концентрация 62,5.

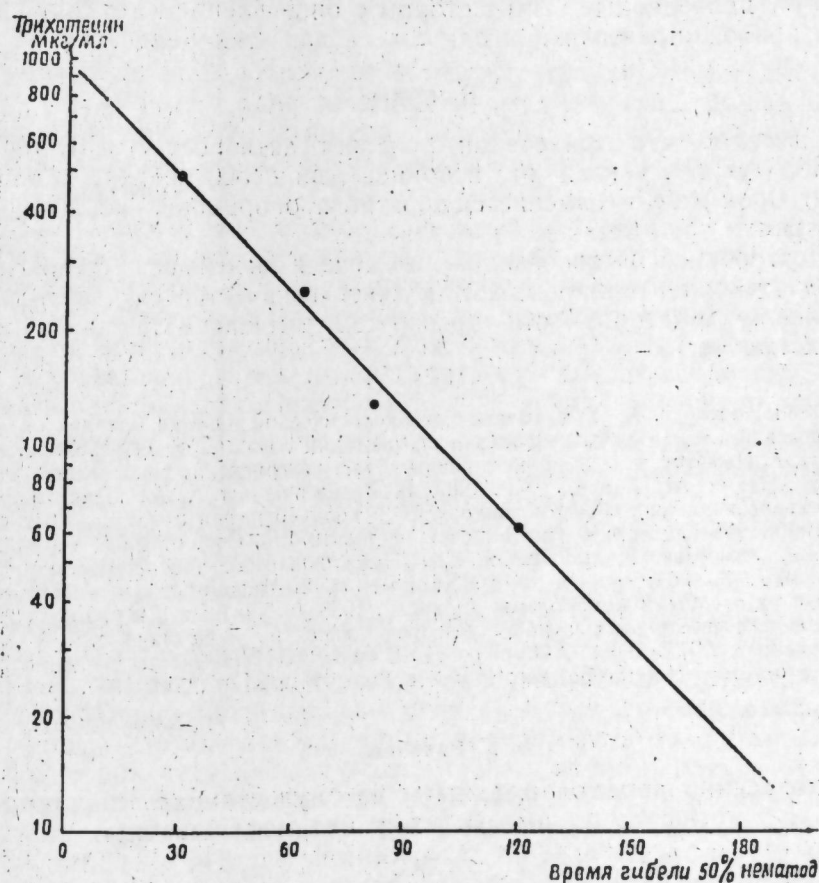


Рис. 2. Зависимость между временем гибели 50% нематод и концен- трацией трихотецина.

Заготовленные растворы трихотецина испытывались не менее чем трижды для каждой концентрации препарата (500 мкг/мл; 250 мкг/мл; 125 мкг/мл; 62,5 мкг/мл; 40 мкг/мл; 20 мкг/мл).

Предметное стекло с исследуемыми растворами помещалось во влажную камеру. По истечении заданной экспозиции стекла просматривались под микроскопом МБС-1 параллельно с наблюдением контроля растворителя. Токсичность растворов трихотецина определялась по времени LD₅₀, т. е. по сроку, требующемуся для гибели 50% нематод. Гибель от действия препарата устанавливалась по потере угрицами подвижности, вытянутого или с угловатыми изгибами тела, измененному (с темной зернистостью) внутреннему содержанию.

Динамика гибели нематод под действием различных концентраций трихотецина показана на рис. 1, где пунктиром указаны сроки гибели 50% из числа испытуемых особей. На основании полученных значений для этих сроков гибели была составлена кривая на полулогарифмической сетке (рис. 2) с нанесением по оси абсцисс сроков гибели 50% особей (время LD₅₀), а по оси ординат — логарифмов концентрации трихотецина.

Можно видеть, что логарифмическая зависимость между обоями параметрами достаточно точна для использования времени LD₅₀ в качестве критерия токсичности, выражаемого в мкг/мл трихотецина.

Исследования нематоцидных веществ из хищных грибов рода *Arthrobotrys*, проведенные этим методом с определением токсичности по данной кривой, показали пригодность ее для этих целей.

Выводы

1. Выяснено, что трихотецин обладает активностью в отношении укусных угриц, убивая их в концентрации 500 мкг/мл в течение 30 мин. Срок гибели изменяется обратно пропорционально логарифму концентрации трихотецина.

2. Построенная на основании этого кривая зависимости срока гибели нематод от концентрации может служить в качестве стандартной для определения нематоцидности препаратов, выделяемых из мицелия хищных грибов.

ЛИТЕРАТУРА

- Гуськова Л. А. К методике токсикологической оценки препаратов на нематоцидность. Сб.: «Нематодные болезни с/х растений». Изд. «Колос», 1967.
- Мехтиева Н. А. Нематофаговые хищные грибы. Дисс. на соискание уч. степени доктора биол. наук. Изд-во АН Азерб. ССР, 1969.
- Раджабова А. А., Беккер З. Э. Сравнительное изучение методом тонкослойной хроматографии ненасыщенных соединений из мицелия некоторых гифомицетов. Баку, 1971.
- Сидорова И. И. Антибиотические вещества хищных грибов. Сб. «Нематодные болезни с/х растений». Изд. «Колос», 1967.
- Сопуров Ф. Ф. Хищные грибы-гифомицеты и их применение в борьбе с патогенными нематодами. Ашхабад, 1958.
- Хо-Ван-Кью. Биологические свойства хищных грибов. Автореф. дисс. на соискание уч. ст. канд. биол. наук. Изд. МГУ, 1968.
- Oithof H., Esteve R. Hematoxin produced by the nematophagous fungus arthrobotrys oligospora Fres. Nature, 197, 514, 1963.

Институт зоологии

А. А. Рәчәбова

Поступило 5.VI 1969

Трихотесинин нематод фәаллығы вә онун стандарт шәклиндә истифадә олунмасы үсулу илә модификасија

ХУЛАСӘ

Тәдгигатда трихотесинин нематосид фәаллығы өңрәнилмишdir. Мүәжжән едилмишdir ки, трихотесин сиркә нематодлара гарышы фәаллыға маликdir вә 30 дәгигә мүддәттіндә 500 мкг/мл кәсафәтдә онлары өлдүрүр. Тәләфедилмә мүддәти трихотесин кәсафәттіндән экс оларға логарифмик тәнлијә көрә дәјишилир.

Г. А. КАСИМОВА, Р. А. АЛИЕВ

НЕМАТОДЫ ЗЕМЛЯНОГО ОРЕХА—АРАХИСА (*ARACHIS HYPOGAEA*) ШЕКИ-ЗАКАТАЛЬСКОЙ ЗОНЫ АЗЕРБАЙДЖАНА

(Представлено академиком АН Азербайджанской ССР М. А. Мусаевым)

Среди вредителей сельскохозяйственных культур нематоды (круглые черви) занимают одно из основных мест и отрицательно влияют на рост, развитие и урожайность растений. Нематоды являются не только паразитами, но и инокуляторами грибных и вирусных заболеваний в растениях.

Нашиими многолетними исследованиями установлено, что сельскохозяйственные культуры и сорные растения различных полей Азербайджана имеют богатую фауну нематод, из которых 31 вида являются паразитами растений. Галловые нематоды, стеблевые нематоды картофеля, лука, земляники, пшеничная нематода, рисовый афеленх, хмелевая и хризантемная нематоды и другие вызывают нематодные заболевания в растениях и являются одной из причин потери урожая.

Нематоды арахиса до сих пор не изучались, поэтому мы задались целью изучить нематодофауну этой культуры. Арахис возделывается на сероземах, а также на каштановых и луговых почвах, богатых органическими веществами; корень его стержневой и глубокопроникающий (до 186 см), поэтому мы предполагали найти богатый фаунистический материал.

Материалом настоящей работы служили пробы, собранные в течение двух вегетационных периодов (1967—1968 гг.) из 23 различных точек Закатальского, Шекинского и Белоканского районов. Обследования проводились по отдельным пунктам в разные сроки, благодаря чему пробы были взяты в различные периоды развития арахиса. Были взяты 52 пробы растений и почвы. Каждая проба растений анализировалась и в разных объемах исследовалась по методу Бермана. Почву промывали через мельничный газ. Всего подвергнуто анализу 308 проб растений и почвы. Нематоды были обнаружены в 142 пробах в количестве 1018 экз. В результате анализа и определения собранного материала было выявлено, что в растениях арахиса и в почве около его корней обитают 34 вида нематод, относящихся к 17 родам и 4 отрядам.

Фитонематоды, обнаруженные у арахиса, их локализация
и экологические группы

Нематоды	Локализация	Экологическая группа
отр. <i>Tylenchida</i> Thorpe, 1941		
1. <i>Aphelenchus avenae</i>	б, в	Патог. неспециф. фитогельм.
2. <i>Paraphelenchus tritici</i>	б	• • •
3. <i>Paraphelenchus pseudoparasetinus</i>	б	• • •
4. <i>Pratylenchus pratensis</i>	а, б	Патог. специф. фитогельм.
5. <i>Tylenchorhynchus dubius</i>	п	Патог. неспециф. фитогельм.
6. <i>Tylenchus jocustus</i>	а	• •
отр. <i>Rhabditida</i> Chitwood, 1933		
7. <i>Rhabditis brevispinis</i>	б, в	Эусапробионт
8. <i>Cephalobus persegnis</i>	а, б, в	Девисапробионт
9. <i>Cephalobus nanus</i>	а, б	•
10. <i>Eucephalobus striatus</i>	а, б, в	•
11. <i>Eucephalobus elongatus</i>	а, в	•
12. <i>Eucephalobus oxyuroides</i>	а, в	•
13. <i>Eucephalobus filiformis</i>	а, в	•
14. <i>Acrobeles cornis</i>	а, в	•
15. <i>Acrobeles ciliatus</i>	а, в	•
16. <i>Acrobeloides butschlii</i>	а, в	•
17. <i>Chiloplacus symmetricus</i>	а, в	•
18. <i>Chiloplacus lentus</i>	а, в	•
19. <i>Chiloplacus demandi</i>	а, в	•
20. <i>Panagrolaimus rigidus</i>	а, в	•
21. <i>Panagrolaimus subelongatus</i>	а, в	•
отр. <i>Chromadorida</i> Chitwood, 1933		
22. <i>Prismatolaimus dolichurus</i>	п	Пара-ризобионт
23. <i>Monhystera vulgaris</i>	п	•
24. <i>Monhystera filiformis</i>	п	•
отр. <i>Dorylaimida</i> Pearce, 1942		
25. <i>Dorylaimus filiformis</i>	п	•
26. <i>Dorylaimus brigdamensis</i>	а, п	•
27. <i>Eudorylaimus monohystera</i>	а, б, п	•
28. <i>Eudorylaimus obtusicaudatus</i>	п	•
29. <i>Eudorylaimus paraobtusicaudatus</i>	п	•
30. <i>Eudorylaimus bryophilus</i>	в	•
31. <i>Eudorylaimus pratensis</i>	п	•
32. <i>Dorylaimus labiatus</i>	п	•
33. <i>Dorylaimus carteri</i>	б, в	•
34. <i>Prodorylaimus longicaudatus</i>	п	•

Примечание: а—стебель—листья; б—корень; в—плоды; п—почва.

Как видно из данных таблицы, нематоды были обнаружены во всех органах растения арахиса. Заселенность этих органов нематодами неодинакова. Наибольшее число видов (16) было найдено в корневой системе. В плодах арахиса было обнаружено 13 видов. В прикорневой почве обнаружено 15 видов нематод, из которых 10 зарегистрированы только в почве, 1 вид—в почве и в корневой системе, 4—в почве и в плодах арахиса, в стеблях и листвах—9 видов нематод. Общими для корневой системы и надземных органов у арахиса оказались 6 видов.

Все нематоды, обнаруженные в растениях арахиса и в почве, согласно экологической классификации А. А. Парамонова, распределяются по группам: девисапробионты, эусапробионты, пара-ризобионты, фитогельминты патогенно-специфичного и патогенно неспецифичного характера. Из обнаруженных фитонематод самыми типичными оказались девисапробионты, представленные наибольшим числом видов и

особей (14 видов), из них *Cephalobus persegnis* и *Eucephalobus elongatus*—самые распространенные и характерные виды для исследования культуры. Из эусапробионтов был найден только один вид в корнях и плодах арахиса. Пара-ризобионты были обычными для почвы около корней арахиса. Фитогельминты неспецифичного патогенного эффекта были представлены видами: *Aphelenchus avenae*, *Paraphelenchus pseudoparietinus*, *Paraphelenchus tritici*, *Tylenchorhynchus dubius*, *Tylenchus jocustus*. Из фитогельминтов специфичного патогенного эффекта обнаружили один вид—*Pratylenchus pratensis*, который как показало, наше наблюдение и по имеющимся литературным данным, вызывает фитогельминтоз в растениях.

Наибольшее число видов и особей нематод в исследованном растении отмечено в фазе цветения и созревания плодов, что, на наш взгляд, по-видимому, связано с особенностями распределения питательных веществ в растении в различные фазы его развития.

Из представленных материалов видно, что среди отмеченных фитонематод многие являются патогенными и они, как показали наши наблюдения, в отдельные годы сильно вредят изучаемой культуре.

В целях дальнейшей разработки теоретических основ защиты арахиса от указанных видов фитонематод, считаем целесообразным расширить исследования по выяснению особенностей их распространения и экологии.

ЛИТЕРАТУРА

- Парамонов А. А. Основы фитогельминтологии, т. I, М., 1964.
- Тулаганов А. Т. Растительноядные и почвенные нематоды Узбекистана. Ташкент. Изд. Ин-та зоологии и ботаники АН Узб. ССР, 1949.
- Кирьянова Е. С. Круглые черви (нематоды)—паразиты. М., 1955.
- De man G. J. Die freil in der reinen Erde und im Wasser Lebenden Hematoden der Niederländische Fauna, Eine systematischfaunistische Monographie Leiden, 1884.

Институт зоологии

Поступило 13.XII 1969

Г. Э. Гасымова, Р. Э. Элиев

Азэрбајҹанын Шәки-Загатала зонасында бечәрилән Арахисин (*Arachis hypogaea*) нематодлары

ХҮЛАСӘ

Тәдгигат 1967—1968-чи илләрдә Шәки, Загатала вә Балакән районларында 23 мүхтәлиф саһәдә бечәрилән арахис биткиси вә онун көктәтрафы торпағында апарылышыдыр.

Әлдә едилән 208 нүүмнәдән фитогельминтологи анализ нәтиҗәсүндә 1018 әдәд нематод топланыш, оларын тә'јини нәтиҗәсүндә Арахис вә онун көктәтрафы торпағында 4 екологи група иң 34 нөв нематодун јашадыгы ашкар едилмишdir. Бу нематодларын 6 нөвү патокен нематодлар олуб, мүшәнидәләримизни көстәрдији киммә, мүхтәлиф илләрдә тәдгиг едилән биткиләрә зијан вермәси аյдыналашышыдыр.

АЗЭРБАЙЧАН ССР ЕЛМЛЭР АКАДЕМИЯСЫНЫН МӘРҮЗӘЛӘРИ
ДОКЛАДЫ АКАДЕМИИ НАУК АЗЕРБАЙДЖАНСКОЙ ССР

ТОМ XXVII

№ 5

1971

УДК 582.47

БОТАНИКА

С. Г. МУСАЕВ, Я. М. ИСАЕВ

AVENA BRUHNSIANA GRUN. (ОВЕС БРУНСА)—
ЭНДЕМИЧНЫЙ ВИД ФЛОРЫ АЗЕРБАЙДЖАНА

(Представлено академиком АН Азербайджанской ССР А. М. Кулиевым)

В 1868 г. Л. Ф. Грунер описал из флоры Азербайджана новые виды овса *A. bruhsiana* Grun. по материалам, собранным на приморских песках острова Артема (прежнее название—остров Святой).

В 1964 г. Н. А. Бор (N. A. Bog, 1964) приводит вид *Avena ventricosa* Bal. во „Флоре Ирака“. Это обстоятельство привело к тому, что некоторые систематики стали сомневаться в том, что данный вид не является эндемом Азербайджана, даже канадский ботаник T. Rajhathy (1966) считает, что данный вид является подвидом *Avena ventricosa* Bal.

Исходя из этого, в 1968—1969 гг. на Апшероне, о-вах Артема, Жилом и Булла, помимо наблюдения в природе, нами был собран значительный гербарный материал по этому виду.

В результате обработки этих материалов в БИН (Ленинград) и в Институте ботаники АН Азербайджанской ССР было установлено, что в этих гербарных экземплярах, помимо *Avena bruhsiana* Grun., имеется также новый вид для флоры СССР—*Avena ventricosa* Bal. Овес вздутый встречается в основном в областях Средиземноморья, на Балканском полуострове, в Северной Африке, Азии (Ирак), а в пределах СССР—на Апшеронском полуострове.

Сравнительно-морфологические признаки:

Основные морфологические признаки	<i>A. ventricosa</i> Bal.	<i>A. bruhsiana</i> Grun.
Форма метелки	Односторонняя скжатая	Односторонняя раскидистая
Верх. колос. чешуй	29—30 мм	32—40 мм
Ниж. цв. чешуй	15—20 мм	20—25 мм
Дл. каллуса	до 6 мм	6—10 мм
Опущенность оси колоска	Голые	Опущенные
Длина коленчатой ости	33—34 мм	35—48 мм

Эти виды на Апшероне распространены почти в идентичных эколого-географических условиях и встречаются преимущественно на вторичных местообитаниях.

A. bruhsiana Grun. является эндемом, обладающим узким ареалом в основном в восточной и северо-восточной частях Апшеронского полуострова, чаще всего встречаются на пясмофитных и супесчаных местообитаниях. Больше всего приурочен к вторичным местообитаниям. Основными компонентами О. брунса являются: *Avena eriantha* Dur. (*A. pilosa* MB), *Zerna rubens* (L.) Grossh., *Z. tectorum* (L.) Panz., *Lolium rigidum* Gaud., *Poa bulbosa* L., *Aegilops triuncialis* L. и др. Формирование О. брунса на Апшероне, возможно, имеет гибридогенный характер. Ограничное распространение его в этом районе, несомненно, связано с влиянием чрезмерной пастьбы, сильным воздействием человека на природный ландшафт Апшерона.

ЛИТЕРАТУРА

1. Ахундов Г. Ф. Материалы к познанию флоры высших растений Азербайджана. Изв. АН Азерб. ССР, № 2, 1966.
2. Карагин И. И. Флора Азербайджана, 1:205, 1950.
3. Вор N. A. Flora of Iraq. 9: 330, 1968.
4. Gruner L. F. Bull. Soc. Bot. Europe, 40: 458, 1867.
5. Rajhathy T. A collection of wild oats species in the Mediterranean region: 9, 1966.

Институт ботаники

Поступило 10.X 1969

С. Г. Мусаев, Я. М. Исаев

Avena bruhsiana Grun.—бронс вәләмири Азәрбајҹан флорасы ендемидир

ХУЛАСЭ

1867-чи илдә Л. Ф. Грунер Артјом адасындан брунс вәләмири топламыш вә ендем кими *Avena bruhsiana* Grun. ады илә типик олараг тәсвир етмишdir. Соң заманлар бә'зи ботаникләр бу вәләмир нөвүнүн ендем олмасына шүбә илә јанашмыш, бә'зиләри исә ону Шишкян вәләмири нөвмүхтәлифији олдуғуну иддия етмишләр. Лажин топламныш материаллары Әрәнәркән мә'лум олмушшур ки, һәгигәтән брунс вәләмири (*Avena bruhsiana* Grun.) Азәрбајҹан флорасы учун ендемидир. *A. bruhsiana* Grun. илә јанаши, Абшеронда һәмчинин дәнизкәнары гумлугларда, ондан сүнбүл пулчуғунун вә каллусун гыса олмасы илә фәргләнән, ССРИ флорасы учун йени вәләмир нөвү саýлан Шишкян вәләмир дә *A. ventricosa* Bal. јаýлмышдыр.

АЗЭРБАЙЧАН ССР ЕЛМЛЭР АКАДЕМИЯСЫНЫН МЭРҮЗЭЛЭРИ
ДОКЛАДЫ АКАДЕМИИ НАУК АЗЕРБАЙДЖАНСКОЙ ССР

ЧИЛД XXVII

№ 5

1971

УДК 633.11.631.52

СЕЛЕКСИЯ

Академик И. Д. МУСТАФАЈЕВ, Ә. Г. МӘММӘДОВ

ЧИНСАРАСЫ ҺИБРИДЛЭРИН СЕЛЕКСИЈАДА ЭҢӘМИЙЈЭТИ

Бүтүн саңаләрдә олдуғу кими елмдә дә габагчыл, јени нәзәрийе, јени үсул һәмишә гәләбә. алымыш вә чалыр. Тәчүрәбә, елмдә олан јенилигин ән гызығын мудафиәчисидир. О, јалан, гејри-елмі мұлаһизәләрин узун мүддәт јашамасына имкан вермир. Буна биолокија елминдә олан соң һадисәләр мисал көстәрилә биләр.

Узун мүддәт әрзиндә биолокија елминин мұһум мәсәләләриндән бири узаг һибридләшdirмә олмушшур. Бә'зи тәдгигатчылар тәрәфиндән бир сыра фактлар инкар едиләрәк белә фикир Јараныштыры ки, куја нөварасы вә чинсарасы һибридләшdirмәје вахт сәрф етмәк лазыым дејил, онсуз да бу саңадә апарылан ишләр јерсиз вә әңәмийјәтсиздир. О, јалныз организмләрин ирсијәтини лахлатмагдан башга бир шеңдејилдири вә бундан алымыш формаларын һеч бир тәсәррүфат әңәмийјәти јохдур. Үмумијјәтлә, һибридләшdirмәје белә бахыш тәбиэт гануиларына зидд бахыш олмушшур. Һибридләшdirмәје гарыш олан бу мұнасибәт узун мүддәт кәнд тәсәррүфатында битки сортларынын вә һејван чинсләринин алымасыны ләнkitмишdir.

Вахты илә Ч. Дарвин өз тәдгигатынын И. Келрејтерин, У. Гербертин, Т. Најтын, Ш. Ноденин, М. Вихурин, О. Сажрин вә башгапарынын апардыглары нөварасы һибридләшdirмә ишләринә јекун вураг көстәрмишdir ки, белә чарпазлашма нәтижесиндә истәнилән форманы алмак мүмкүндүр.

И. В. Мичуринә гәдәр узаг һибридләшdirмәнин нәзәри вә елми әсасларынын планилы сурәтдә, һеч кәс дәриндән өрәнмәмишdir. О, мүәјјән етмишdir ки, узаг һибридләшdirмә заманы тамамилә јени әламәт вә хассәләрә малик олан, өз'сағламлығы вә мәһкәмлиji илә фәргләнән, һәјат шәраитинә даһа асан ујгулаша билән јени битки формалары алышыр вә һәмин формалары истәнилән истигаметдә тәрбијә етмәк мүмкүндүр.

Узун илләр бою апарылан тәдгигатларын нәтижәсі субут етмишdir ки, јени сортларын յарадылмасында һибридләшdirмә ән әлверишили вә нәтижәли селексија үсулудур.

Җографи чәһәтдән узаг мәншәли айры-айры иев вә чинсләр арасында апарылмыш һибридләшdirмә, бир тәрәфдән селексија иши үчүн гијметли формаларын алымасыны, ирси әламәтләрин иәсилдән-иәсилә кечмә ѡлларыны айынлашдырыр, дикәр тәрәфдән исә һибридләшm-

дә иштирак едән валидеји формаларынын гоһумлуғуны мүәјјәнләш-дирмәк мәгсәдини дашијыр.

Өлкәмиздә, еләчә дә харичдә нөварасы вә чинсарасы һибридләшdirмә васитәсилә алымыш бир сыра гијметли сортлар вардыр. Бүнлардан Камалинка-233, Даңневосточнаја, Тулин-197, Еритроспермум-82/2, Саратовскаја-38, Саррубра, Заволжскаја, гышлыг буғда-чајыр һибридләриндән (ППГ-599, ППГ-186) Одескаја-3 вә с. сортлары көстәрмәк олар. Бу сортлар узаг һибридләшdirмә васитәсилә алымышдыр.

Һәмин саңадә (бугда илә јабаны буғласту, јабаны буғлаоту илә човдар, буғда илә хајналде арасында дәзүнә вә эксинә һибридләшdirмә ишләри) Азәрбајчан ССР ЕА Кенетика вә Селексија Институтунун бириллик дәнили вә дәнили-пахлалы биткиләр шө'бәсендә кениш мигјасда һибридләшdirмә ишләри апарылыр.

Бу мәгаләдә буғда илә јабаны буғлаоту арасында көрүлән чарпазлашманын мүвәффәгијәтindән, биринчи нәсилдә әмәлә кәлән күчлү һетерозисликдән вә иккинчи нәсилдә кедән началанмадан јох, һәр шејдән әввәл, алымыш једдинчи нәсил констант һибридләриң мәһсүлдарлығы, дәнин тәркибиндә олан зәнкүн клејковина вә јүксәк тәсәрүфат көстәричиләри һагында мә'лumat вермишdir.

Чәдвәлдән көрүнүр ки, һибрид комбинацијалар ежىн валидеји формаларынын һибридләшdirмәсindән алымасына баҳмајараг, айры-айры биткиләрдән топланмыш дәнләrin тәркибиндә олан зұлал вә клејковинаја кәрә фәргләнмишлар. Белә ки, һибридләр валидеји формалары, стандарт сортларла (Чәфәри вә Болбуғда) јанаши сәпилмиш вә мұғајисәли өрәнилмишdir. Тәдгигат заманы мұхтәлиф комбинацијалардан алымыш јүксәк көстәричиләре малик олан бәрк буғдаја иид һибрид формалар сечилмишdir.

Гејл етмәк лазыымдыр ки, бир гајда кими, һибридләрдә дәнин мүтләг чәкиси јүксәк олмушшур. Белә ки, 1000 әдәд дәнин чәкиси 65 г-а гәдәр јүксәлмишdir. Бәрк буғда илә јабаны буғлаоту олан биунсиалисии чарпазлашдырылмасындан алымыш апуликум нәвмұхтәлифли-ине аид форманын дәнини мүтләг чәкиси ана формадан (серулессенсендә) 20,5, ата формадан (биунсиалисден) 47 г чох олмушшур. Бу да һибридләрин һетерозис хүсусијәтини көстәрир. Алымыш формаларын әксәријјәтindә мүтләг чәкиси валидеји формаларындан вә стандарт сортлардан јүксәк иди. һибрид формалар һүндүрлүjүнә кәрә дә валидеји формалардан вә стандарт сортлардан чох олмушшур. Белә ки, һибридләрин һүндүрлүjу 135 см-дән 165 см-ә гәдәр, ана формада 118, ата формада исә 30—49 см-и тәшкіл етмишdir. Бундан башга, һибридләрин колланмасы јүксәк, сүнбүлләри исә узун олмушшур. Бу да һибрид биткиләри һетерозис хүсусијәтлилигини көстәрир.

һибрид дәнләрин шүшәвариљи валидеји формаларына иисбәтән чох олмушшур. Белә ки, шүшәварилик ана формада (серулессенсендә) 85,5%, ата формалардан биунсиалисден вә трунсиалисден сыйыр, һибридләрдә исә бу көстәричи 94—100%-и тәшкіл етмишdir. Бундан башга, һибридләрдә биоложи мәһсүлдарлығ јүксәк олмушшур. Һордениформа аид формада мәһсүлдарлығ 40,6 сект иди.

Көстәрмәк лизымдыр ки, чинсарасы һибридләшmәдән алымыш формалар кәләчәкдә селексија ишинде ән јаҳшы башланғыч материал ола биләр.

һибрид дәнләрин тәркибиндәки јаш клејковина 53%-ә гәдәр јүк-сәлменишdir. Бунуила јанаши, зұлалы мигдары да чох севиндиричи иид. һибридләрдән 14,2-дән 17,6%-ә гәдәр олду. Белә ки, айры-айры формаларда зұлал 14,2-дән 17,6%-ә гәдәр иид. Јүксәк көстәричиләр чинсарасы һибридләшmәнин мәһсүлу олуб,

РЕЧИ

История речи в русской литературе

онун биологи вә тәсәрүфат әһәмијәттілігінни көстәрир. Беләликлә айдыналашыр ки, чинсарасы һибридләшдирмәни бу истигамәтдә апармагла (буғданы ана вә јабаны бугдаотуну исә ата форма кими көтүрмәклә) тәркиби зұлал вә клејковина илә зәңкін олан формалар алмаг мүмкүндүр. Бу истигамәтдә чинсарасы һибридләшдирмәни давам етдирсәк, бир тәрағдән селексијачылары зәңкін тәркибли башланғыч материал илә тә'мин етмиш оларыг, дикәр тәрағдән исә кәләчәкдә тәсәрүфатларда тәтбиг едилән йүксәк мәһсүлдар сортларын алынма-сына зәмииң җарадарыг.

Кенетика въ селекција институту

Алынмышдыр 12.III 1969

академик И. Д. Мустафаев, А. К. Мамедов

Значение межродовых гибридов в селекции

PE3IOME

Несмотря на биологическую значимость и практическую целесообразность отдаленной гибридизации, по сей день межвидовая и межродовая гибридизация являются предметом научных споров.

Но мировая научная практика, в частности классические исследования Н. В. Мичурин, доказали, что межвидовые и межродовые гибриды имеют большое значение в эволюции растений для получения хозяйствственно ценных форм.

Проводимые нами исследования с 1961 г. по межродовой гибридизации полностью доказали, что отдаленная гибридизация является неисчерпаемым источником по ресинтезу различных новых форм, которые с успехом могут быть использованы в селекционном процессе.

МЕДИЦИНА

Л. И. АБАСКУЛИЕВА, Т. А. ХАНОМОВА

ВЛИЯНИЕ АНАЛЬГЕЗИНОВОГО ОБЕЗБОЛИВАНИЯ
НА ИЗМЕНЕНИЯ В ПОКАЗАТЕЛЯХ ЭКГ, ВЫЗВАННЫХ
ВВЕДЕНИЕМ МЕЗАТОНА

(Представлено академиком АН Азербайджанской ССР М. А. Топчибашевым)

В настоящее время большинство хирургов высказывается за проведение оперативных вмешательств в стадии поверхностного наркоза, мотивируя это отсутствием тяжелых нарушений функций органов, тканей и сохранением компенсаторно-приспособительных реакций в условиях анальгезии (М. А. Топчибашев, J. Artusio, И. М. Топчибашев, Ф. Г. Углов и др.).

В 1938 г. акад. М. А. Топчибашевым был предложен один из видов инъекционного наркоза — эфирно-масляный инъекционный, вызывающий в организме обезболивание в стадии анальгезии.

Клиническое изучение влияния анальгезина из состояния сердечной деятельности также говорит в пользу эфирно-масляного наркоза (Н. И. Мицаканов). В исследовании Ф. М. Ахундова приводятся материалы, из которых следует, что анальгезиновое обезболивание повышает автоматизм синусового узла, в пределах физиологической нормы ускоряет предсердно-желудочковую проводимость, мало влияет на внутрижелудочковую проводимость. Автор указывает также, что анальгезиновое обезболивание не вызывает нарушения коронарного кровообращения.

Аналогичные данные получены в работе С. М. Зольникова и Н. Г. Рославлевой, которые указывают на едва заметные сдвиги в ЭКГ больных, оперируемых в стадии анальгезии.

В. Л. Лукич приводит данные Бонифаса, Брауна и Кронена, которые показали, что во время эфирной анестезии сила сердечных сокращений бывает максимальной и больше, чем при других обезболивающих средствах.

Возможность использования вазопрессорных средств во время проведения оперативных вмешательств под анальгезиновым обезболиванием явилась предпосылкой данной работы, посвященной изучению влияния мезатона на функциональное состояние сердечной мышцы.

О влиянии мезатона на деятельность сердца сообщают многие авторы, заостряя свое внимание на первоначальном отрицательном

хронотропном и положительном инотропном действии мезатона (Ю. И. Сыриева, А. Ф. Иванова, Е. В. Аврахова, А. В. Виноградов, Н. М. Рзаев, Н. Г. Поликов, Б. Г. Волынский, С. М. Фрейдман и К. И. Бендер, М. Б. Шклар и А. Е. Сокол и др.).

О влиянии функционального состояния центральной нервной системы в реализации действия мезатона указывается в работе Г. Н. Кассиля (1953). О. Д. Колюцкая (1964) нашла в условиях эфирно-кислородного наркоза лишь небольшое урежение пульса.

Нами изучены электрокардиографические сдвиги у 27 беспородных собак в двух сериях.

В I серии у 13 животных было воспроизведено состояние анальгезии по методу акад. М. А. Топчибашева под кожным введением анальгезина в 3 точках из расчета 3 мг/кг. Через 20 мин после инъекции в период наступившей полной анальгезии, подтвержденной соответствующей ЭЭГ-картины (записью на ЭЭГ-1601М), внутривенно вводили в разных дозах (0,1; 0,5; 1,0 мг/кг) мезатон.

Во II серии производили у 14 интактных собак те же исследования. Запись ЭКГ в 3 стандартных отведениях осуществлялась на 3-канальном электрокардиографе типа ЭКПСЧ-3 при усилении 1 мв = 1 см с помощью игольных электродов. ЭКГ у собак записывали до начала опыта, в период анальгезии и после введения мезатона беспрерывно первые 5 мин и далее в течение 1 ч через каждые 5 мин. Параллельно вели наблюдения над высотой артериального давления, которое определяли в бедренной артерии прямым способом. Полученные данные статистически обработаны методом непрямых разностей с применением константной формулы, рекомендованной Е. В. Монцевичюте-Эрингене (1964).

Из 15 случаев после анальгезинового обезболивания частота пульса возросла у 10 собак на 10—40 ударов, без изменения пульс остался в одном случае; незначительно замедлился на 2—6 ударов в 2 случаях.

Для ЭКГ-картины влияния мезатона на фоне анальгезина характерны следующие этапы: при большой дозе — 1,0 мг/кг тотчас после введения мезатона отмечается первичное учащение сердечного ритма, которое длится первые 5 сек и резко сменяется брадикардией. Меньшие дозы первичного учащения пульса не дают. Здесь действие мезатона начинается непосредственно с характерного вагус-пульса. Латентный период брадикардии с уменьшением дозы увеличивается, составляя в среднем 10—13 сек. Максимальное замедление пульса наступает тем раньше, чем доза больше — 16,6—26,6 сек и составляет: для 1,0 мг/кг в среднем 44,3% против 36,5% у интактных собак; для 0,5 мг/кг — 56,5% и 38%; при дозе 0,1 мг/кг — 44,2% и 47,8%.

Длительность брадикардии в условиях анальгезинового обезболивания колеблется в среднем от 2 до 6 мин. Изменения функции сердечной мышцы возникают в основном в период брадикардии, совпадают с подъемом артериального давления и сохранением его на максимально высоких цифрах, характеризуются нарушением предсердно-желудочковой проводимости, а также повышением возбудимости сердечной мышцы. При дозе 0,1 мг/кг возникает в основном частичная атриовентрикулярная (av) блокада длительностью 2,5—3 мин, на фоне которой отмечаются единичные экстрасистолы и миграция источника ритма (рис. 1).

С увеличением дозы проводимость нарушается больше, увеличивается число случаев с полной av-блокадой, а также длительность блокады; у большинства животных отмечается бигеминия, изредка миграция источника ритма (рис. 2). При дозе 1,0 мг/кг наряду с пол-

ной блокадой отмечаются иногда случаи с узловым ритмом: экстрасистолия носит характер бигеминии, отмечается изредка появление приступов пароксизмальной тахикардии (рис. 3).

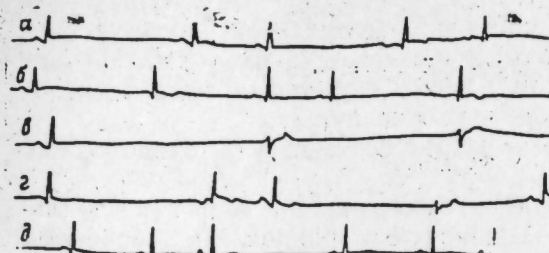


Рис. 1. ЭКГ собаки от 30. V 1968 г.: а — исходная; б — в состоянии анальгезии; в — д — после внутривенного введения 0,1 мг/кг мезатона через: в — 15 сек; г — 5 мин; д — 10 мин.

переходит в частичную, которая сохраняется на фоне ау-блокады и иногда до и после нее отмечается миграция ритма в виде появления отдельных сокращений из разных отделов миокарда. В той или иной степени описанные изменения сердечного ритма встречаются у всех животных, получивших малую дозу мезатона.

Увеличение дозы мезатона существенно сказывается на состоянии ЭКГ параметров; число случаев с полной ау-блокадой уменьшается за счет увеличения числа случаев с заменой исходного синусового ритма узловым. Из 5 собак, получивших дозу 0,5 мг/кг, число ау-блокад всего 2, ау-ритма — 3; при дозе 1,0 мг/кг блокад — 1, ау-ритма — 3 с переходом 1 случая узлового ритма в мерцательную аритмию тахисистолической формы. В ряде случаев ау-ритму предшествовала кратковременная блокада. Длительность узлового ритма у интактных собак 10—15 мин.

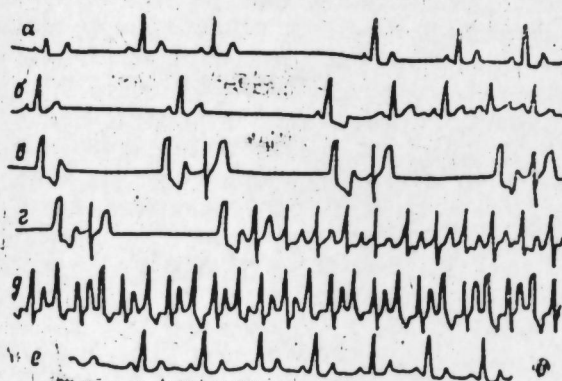


Рис. 2. ЭКГ собаки от 4. VI 1968 г.: а — исходная; б — в состоянии анальгезии; в — е — после внутривенного введения 0,5 мг/кг мезатона через: в — 45 сек; г — 2 мин; д — 10 мин; е — 20 мин.

На фоне анальгезинового обезболивания мезатон лишь в единичных случаях при испытанных нами дозах вызвал последующую тахикардию.

Ведущими изменениями ЭКГ-критериев у интактных животных при дозе 0,1 мг/кг являются миграция источника ритма и раннее наступление полной атриовентрикулярной блокады. Ау-блокада держится 1—3 мин, а затем

переходит в частичную, которая сохраняется несколько секунд. В

некоторых случаях на фоне ау-блокады иногда до и после нее отмечается миграция ритма в виде появления отдельных сокращений из разных отделов миокарда. В той или иной степени описанные изменения сердечного ритма встречаются у всех животных, получивших малую дозу мезатона.

Увеличение дозы мезатона существенно сказывается на состоянии ЭКГ параметров; число случаев с полной ау-блокадой уменьшается за счет увеличения числа случаев с заменой исходного синусового ритма узловым. Из 5 собак, получивших дозу 0,5 мг/кг, число ау-блокад всего 2, ау-ритма — 3; при дозе 1,0 мг/кг блокад — 1, ау-ритма — 3 с переходом 1 случая узлового ритма в мерцательную аритмию тахисистолической формы. В ряде случаев ау-ритму предшествовала кратковременная блокада. Длительность узлового ритма у интактных собак 10—15 мин.

На фоне ау-ритма или блокады, а также по выходе из нее и установлении синусового ритма почти во всех случаях у интактных животных отмечается повышенное возбудимость в виде предсердных, реже желудочковых экстрасистол, единичных и групповых. Характерно появление бигеминии, которая возникает на фоне как синусового ритма, так и узлового. При дозах 0,5 и 1,0 мг/кг у интактных животных бигеминия часто протекает с кратковременным нарастанием ритма, имеющим место обычно в пределах первых минут после введения мезатона и длившимся недолго — 12—20 сес.

В 2 случаях после введения дозы 1,0 мг/кг зарегистрирован переход групповой экстрасистолии в кратковременный приступ пароксизмальной тахикардии. Установившийся затем синусовый ритм характеризуется наличием сниженных двухфазных, часто отрицательных зубцов Т и III, смещением ниже изолинии интервала S-T. Эти признаки гипоксии миокарда держатся 5—30 мин, после чего проходят и ЭКГ возвращается к исходной.

Таким образом, нарушения функций сердечной деятельности, вызванные введением разных доз мезатона в условиях анальгезинового обезболивания, сводятся к характерным для мезатона брадикардии, миграции источника ритма, частичной (а при больших дозах полной) атриовентрикулярной блокаде, появлению экстрасистолии. На фоне анальгезинового обезболивания описанные изменения возникают раньше, отличаются меньшей выраженностью, чем у интактных животных, носят кратковременный характер с полным последующим восстановлением функций сердца.

ЛИТЕРАТУРА

1. Аврахова Е. В. «Клиническая медицина». М., 1957, 5, 50—56.
2. Ахундов Ф. М. «Азмельжурнал». Баку, 1964, 11, 3—9.
3. Виноградов А. В. Герапевтический архив. М., 1957, 2, 56—65.
4. Волынский Б. Г., Фрейдман С. Л., Бендер К. И. «Лечение лекарственных веществ при наркозе и гипотермии», 1965.
5. Зольников С. М., Ростовцева Н. Г. Тез. докл. II Всесоюз. конф. хирург., травмат. и анестезиологов. 20—25 декабря, Баку, 1961, стр. 125.
6. Иванова А. Ф. «Фармакология и токсикология», т. XV, № 3, 4'—44, 1952.
7. Кассиль Г. И. ДАН СССР*, т. ХСИ, № 5, М., 1953.
8. Колюцкая О. Д. «Общая умеренная гипотермия (эксперим. клинич. материал)», т. 1—2. Дисс., 1964.
9. Лукич В. Л. Тр. научн. сессии, посвящ. проблеме «Анастезия в экстр. хирургии брюшной полости», т. 12, 47—51, 1965.
10. Мицаканов Н. И. «Инъекцион. эфирно-масляни. наркоз. III сб. тр.», Баку, 1942, 59—63.
11. Монцепицюте-Эригина Е. В. «Пат. физиол. и эксперим. терап. М., 1964, 4, 71—78.
12. Поляков Н. Г. «Фармак. и токсикол. М., 1959, 1, 15—20.
13. Рзаев Н. М. «Азерб. мед. жур.», Баку, 1958, 1, 96—100.
14. Сирнева Ю. И. «Фармакол. и токсикол. М., 1951, 1, 39—42.
15. Топчибашев М. А. «Новый хирургич. архив», т. 43, 4, 271—278, Баку, 1939.
16. Топчибашев И. М. «Анальгезиновое обезболивание в хирургии». Баку, 1964.
17. Углов Ф. Г., Стуклей А. А., Воронов А. А., Александров О. В. «Вестн. хирургии им. Грекова», 10, 3—11, М., 1956.
18. Шкляр М. Б., Сокол А. Е. «Терапев. архив», М., 1967, т. 37, 67—71.
19. Agius J. F. Diethyl ether dualgesia. Journ. pharmacol. exper. therap., 1954, 8, 3.

НИИЭ и КМ

Поступило 9. VI 1969

Л. И. Абасгулиева, Т. А. Ханумова

Аналгезин кејләшдирилмәсими мезатон
јеридилмәси иәтичесинде екг көстәричиләриндән әмәлә
кәлән дәјишикликләр тә'сир

ХУЛАСӘ

Аналгезин кејләшдирилмәсими дозада мезатон јеридилдикдә үрәк фәллијәттәнде әмәлә кәлән дәјишикликләр мезатонун тә'сиринә аид брадикардијадан, атриовентрикулјар блокададан, ритм мәнбәјинин миграцијасындан вә экстрасистолијасын әмәлә кәлмәсий дән ибараәтдир.

Аналгезин кејләшдирилмәси дөврүндә гејд едилмиш дәјишикликләр даһа тез әмәлә кәлиб, контрол нејваилардақы дәјишикликләр нисбәтән даһа аз тә'сир көстәрир вә тә'сир мүддәти гыса олмагла бәрабәр үрәк фәллијәттән тез нормаға гојыдыр.

УДК 616. 12-008. 331. 1+615. 83

МЕДИЦИНА

М. Н. ЖИЛЬЦОВА

НЕКОТОРЫЕ НЕЙРО-ГУМОРАЛЬНЫЕ
ПОКАЗАТЕЛИ ПРИ РАННИХ СТАДИЯХ ГИПЕРТОНИЧЕСКОЙ
БОЛЕЗНИ И ИЗМЕНЕНИЕ ИХ ПОД ВЛИЯНИЕМ
КАЛИЙ-ЭЛЕКТРОФОРЕЗА С ПОСЛЕДОВАТЕЛЬНЫМ
ПРИМЕНЕНИЕМ СЕРОВОДОРОДНЫХ ВАНН

(Представлено академиком АН СССР В. В. Париним)

Гипертоническая болезнь—сосудистое заболевание, в основе которого наблюдаются глубокие нарушения центральной нейро-гуморальной регуляции сосудистого тонуса. Сосудистый тонус, его регуляция зависят от многих факторов: нервных, почечных, эндокринных, обменных.

По литературным данным известно, что повышенная реактивность сосудов к катехоламинам, передко при нормальном их количестве в крови, играет немалое значение в патогенезе гипертонической болезни. В этой связи представляет интерес изучение функционального состояния симпатоадреноаловой системы, осуществляющей посредством своих гуморальных агентов—катехоламинов ряд важнейших функций организма, в том числе регуляцию сосудистого тонуса. Исследование глюкокортикоидной функции коры надпочечников по суточной мочевой экскреции 17 ОКС имеет большое значение, учитывая их роль в сохранении вегетативного равновесия и в формировании адаптационных реакций организма к воздействию физических факторов.

Мы изучали раздельное влияние на функциональное состояние этих систем калий-электрофореза и сероводородных ванн, успешно применяемых для лечения ранних форм гипертонической болезни.

Материалов об исследовании состояния симпатоадреноаловой системы и глюкокортикоидной функции коры надпочечников под влиянием данных физиобальнеофакторов в доступной нам литературе мы не обнаружили.

Обследовано 107 больных гипертонической болезнью, все мужчины, в возрасте от 26 до 60 лет, с давностью заболевания от года до 20 лет. У 20 больных была гипертоническая болезнь IБ стадии, у 76—IIА и у 11—IБ (по А. Л. Мясникову), преимущественно цереброкардиальной, церебральной форм. В клиническом состоянии преобладали симптомы общего невроза IБ стадии, типичные церебральные

и кардиальные жалобы II стадии, связанные к более стойким повышением артериального давления. Артериальное давление, по Короткову было повышено соответственно стадии и фазе заболевания: систолическое в IБ— $149 \pm 2,51$; IIА— $164 \pm 1,72$; IIB— $189 \pm 6,39$; диастолическое соответственно в IБ— $91 \pm 1,7$; IIА— $101 \pm 0,91$; IIB— $110 \pm 2,9$ мм рт. ст. В клиническом статусе выявлялись симптомы, характерные для гипертонической болезни.

На фоне клинического режима проводили лечение комплексом, включающим: гипохлоридную диету (стол № 10, по Певзнеру, с 2—3 г поваренной соли), калий-электрофорез (10% хлористого калия, по Вермелю, с плотностью тока $0,03 \text{ мА/см}^2$, продолжительностью 8—12, через день, 5—6 процедур) с последовательным применением сероводородных ванн (с концентрацией сероводорода 100 мг на 1 л, 36°C , 8—12, через день, 5—6 ванн на курс).

Обоснованием применения данного комплекса явилось известное положение о значении нарушенного электролитного равновесия в патогенезе гипертонической болезни.

Определение катехоламинов и их биологических предшественников дофе и дофамина в суточной моче (флюорометрическим методом Э. Ш. Матлиной с соавт.) до лечения показало повышение экскреции адреналина у всех больных, но особенно в IБ стадии $6,57 \pm 0,14/24 \text{ мкг}$, IIB— $6,88 \pm 2,16$ и меньше в IIА— $6,13 \pm 1,12$ (при норме $3,5 \pm 0,14$). Экскреция норадреналина была снижена в IIА— $10,53 \pm 1,78$, меньше IБ— $13,12 \pm 2,27$ и нерезко повышена в IIB— $14,39 \pm 1,83 \text{ мкг}/24 \text{ г}$ (при норме $13,9 \pm 0,46$). Отношение норадреналина к адреналину в моче, в норме равное 4, по Э. Ш. Матлиной, у наших больных было снижено.

Выявлено повышение у 50% больных суточной мочевой экскреции дофе и дофамина, но паряду с этим у 50% был снижен дофамин, а 1/4 и дофе.

Таким образом, нами обнаружено повышение активности адреналового и снижение симпатического звена симпатоадреноаловой системы с наличием резервов биологических предшественников катехоламинов у половины больных. Прямой зависимости количества катехоламинов от уровня артериального давления не выявлено, адреналин был высок и в IБ, норадреналин был особенно снижен в IIА стадии.

Суточная мочевая экскреция 17 ОКС была нерезко повышена в IБ стадии $7,23 \pm 0,71 \text{ мкг}/24 \text{ г}$, существенно не отличалась от здоровых в IIА стадии $6,11 \pm 0,52$ и соответственно в IIB— $6,20 \pm 0,41$, но наблюдался большой диапазон индивидуальных колебаний от резко сниженной до значительно повышенной.

После лечения калий-электрофорезом фиксировалась тенденция к нормализации экскреции адреналина в IIА, Б стадиях с $5,56$ до $5,16 \pm 0,53$ и $6,53$ до $4,17 \pm 2,5 \text{ мкг}/24$ и повышение активности в IБ с $6,55$ до $7,15 \pm 1,13 \text{ мкг}/24$.

Мочевая экскреция норадреналина (повышенная до лечения только в IIB) снижалась после калий-электрофореза у всех, особенно в IIА, IIB стадиях, где она была ниже нормы, т. е. уменьшалась активность медиаторного звена симпатоадреноаловой системы.

Обнаружена тенденция к нормализации и снижению дофамина и небольшое повышение дофе.

После лечения сероводородными ваннами выявилось некоторое снижение повышенной активности гормонального звена—адреналина у больных IБ (с $7,15 \pm 1,13$ до $6,74 \pm 1,07 \text{ мкг}/24$) и повышение актив-

ности его в IIА, IIБ стадиях ($5,19 \pm 0,61$ — $5,92 \pm 0,53$ и IIБ—с $4,17 \pm 1,19$ до $4,83$).

Норадреналин после ванн снижался в IIБ и повышался, не достигая уровня до лечения, в IIА, IIБ стадиях.

Увеличилась экскреция после ванн биологических предшественников дофамина в IIБ и дофе в IIА, II стадиях.

Глюкокортикоидная функция коры надпочечников (по данным 17 ОКС) после калий-электрофореза снижалась по средним данным в IIБ, с $7,61$ до $6,25 \pm 1,1$ мг/24, IIА с $6,04$ до $5,74 \pm 0,58$ стадиях и повышалась экскреции в IIБ с $6,41$ до $9,919 \pm 1,9$.

После сероводородных ванн повышалась экскреция 17 ОКС у всех больных во всех стадиях, что свидетельствует о повышении активности глюкокортикоидной функции коры надпочечников, а следовательно, и о повышении адаптационных возможностей организма.

Таким образом, у больных гипертонической болезнью IIБ—IIAB стадий наблюдается изменение функционального состояния симпато-адреналовой системы, преимущественно за счет повышения гормонального и снижения активности симпатического звена при наличии резервов биологических предшественников катехоламинов—дофамина, дофе.

Калий-электрофорез, применяемый на фоне гипохлоридной диеты, оказывал благоприятное (нормализующее) влияние на экскрецию адреналина, дофамина, дофе, снижает активность медиаторного звена—с уменьшением экскреции норадреналина. Последний, как известно, осуществляет вазомоторный компонент сосудистого тонуса. Фиксировалась тенденция к нормализации или повышению (в IIБ) глюкокортикоидов надпочечников—по 17 ОКС, которые влияют на многенный тонус артерий путем изменения электролитного обмена в стенах сосудов.

Изменения в нейро-эндокринных звеньях регуляции коррелировались с положительной динамикой в клинико-физиологических показателях, с улучшением в клиническом состоянии больных как по субъективным (исчезали многие жалобы), так и по объективным данным—снижалось до нормы, статистически достоверно, артериальное давление в IIБ, IIА и значительно снижалось в IIБ стадии.

Сероводородные ванны повышали активность гормонального и медиаторного звеньев симпато-адреналовой системы с увеличением экскреции адреналина и норадреналина в IIА стадии по сравнению с данными калий-электрофореза. Снижалась активность медиаторного звена в IIБ, с уменьшением экскреции норадреналина.

Активировалась глюкокортикоидная функция коры надпочечников по 17 ОКС. В клиническом состоянии после ванн у большинства больных нарастал терапевтический эффект, но седативное и гипотензивное действие были менее выражены по сравнению с калий-электрофорезом. Артериальное давление снижалось во всех стадиях и было нормальным в IIБ, IIА ($p < 0,05$).

В целом лечебный комплекс в результате многостороннего, иногда разностороннего воздействия на различные звенья патогенеза гипертонической болезни оказывал выраженный терапевтический эффект: у 83% больных было "значительное улучшение", у 17%—"улучшение" сопровождалось снижением активности медиаторного звена симпато-адреналовой системы в IIБ, IIА и нерезко повышением гормонального соответственно в тех же стадиях. Глюкокортикоиды надпочечников по 17 ОКС нормализовались в IIБ, IIА стадиях и повышались в IIБ.

Выходы

1. При начальных стадиях гипертонической болезни обнаружено повышение активности гормонального и снижение медиаторного звеньев симпато-адреналовой системы. Нерезко повышены глюкокортикоиды коры надпочечников (17 ОКС) в IIБ стадии.

2. Калий-электрофорез оказывал нормализующее влияние на экскрецию катехоламинов и их биологических предшественников—дофамина, дофе и глюкокортикоиды надпочечников (17 ОКС), особенно в IIБ, IIА стадиях.

3. Сероводородные ванны по сравнению с калий-электрофорезом активировали симпато-адреналовую и глюкокортикоидную функции коры надпочечников.

4. В целом лечебный комплекс снижал активность медиаторного звена симпато-адреналовой системы и 17 ОКС в IIБ, IIА и соответственно повышал гормональное в тех же стадиях.

ЛИТЕРАТУРА

1. Зелинская Н. Т. Некоторые показатели электролитного обмена у больных гипертонической болезнью. В кн. "Гипертония". Атеросклероз, коронарная недостаточность. Киев, "Здоровье", 1966, 62—65.
2. Кассиль Г. Н. Гуморально-гормональные механизмы вегетативного равновесия при действии на организм физических и химических факторов. В сб.: "Адаптация организма при физических воздействиях". Вильнюс, 1969, 14—24.
3. Малая Л. Т., Визир А. Д., Васильев Ю. М. Об обмене некоторых биологически активных веществ при гипертонической болезни, осложненной коронарной недостаточностью. Тез. докл. I Всесоюзного съезда кардиологов. М., "Медицина", 1966, 16—18.
4. Матлина Э. Ш., Меньшиков В. В. Клиническая биохимия катехоламинов. "Медицина", М., 1967, 201—224.
5. Матлина Э. Ш. Методы оценки деятельности симпато-адреналовой системы. В сб.: "Адаптация организма при физических воздействиях". Вильнюс, 1969, 47—56.
6. Мясников А. Л. В кн. "Гипертоническая болезнь и атеросклероз". М., 1954.
7. Мясников А. Л., Меньшиков В. В., Киселева З. М., Большакова Т. Д., Бассалык Л. С. Влияние гипотензивной терапии на экскрецию катехоламинов, серотина и их метаболитов у больных гипертонической болезнью. "Кардиология", 1966, 6, 3, 10. 8. Дробосов А. Н., Фрейкель И. Д. Влияние лечебных физических факторов на гуморальные механизмы адаптации. В сб.: "Адаптация организма при физических воздействиях". Вильнюс, 1969, 2—14.
9. Париц В. В., Мирсон Ф. З. Очерки клинической физиологии кровообращения. Медгиз, 1960, 187—203.
10. Раб В. Нервные и гормональные расстройства регуляции кровяного давления. Ж. "Терапевт. архив", 1959, 4, 24, 27.
11. Нервно-гормональные факторы в патологии сердца и кровеносных сосудов. Ж. "Терапевт. архив", 1956, 4, 28—34.
12. Фатула М. И. Электролитный обмен и частота артериальной гипертонии среди лиц, употребляющих воду с повышенным содержанием хлористого натрия. Тез. докл. I Всесоюзного съезда кардиологов. "Медицина", 1966, 99—100.

Центр. Ин-т курортологии и физиотерапии.

Поступило 30. XII 1970

ИСКУССТВО

Т. М. ГУСЕЙНОВА

О МУЗЫКАЛЬНОЙ ДРАМАТИЧЕСКОЙ ФОРМЕ СИМФОНИЧЕСКОЙ ПОЭМЫ „ЗА МИР“ ДЖЕВДЕТА ГАДЖИЕВА

(Представлено академиком АН Азербайджанской ССР М. А. Усейновым)

Одночастная симфоническая поэма „За мир“ Д. Гаджиева, написанная им в 1951 г., явилась одним из интересных образцов не только азербайджанской программной симфонической музыки, но и всей советской музыки начала 50-х годов. „За мир“ — произведение глубокого идеально-эмоционального содержания. В этом сочинении Гаджиев обращается к одной из самых актуальных тем современной действительности — теме борьбы свободолюбивых народов мира с темными реакционными силами. Выбор такой важнейшей для нашего времени темы не случаен для Гаджиева — композитора, затрагивающего в своем творчестве проблемы общечеловеческого, чутко откликающегося на все важнейшие явления общественной жизни.

„За мир“ — героико-драматическая поэма, обладающая мастерски разработанным драматургическим планом.

В центре поэмы — образ борющихся народов против поджигателей войны, их мощное движение за мир на земле. Жизнь и борьба угнетенных народов, их пелегкий путь к освобождению раскрываются в поэме в конфликтно-драматическом пепикте, столкновениями противоборствующих сил. Отсюда изысканный тон высказывания, напряженная экспрессия, глубокий драматизм действия, накал эмоций, присущие музыке поэмы. Труден, тернист путь народов к свободе, но велика их тяга к миру, освобождению, и потому так впечатляющее вдохновлено композитором и заключений поэмы картина торжественного ликующего шествия народов, обретших свою свободу, — апофеоз жизнеутверждения, торжество могучих народных масс.

Программный замысел (общечеловеческого плана), лежащий в основе этого сочинения, в большой степени обусловил конкретность и определенность его музыкальных образов. Художественные образы поэмы глубоко жизненны. Здесь наряду с образами действенными, активными, передко конфликтными, достигающими огромной драматической силы, мы находим и язвовые сцены народного привидения, и скорбные тревожные настроения, и образы, символизирующие мужество и геройство народов.

Идейное содержание поэмы определило некоторые особенности ее музыкальной драматургии, своеобразие формы, выразительных средств.

В поэме „За мир“ Д. Гаджиева окончательно складывается тип драматического симфонизма. Это выразилось прежде всего в драматической направленности развертывания образов поэмы, раскрытии напряженных драматических коллизий — столкновения контрастных образно-эмоциональных сфер. И естественно, что здесь мы обнаруживаем такие характерные принципы драматического симфонизма, как ярчайшие образно-тематические контрасты, интенсивное развитие с его непрерывностью и рельефностью драматических изменений образов, интенсивное, волнообразное развитие тем и т. д.

Сонатная форма, в которую „облекается“ музыка поэмы, отличается значительным композиционным своеобразием. Композитор подчас отходит от традиционных схем сонатной формы, что продиктовано программным замыслом произведения. Сонатная форма здесь направлена на раскрытие конфликтного содержания: конфликтное начало „зарождается“ уже в пределах развернутой действенной экспозиции через резкие образные контрасти (тревожное вступление с его внутренней контрастностью, народно-жанровая, оптимистическая по духу — главная партия и драматизированная экспрессивная побочная) и дается как бы стимул к дальнейшему развитию, активизации всего симфонического процесса.

Стремясь к многогранному развернутому показу трех ведущих образно-эмоциональных сфер, Гаджиев облекает их в масштабные динамические формы. Так, главная и побочная партии образуют весь развернутую трехчастную форму с динамической рецензией, пропицанную непрерывным „сквозным“ симфоническим развитием. Особенное рельефно последняя проступает в побочной партии поэмы — важнейшим „участке“ драматургически-смысловой линии произведения. Гаджиев еще в рамках экспозиционного изложения усиливает тематическое развитие побочной партии, строя ее на непрерывном драматическом нагнетании напряжения, выявляя в ней таким образом конфликтное начало. Иными словами, ее развитие глубоко симфонично уже в рамках экспозиции*.

В разработке — драматическом центре поэмы Гаджиев еще острее подчеркивает контрастное сопоставление образов. Темы экспозиции выступают здесь в совершенно новых образных функциях. Светлая жанрово-танцевальная главная партия преобразуется в гневный драматический образ, а скорбно-напряженная побочная окрашивается в лирические, мечтательные тона. Более того, драматическая конфликтность, намеченная в экспозиции поэмы, обостряется и усиливается здесь путем столкновения поляризированных, противоборствующих сил (главная партия и тема враждебных сил) с последующим разрешением конфликта — утверждением мужественно-героического оптимистического начала в центральной кульминации и конце разработки.

Драматическая линия сжатой, очень компактной разработки, где Гаджиев последовательно и логично развивает и выводит ведущую идею произведения (в центральной кульминации в конце разработки) — непобедимую силу народных масс, мужественно преодолевающих жизненные испытания, подсказав композитору своеобразное решение рецензи на сонатного аллегро. Лаконичная рецензи приобретает

* Эта тенденция по-своему и по-разному характерна для драматически-конфликтной сонатной формы у Бетховена, Шумана, Чайковского; она же в новом творческом осмыслении проникла и в симфонии Шостаковича.

значение большого разросшегося эпилога — картины радостного торжества народов, обобщающего оптимистическую, жизнеутверждающую идею произведения. Стремясь создать единое динамичное полотно — картину радостного народного шествия, Гаджиев отказывается от последовательного изложения тематизма экспозиции: ярко и выпукло выступает многократно повторенная тема главной партии, рождающая впечатление энергичного движения большой людской массы (на теме главной партии и строится упомянутый заключительный раздел сонатного аллегро). Побочная партия не образует самостоятельного раздела: в новом образном ракурсе она вводится в качестве контрапункта к главной теме, образуя таким образом целостный обобщенный образ победившей, торжествующей массы. Благодаря тонким интонационным связям становится возможным сочетать в едином развитии разнохарактерные образы поэмы, добиться органического единства всего произведения.

В поэме „За мир“ проявляются определенные влияния русского классического симфонизма (Чайковского) и особенно лучших традиций советской симфонической музыки — Мясковского и, прежде всего, симфонических принципов Шостаковича. С последним его сближает динамика, экспрессивность музыкальных образов, „резкость контрастов и противопоставлений“, а также некоторые принципы симфонического развития.

В превосходной оркестровке поэмы, где Гаджиев использовал самые различные типы динамического темброво-инструментального письма, также можно усмотреть влияние оркестрового мышления Шостаковича, в частности его принципа тембровой характеристики образов, „тембровой драматургии“, в которой на первый план выступает, по верному замечанию Данилевича, „эмоционально-психологическое значение тембра, который связан с человеческими чувствами и переживаниями“¹.

В поэме, написанной для тройного состава оркестра, где вновь ярко выступает основной принцип оркестровки Гаджиева — наложение (смешение) тембров разных оркестровых групп, можно обнаружить немало примеров использования чистых тембров (и солирований отдельных оркестровых групп), выразительные свойства которых способствуют наиболее полному раскрытию эмоционального содержания образов.

Так, характерный сгущенный тембр солирующего английского рожка в начальном разделе побочной партии выразительно оттеняет скорбно-печальный образ темы. В таком же плане выступает и „сумрачное“ соло фагота, предваряющее побочную партию.

Гаджиев придает значение не только тембрам, но и регистрам. Один и тот же тембр определенной инструментальной группы с широким регистровым диапазоном может служить у Гаджиева различным художественным целям.

Многообразные динамические средства оркестрового письма, к которым прибегает Гаджиев, служат раскрытию драматургического замысла произведения.

Оркестровка поэмы находится в тесной связи с общей драматургией формы и так же, как это часто наблюдается в оркестровом мышлении Шостаковича, оркестровка „тесно связана с функцией формы, тем самым сама становится функциональной“².

¹ Л. Данилевич. „Наш современник“. М., 1965, стр. 75.

² Э. Денисов. Об оркестровке Шостаковича. См. сб. ст. „Д. Шостакович“. М., Советский композитор, 1967, стр. 442.

В оркестровке поэмы можно проследить указанную тенденцию — органическое взаимодействие драматургических качеств оркестра с разделами сонатного аллегро.

Три контрастные образно-эмоциональные сферы (вступление, главная, побочная партии) своеобразно воплощаются в экспозиции, и эти контрасты (трех образов) выражены темброво-оркестровыми средствами. Логическое взаимодействие оркестровых средств с разделами сонатной формы можно наблюдать и в последующем развертывании последней: в разработке и репризе поэмы.

Как уже указывалось выше, в поэме мы сталкиваемся с основным, характерным для Гаджиева принципом его оркестрового мышления — наложением тембров различных оркестровых групп, мастерски распределяя при этом тембровую светотень.

Широко применяет Гаджиев одно из действенных средств оркестровой динамики — интонационно-активное сопоставление тембров различных групп (например, в главной партии тембры струнных скрипки, виолончели сопоставляются с тембрами духовых в среднем разделе; особенно динамичен этот прием в побочной партии: скорбное соло фагота, затем английского рожка сопоставляется в среднем разделе с экспрессивными тембрами первых скрипок и виолончелей в высоком регистре). Чрезвычайно динамизирующими является указанный прием — сопоставление оркестровых групп (струнных и деревянных) в репризе поэмы — картине праздничного торжественного шествия. Здесь в использовании оркестра проявились программно-сценические элементы; композитор очень искусно, почти зряко, воплотил окестровыми средствами картину непрерывного притока большой людской массы.

* * *

В музыке поэмы выразилось оптимистическое кредо композитора. Поэма проникнута духом борьбы, неиссякаемой верой в торжество гуманистических идеалов. В ней „ярко, с большим подъемом отразились живые страницы нашей современности — пафос всенародной борьбы за мир“³. И не случайно очень скоро эта поэма завоевала широкую популярность среди многочисленной слушательской аудитории. Музикальная общественность и критика высоко оценили это произведение, отмечая „рельефность, национальную красочность тематического материала, хороший уровень профессионализма“⁴, „несторопимую талантливость Гаджиева“⁵.

„Произведение это ярко национально, хорошо оркестровано, темпераментно“, — писал М. Чулаки о поэме Гаджиева.

Благодаря значительности своей идейной концепции, целеустремленному развитию музыкальной драматургии, искренности чувств, а также яркости музыкального тематизма и национального колорита, высокому мастерству, поэма Гаджиева стала одним из лучших произведений советской симфонической музыки нашего времени. В 1951 г. Джевдету Гаджиеву за поэму „За мир“ была присуждена Государственная премия.

Ин-т архитектуры и искусства

Поступило 1.VII 1970

³ М. Игнатьева. Вечер азербайджанской музыки. „Советская музыка“, № 4, 1952, стр. 88.

⁴ Е. Грошева и Е. Макаров. В республиках Закавказья. „Советская музыка“, № 1, 1952, стр. 20.

⁵ М. Чулаки. Советская музыка в 1951 году. „Советская музыка“, № 1, 1952, стр. 19.

ХУЛАСЭ

Ч. Һачыјевин 1951-чи илдә јаздығы бирниссәли „Сүлһ уғрунда“ симфоник поемасы յалиыз Азәрбајҹан програм симфоник музигисинин дејил, 50-чи илләрдә Ѝараниш бүтүн Совет музиги сәнәтинин марагалы нұмуниләриндән несаб олуңур. Бу әсәрдә Ч. Һачыјев мұасир дөврүн ән мүһум мәвзуларындан биринә—сүлһесеर ҳалгларын мұртәче гүввәјә гарши апардығы мұбаризәсінин тәрәннүмү проблеминә мұра-
қиәт едир.

„Сүлһ уғрунда“ поемасы драматик планда йүксек сәнәткарлыгla ишләнмиш гәһрәманлыг-драматик поемадыр. Поеманың идея мәзмуну онун музиги драматуркијасыны, шәхси хүсусијәтләрини, поетик ифа-
дә васитәләrinни мүәјжәнләшdirir. Поеманың сонат формасы гуру-
луш е'тибарила бир сыра өзүнәмәхсүс чәһәтләрә малиkdir. Бу фор-
маның сәчиijәви хүсусијәти онун мәзмундакы конфликті ачмасы
ишинде өзүнү көстәрир.

Конфликтин башланғычы кениш верилмиш экспозицијаның өз да-
хилиндә кәскин образлар тәзад жолу илә ѿраныр. „Сүлһ уғрунда“
поемасында рус классик симфонизминин (Чайковски), хүсусен Совет
симфоник музигисинин ән җаҳшы әнәнәләринин—Мјасковски вә илк
иевбәдә Шостаковичин симфоник принципләринин тә'сири көрүнүр.

Ч. Һачыјевин рәнкарәнк, динамик тембр-инструментал җазыдан мә-
нарәтлә истифадә етдији көзәл оркестровкада Шостаковичин орке-
стровка тәфәккүрү, хүсусилә онун образлара вердији тембр сәчиijә-
сии мүәјжәнләшdirmәк олар.

Ч. Һачыјевин тез-тез истифадә етдији зәнкүн вә мұхтәлиф дина-
мик васитәләр әсәрин драматик фикриниң ачылmasы ишине көмәк
едир.

УДК 575

АРХЕОЛОГИЈА

А. Ш. ОРУЧОВ

ХЫНЫСЛЫДАН ТАПЫЛМЫШ АНТРОПОМОРФ КИЛ ФИГУР
ҺАГГЫНДА

(Азәрбајҹан ССР ЕА академики Ә. Ә. Элизадә тәгдим етмишdir)

Археологи газынтылар заманы ашқар олуимуш мадди-мәдәнијәт галыгларының бөјүк әксәриjјетини кил материаллар тәшкил едир. Мәишәтин бүтүн саһәләринде кениш истифадә едилмиш кил мә'мулаты һазырландығы дөврүн башга мәсәләләри илә җанаши, инчәсәнәт саһәләрини вә ҳалгын мә'нәви мәдәнијәтини өјрәнмәк ишинде дә бөјүк әһәмијәт кәсб едир. Бу ҹәһәтдән 1965-чи илдә Хыныслыда (Шамахы җаһынлығында) апарылан газынтылар заманы даш гуту гәбиrlәrinin бириндән тапылан антропоморф фигур өзүнүн һазырланма техникасы, формасы вә ишләнмәсінә көрә диггәти чәлб едир.

Фигур ашқар едилән даш гуту гәбирии үстү 3 әдәд ири сал дашла өртүлмүшду. Бунлардан бири иисбәтән кичик иди. Гәбирии җан диварлары јонулмамыш мұхтәлиф өлчүлү сал дашлардан тикилмиши. Онун истигамәти гәрбдән-шәргә олуб, узуңлуғу 2 м, ени ашағыдан 1,7 м, јухарыдан 1 м, дәринлиji исә 1 м-дир. Гәбирии диварлары јухарыдан бир гәдәр ичәриjә меjлиlidir. Ичәрисинә долмуш торпаг тәмиزلәнәркән 90 см дәринликдән дидән аз бүкүлү, сол бөјүрү үстәузадылмыш ушаг скелети ашқар едилди¹. Скелетин боғазында бир әдәд бору формалы мүнчуг вә гулағында сырға вар иди. Онун гарышындан 4 әдәд мұхтәлиф һәчмли кил, 2 әдәд шүшә габ вә кичик кил ушаг фигуру да тапылмышдыр. Бундан әlavә, скелетин аяг тәрәфинде чохлу мигдарда һеjван сүмүкләри варды.

Хыныслы яшајыш јеринде ашқар едилмиш даш гуту гәбиrlәri IV әсрин ахырларындан VII әсрин ахырларына гәдәр олан дөврә инд едилди². Дикәр тәрәфдән, јухарыда геjд етдијимиз даш гуту гәбиrlәrin тапылан кил мә'мулаты Минкәчевирин илк орта әср абындәләриндән³

¹ Ч. Ә. Ҳәлилов. Хыныслыда 1968-чи илдә апарылмыш археологи тәдгигат ишләринин несабаты.

² Ч. Ә. Ҳәлилов. Хыныслыда археологи газынтылары илк иәтичәләри һагында, АММ, VI чилд, Бакы, 1965, сәh. 86.

³ Р. М. Ванидов. Минкәчевир III—VIII әсрләрдә. Бакы, 1961, сәh. 36—42; Г. М. Асланов. Материалная культура Мингечеура (Автореферат кандидатской диссертации), Бакы, 1963.

вә Шәркә⁴ күп гәбирләриндән әлдә едилмеш дулус мә'мулатына чох охшардыр. Бу охшарлығы нәзәрә алараг һәмин фигур да IV—VI әсрләрә анд едилир.

Бу гәбрин аваданлығына дахил олан кил фигур гырмызы рәнкәдәр вә гарышыг тәркибли килдән әлдә һазырланмышдыр. Онун үстү үз тәрәфдән көвдәсінә кими յапма үсулу илә вурулмуш нахышларла бәзәдилмишdir (табло, 1—2-чи шәкилләр). Арха тәрәфиндә неч бир нахыш јохтур (табло, 3-чү шәкил). Онун һүндүрлүjү 9, отурачағынын диаметри исә 4 см-дир. Јасты отурачаглы фигурун јарымдаирәви гулпу онун башыны көвдә илә бирләшдирир (табло, 3-чү шәкил). Фигурун баш һиссәсінә һазырда јерли әнали арасында габаглыг адланан бәзәjәохшар յапма золаг вә дәнрәви кил дүjмәчикләр җапышдырылышдыр (табло, 1-чи шәкил). Онун бурун һиссәси геjри-нормалдыр. Бир нөв гуш димдијини хатырладыр (табло, 1, 2-чи шәкилләр).

Үмумијjэтлә, инсан вә nejvan фигурлу ојунчагларын һамысынын үстүндәки нахышлар յапма үсулу илә вурулмушдур. Бурун һиссәсінин белә узун тәсвир едилмәси, гәдим дөврләрә анд абидәләрдән тапылмыш бә'зи гадын фигурларына да хасдыр⁵. Гулаг јериндә узун сырғаны хатырладаи кил золаг вә дәнрәви дүjмәчик вардыр (табло, 2-чи шәкил). Онни көзләри дә յапма үсулу илә вурулмуш ири дүjмәчикләрдән ибәрәтдир (табло, 1—2-чи шәкилләр).

Фигурун дәш һиссәсінә ики маһмызвары յапма чыхынты, бөгәзына үзәриндә кичик дәнрәви дүjмәчикләр олан бојунбағы җапышдырылышдыр (табло, 1—2-чи шәкилләр). Бојунбағыда ипә кечирилмиш мунчуглар, онларын ортасында исә дәш тәрәфдән ири бир гиjмәтли бәзәк тәсвир едилмишdir. Фигур, үмумијjэтлә бардаг формасында олуб, ичәриси боштур (табло, 1—3-чү шәкилләр).

Бизи марагландыран чәhәт бу фигурун нә мәгсәдлә һазырланмасыдь.

Геjд етмәк лазымдыр ки, фигур һазырланма үсулу чәhәтдән о гәдәр кобуддур ки, онун уста тәрәфиндән һазырланмадығы илк баҳышда айдын олур. Бу фигүр дулус сәнәтинә нашы, бәлкә дә ушаг тәрәфиндән һазырланмышдыр. Јери кәлмишкән көстәрмәлијик ки, Хыныслы илә һәмдөвр мәдәни тәбәгәләрә малик олан Минкәчевир газынтыларында тәсвир етдијимиз фигур һәчминдә антропоморф вә зооморф формада, билаваситә ушагларын өзләри тәрәфиндән һазырланмыш чохлу кил ојунчаглар ашқар едилмишdir. Р. М. Ванидов онлары ушагларын јашына вә чинсинә көра груплыштырылышдыр⁶.

Ушаг ојунчаглары үзәриндә хүсуси тәдгигат ишинни мүәллифи А. Г. Оршански исә бәшәр чәмијjэтинин бүтүн дөврләриндә бу ојунчагларын мөвчуд олдуғуну кениш фактлар әсасында сүбүт етмишdir⁷.

Тәсвир етдијимиз Хыныслы фигуруна бу чәhәтдән јанашдыгда онун да ојунчаг кими һазырландығыны еңтимал етмәк олар.

Мараглыдыр ки, һазырланмыш ојунчаг јашлы гадын тәсвириндә верилмишdir. Бу исә һәмин дөврдә јашлы гадынларын бәзәк әшjа-ларынын, онларын бојунбағысынын, сырғасынын вә габаглығынын формасы һагында мүәjән тәсәввүр јаратмаға әжани-көмәк едир.

Тарих институту

Алымышдыр 23.I 1970

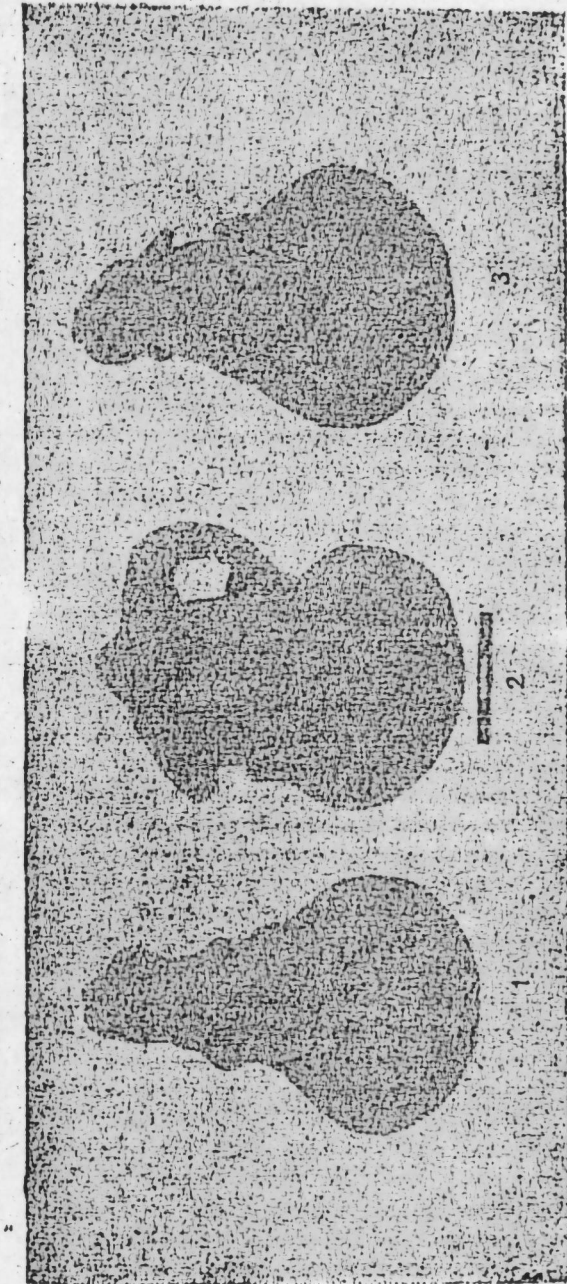
⁴ А. Б. Нуриев. Шәркә вә Шәhәркә адлы Албан дөврү абидәләринин эла-гәси һагында.

⁵ В. И. Сарнаниди. Тайны исчезнувшего искусства Каракумов. М., 1967, сәh. 35, 95.

⁶ Р. М. Ванидов. Минкәчевир III—VIII әсрләрдә. Бакы, 1961, сәh. 49—53.

⁷ А. Г. Оршанский. Художественная и культурная промышленность СССР. Л., 1927, сәh. 34.

Табло.



А. Ш. Оруджев

Об антропоморфной глиняной фигуре, найденной в Хыныслы

РЕЗЮМЕ

В 1965 г. при археологических раскопках в Хыныслы в одном детском погребении в каменном ящике была найдена глиняная фигура в виде женщины. Хыныслынские погребения этого типа датируются IV—VI вв. н. э.

Фигура орнаментирована лепными украшениями. Она имеет красный цвет. Можно предполагать, что фигура изготовлена ребенком и употреблялась в качестве игрушки.

МҮНДӘРИЧАТ

Ријазијјат

Р. А. Шәфијев, Д. Н. Кәримова. Бир синиф итераспя үсулларының кәсилмәз аналогу һағында 3

бесаблама ријазијјат

В. Р. Ибраһимов. Бир әдәби үсүлүн јүксәк тәртибли диференциал тәнликләриң һәллиниң тәтбиги 9

Техника

В. П. Дјаконов, Ч. Н. Элназадә. Ярымкечиричи чиңазларың р-р кечидинде јүкдашычыларының ахыншәкилли артмасы заманиң чәрәјаның локализә едилемәси 13

Физики кимја

М. И. Агајев, Ш. М. Эләкбәров, М. И. Зәркәрова. Cu₂SAg₂S, Cu₂Se—AgSe₂ системләринин физики-кимјеви тәдгиги 20

Үзви кимја

Э. М. Гулијев, С. Б. Билалов, З. Е. Элијев, С. М. Агајева. Глидсендолуң *n*-метоксифенилефиридинин меркаптанлары тә'сири 24

Аналитик кимја

И. Г. Ыусејиев, И. Л. Бағбанлы, С. И. Бағбанлы, Н. Х. Рустемов. Теллурүн екстраксијалы фотометрик тә'јинидә јапус јашылының тәтбиги 29

Гејри-үзви маддәләрин технолокијасы

Р. Һ. Исмајилов, Ж. И. Рустемов, Р. А. Султанов, К. П. Рајгородески, В. И. Сыпкина. Һава васитәсилә флору гөммагла дәнәвәр су-перфосфаты кондицијәјә көтирмәк 34

Үзви кимја

С. Ч. Мендијев, Т. М. Гурбанов, Е. Т. Сүлејманова, М. Р. Мусајев. -Оксипропиофенонун асетофеинонун формалдеїндә конденсләшмәснидән алымасы 38

Кеолокија

П. С. Гаврилук, Э. Д. Кәримов, Э. А. Мәриби. Башгышлаг джатағы баритинин кимјеви хүсусијәтләре (Кичик Гафгаз) 41

Нефт қеолокијасы

Р. А. Махмудов. Кәнзәдағ-Хәрәзиәрә антиклиналь зона боју мәңсулдар татыны VII горизонтуңда («Фасилә» лај дәстәси) нефт вә газының ятма шәрәити вә пајланмасы (Бакы архипелагы) 48

Стратиграфија

М. М. Зејналов, Р. А. Гамбашидзе, Э. М. Гурбанов. Вәндам гырышыглы зонасының шәрги һиссесинде (Диаллы кәнді өтрафыца) кампан-дат чекунтуләринин литофасијал хүсусијәти вә стратиграфијасы 53

Микробиология	
А. А. Рәчәбова. Трихотесенин нематод фәллалығы вә оның стандарт шәк-линдә истифадә олуымасы үсүлү һәм модификация	58
Неминтологија	
Г. Э. Гасымова, Р. Э. Әлиев. Азәрбајҹанын Шәки-Загатала зона-сыны бечәрилән Арахисин (<i>Arachis hypogaea</i>) нематодлары	61
С. Һ. Мусајев, Џ. М. Исајев. <i>Arena bruhnsiana</i> С гип — брунс ва-ләмири Азәрбајҹан флорасы ендемидир	64
Селексија	
Академик И. Мустафајев, Э. Г. Мәмәдов. Чинсарасы һибрнәләрни селексијада әһәмияттә	66
Тибб	
Л. И. Абасгулијева, Т. А. Ханумова. Аналкезииң кејләшдирилмәс-синин мезатон јеридилмәсі иәтичәсендә скг көстәрчиңләрнән эмәлә кәлән дәји-шикликләрә тәсир	70
М. Н. Жилсова. Һипертонија хәстәләниң илк мәрһәләсендә бә’зи пе-роуморал көстәрчиңләр вә күкүрд һидрокен ваниналарының мүнәззәм олараг тәт-бығы иәтичәсендә онларың дәјишилмәсі	74
Инчәсәнат	
Т. М. Һүсәјнова. Чөвдәт Һачыјевниң «Сүлгү угрунда» симфоник поема-сының мусиги драматургијасы вә оркестр дили һаггында	78
Археология	
А. Ш. Оручов. Хыныслыдан тапылмыш антропоморф кил фигур һаггында	83

СОДЕРЖАНИЕ	
Математика	
Р. А. Шағиев, Д. Н. Керимова. О непрерывном аналоге одного класса итерационных методов	3
Вычислительная математика	
В. Р. Ибрагимов. Применение одного численного метода к решению дифференциальных уравнений высших порядков	9
Техника	
В. П. Дьяконов, Д. Г. Али-заде. Локализация тока при лавинном умножении носителей в р-п-переходах полупроводниковых приборов	13
Физическая химия	
М. И. Агаев, Ш. М. Алекперова, М. И. Заргарова. Физико-хими-ческое исследование систем. $Ag_2X-Cu_2X[X=S, Se]$	20
Органическая химия	
Академик А. М. Кулев, С. Б. Билалов, З. Э. Алиев, С. М. Агаев. Взаимодействие <i>l</i> -метоксифенилового эфира глицидола с меркаптанами	24
Аналитическая химия	
И. К. Гусейнов, И. Л. Багбанлы, С. И. Багбанлы, Н. Х. Рустамов. Янус зеленый как реагент для экстракционно-фотометрического опре-деления теллура	29
Технология неорганических веществ	
Академик Р. Г. Исмайлов, Я. И. Рустамов, Р. А. Султанов, К. П. Райгородецкий, В. И. Цыпкина. Кондиционирование гранулированного суперфосфата путем отдувки фтора воздухом	34
Органическая химия	
Академик С. Д. Мехтиев, Т. М. Курбанова, Э. Т. Сулейманова, М. Р. Мусаев. Получение β -оксипропиофенона конденсацией ацетофенона с формальдегидом	38
Геология	
П. С. Гаврилюк, А. Д. Керимов, А. А. Магриб. Особенности хи-мизма барита Башкишлагского месторождения (Малый Кавказ)	41
Нефтяная геология	
Р. А. Махмудов. Условия залегания нефти и газа в горизонте VII (св. «перерыва») продуктивной толщи антиклинальной линии Кяинзадаг — о. Булла (Бакинский архипелаг)	48
Стратиграфия	
М. М. Зейналов, Р. А. Гамбашидзе, А. М. Гурбанов. О литофа-циальных особенностях и стратиграфии кампан-датских отложений восточной час-ти Вандамской складчатой зоны (р-и с. Диаллы)	53

Микробиология

А. А. Раджабова. Нематоцидная активность трихотецина и модификация метода испытания этой активности с использованием его в качестве стандарта. 58

Гельминтология

Г. А. Касимова, Р. А. Алиев. Нематоды земляного ореха — арахиса (*Arachis hypogaea*) Шекинско-Закатальской зоны Азербайджана. 61

Ботаника

С. Г. Мусаев, Я. М. Исаев. *Avena bruhnsiana* Grup. (овес брунса) — эндемичный вид флоры Азербайджана. 64

Селекция

Академик И. Д. Мустафаев, А. К. Мамедов. Значение межродовых гибридов в селекции. 66

Медицина

Л. И. Абаскулиева, Т. А. Ханумова. Влияние анальгезинового обезболивания на изменения в показателях ЭКГ, вызванных введением мезатона. 70

М. Н. Жильцова. Некоторые нейро-гуморальные показатели при ранних стадиях гипертонической болезни и изменение их под влиянием калий-электрофореза с последовательным применением сероводородных ванн. 74

Искусство

Т. М. Гусейнова. О музыкальной драматургии и оркестровом языке спонсорнической поэмы «За мир» Джевдета Гаджиева. 78

Археология

А. Ш. Оруджев. Об антропоморфной глиняной фигуре, найденной в Хыныслы. 83

Сдано в набор 21/V 1971 г. Подписано к печати 25/X 1971 г. Формат бумаги 70×108¹/₁₆. Бум. лист. 3,06. Печ. лист. 8,39. Уч.-изд. лист. 6,35. ФГ 11929. Заказ 357. Тираж 780. Цена 40 коп.

Типография им. Рухуллы Ахундова Государственного Комитета совета Министров Азербайджанской ССР по печати. Баку, Рабочий проспект, 96.

ПРАВИЛА ДЛЯ АВТОРОВ

1. В «Докладах Академии наук Азербайджанской ССР» помещаются краткие сообщения, содержащие законченные, еще не опубликованные результаты научных исследований, имеющих теоретическое или практическое значение.

В «Докладах» не публикуются крупные статьи, механически разделенные на ряд отдельных сообщений, статьи полемического характера без новых фактических данных, работы непринципиальные, описательного или обзорного характера, чисто методические статьи, если предлагаемый метод не является принципиально новым, а также статьи по систематике растений и животных (за исключением описания особо интересных для науки находок).

Статьи, помещаемые в «Докладах», не лишают автора права последующей публикации того же сообщения в развернутом виде в других изданиях.

2. Поступающие в «Доклады» статьи рассматриваются Редакционной коллегией только после представления их академиком по специальности. Каждый академик может представить не более 5-ти статей в год.

Статьи членов-корреспондентов Академии наук Азербайджанской ССР принимаются без представления.

Редакция просит академиков при представлении статьи указывать дату получения ее от автора, а также наименование раздела, в котором статья должна быть помещена.

3. В «Докладах» публикуется не более трех статей одного автора в год.

4. В «Докладах» помещаются статьи, занимающие не более четверти авторского листа — около 6—7 страниц машинописи (10 000 печатных знаков), включая рисунки.

5. Все статьи должны иметь резюме на английском языке; кроме того, к статьям, написанным на азербайджанском языке, должны иметь: резюме на русском языке и наоборот.

6. В конце статьи должны быть указаны название научного учреждения, в котором выполнена работа, и номер телефона автора.

7. Опубликование результатов работ, проведенных в научных учреждениях должно быть разрешено дирекцией научного учреждения.

8. Статьи (включая и резюме), должны быть напечатаны на машинке через два интервала, на одной стороне листа и представляются в двух экземплярах. Формулы должны быть вписаны четко и ясно, при этом прописные буквы должны быть подчеркнуты (черным карандашом) двумя черточками снизу, а строчные — сверху, буквы греческого алфавита надо обводить красным карандашом.

9. Цитируемая в статье литература должна приводиться не в виде подстрочных сносок, а общим списком (вподбор), в алфавитном порядке (по фамилии автора), в конце статьи с обозначением ссылки в тексте порядковой цифрой. Список литературы должен быть оформлен следующим образом:

а) для книг: фамилия и инициалы автора, полное название книги, номер тома, город, издательство и год издания;

б) для статей в сборниках (трудах): фамилия и инициалы автора, название статьи, название сборника (трудов), том, выпуск, место издания, издательство, год, страница;

в) для журнальных статей: фамилия и инициалы автора, название статьи, название журнала, год, том, номер (выпуск), страница.

Ссылки на неопубликованные работы не допускаются (за исключением отчетов и диссертаций, хранящихся в научных учреждениях).

10. На обороте рисунков должны быть указаны фамилия автора, название статьи и номер рисунка. Отпечатанные на машинке подписи к рисункам представляются на отдельном листе.

11. Авторы статей должны указывать индекс статьи по Унифицированной десятичной классификации (УДК) и прилагать реферат для «Реферативного журнала».

12. Авторы должны избегать повторения одних и тех же данных в таблицах, графиках и в тексте статьи.

Ввиду небольшого объема статей выводы помещаются лишь в необходимых случаях.

13. В случае представления двух или более статей одновременно необходимо указывать желательный порядок их помещения.

14. Корректура статей авторам как правило не посыпается. В случае посылки корректуры допускается лишь исправление ошибок типографии.

15. Редакция выдает автору бесплатно 15 отдельных оттисков статьи.

